Masterarbeit

Theoretische und experimentelle Untersuchungen zu Normalbasen für Erweiterungen endlicher Körper

vorgelegt von

Stefan Hackenberg

am

Institut für Mathematik der Universität Augsburg

betreut durch
Prof. Dr. Dirk Hachenberger

Stand

5. November 2014

Inhaltsverzeichnis

1	Gru	ndbegri		1
	1.1		enig Gruppentheorie	1
	1.2	Auton	norphismen über endlichen Körpern	3
2	Der	Zerfall	von x^n – 1 und die Kreisteilungspolynome $\Phi_D(x)$	5
3	Мос	duln		15
	3.1	Über 1	Moduln über Hauptidealbereichen	15
	3.2	Vektor	rräume als Moduln	20
4 Ex	Ехр	lizite K	onstruktion von Normalbasen	25
	4.1		llegende Ideen	25
	4.2	Stark	reguläre Erweiterungen	26
	4.3	Regula	äre Erweiterungen	30
	4.4	Norma	albasen mit Dickson-Polynomen	33
		4.4.1	Normale und vollständig normale Polynome mit Dickson-Polynomen	37
5	Voll	ständig	e Normalbasen	39
6	Enu	meratio	on primitiv vollständig normaler Elemente	44
	6.1		etische Enumerationen	46
	6.2		mentierung endlicher Körper und Körpererweiterungen	48
		6.2.1	Beschreibung von Elementen endlicher Körper	48
		6.2.2	Arithmetik in endlichen Körpern	50
		6.2.3	Matrizen und Polynome über endlichen Körpern	56
	6.3	Potenz	zieren und Primitivitätstest	58
		6.3.1	Potenzieren	58
		6.3.2	Primitivitätstest	61
	6.4	Frobe	nius-Auswertung und Test auf vollständige Erzeuger-Eigenschaft	64
		6.4.1	Frobenius-Auswertung	64
		6.4.2	Testen von vollständigen Erzeugern	66
	6.5	Imple	mentierung der gezielten Enumeration	69
		6.5.1	Enumeration eines verallgemeinerten Kreisteilungsmoduls	69
		6.5.2	Dynamische Enumeration des größten Kreisteilungsmoduls	72
		6.5.3	Top-Level-Implementierung in Sage	78
		6.5.4	Ein ausführliches Beispiel	87
Lis	torati	ILMOLZO	ichnis	05

IV	Inhaltsverzeichnis
I V	IIIIaitsveizeieiiiis

A Tabellen 97

Kapitel 1

Grundbegriffe

In diesem Kapitel wollen wir ein paar grundlegende Resultate wiederholen, die dem Leser sicherlich bekannt sind. Daher werden wir die meisten Aussagen ohne Beweis lediglich zitieren. Wir beginnen dabei bei der Gruppentheorie und zitieren einige Aussagen über zyklische Gruppen. Diese werden uns später helfen, die Untergruppe der (primitiven) Einheitswurzeln in Kapitel 2 zu verstehen. Im anschließend Abschnitt rekapitulieren wir ein wenig die Galoistheorie von endlichen Körpern. Insbesondere wollen wir wiederholen, dass diese zyklisch ist und von einem speziellen Automorphismus erzeugt wird.

1.1 | Ein wenig Gruppentheorie

[12, Theorem 1.15] fasst alle notwendigen Resultate zusammen.

Satz 1.1. -

- (1) Jede Untergruppe einer zyklischen Gruppe ist wieder zyklisch.
- (2) Sei $\langle a \rangle$ eine zyklische Gruppe der Ordnung m, so erzeugt a^k eine Untergruppe der Ordnung $\frac{m}{\operatorname{ggT}(m,k)}$.
- (3) Sei $\langle a \rangle$ eine zyklische Gruppe der Ordnung m und $d \mid m$, so enthält $\langle a \rangle$ genau eine Untergruppe der u Ordnung d.
- (4) Sei f ein positiver Teiler der Gruppenordnung einer endlichen zyklischen Gruppe $\langle a \rangle$. Dann enthält $\langle a \rangle$ genau $\varphi(f)$ Elemente der Ordnung f.
- (5) Eine zyklische Gruppe der Ordnung m enthält genau $\varphi(m)$ (φ bezeichne die Eulersche Phifunktion) Erzeuger. Ist a ein Erzeuger, so sind alle Erzeuger der Form a^r mit ggT(r,m) = 1.

Da wir später ein paar Eigenschaften der Eulerschen Phifunktion benötigen werden, wiederholen wir die wohlbekannte Definition der Eulerschen Phifunktion und geben wir dann die wichtigsten

Rechenregeln an.

Definition 1.2 (Eulersche Phifunktion). -

Die Funktion

$$\varphi: \mathbb{N}^* \to \mathbb{N}^*,$$

$$n \mapsto |\{a \in \mathbb{N}: 1 \le a \le n, \operatorname{ggT}(a, n) = 1\}|$$

heißt Eulersche φ -Funktion.

Definition 1.3 (quadratfreier Teil). —

Sei $n \in \mathbb{N}$ und $n = p_1^{r_1} \cdot \ldots \cdot p_l^{r_l}$ seine Primfaktorzerlegung. Dann heißt

$$\nu(n) := p_1 \cdot \ldots \cdot p_l$$

quadrat freier Teil von n.

Lemma 1.4 (Rechenregeln der Eulerschen Phifunktion). Sei $a, b \in \mathbb{N}^*$, so gilt

- (1) $\varphi(ab) = \varphi(a)\varphi(b)$, falls ggT(a,b) = 1,
- (2) $\varphi(a) = \sum_{d|a} \varphi(d)$ und
- (3) $\varphi(a) = \frac{a}{\nu(a)} \varphi(\nu(a)).$

Zyklische Gruppen und endliche Körper hängen eng zusammen, da bekanntlich die multiplikative Gruppe eines endlichen Körpers immer zyklisch ist. Dies können wir nutzen, um Erzeugern (im Sinne der Gruppentheorie) der multiplikativen eines endlichen Körpers einen Namen zu geben.

Satz 1.5. -

Die multiplikative Gruppe eines endlichen Körpers ist zyklisch.

Beweis. [12, Theorem 2.8].

Definition 1.6 (primitiv). –

Sei \mathbb{F}_q ein endlicher Körper. $u \in \mathbb{F}_q$ heißt primitiv (oder primitives Element), falls $\langle u \rangle = \mathbb{F}_q^*$, also u ein Erzeuger der multiplikativen Gruppe \mathbb{F}_q^* ist.

Bemerkung 1.7. Es ist klar, dass $u \in \mathbb{F}_q$ genau dann primitiv ist, wenn $\operatorname{ord}(u) = q - 1$, also seine gruppentheoretische Ordnung in \mathbb{F}_q^* genau der Gruppenordnung entspricht.

1.2 Automorphismen über endlichen Körpern

Satz 1.8. —

Seien F ein endlicher Körper der Charakteristik $p \neq 0$ und $n \in \mathbb{N}_{>0}$. Dann ist

$$\sigma_n: F \to F$$

$$a \mapsto a^{p^n}$$

ein Automorphismus auf F.

Beweis. [18, Corollary 3.18].

Bemerkung 1.9. Insbesondere gilt also für alle $a, b \in F$, F wie oben:

$$(a \pm b)^{p^n} = a^{p^n} \pm b^{p^n}.$$

Satz 1.10. —

Sei q eine Primpotenz und $n \in \mathbb{N}_{>0}$. Der Automorphismus

$$\sigma: \ \mathbb{F}_{q^n} \to \mathbb{F}_{q^n}$$

$$a \mapsto a^q$$

hält die Elemente von \mathbb{F}_q fest, also

$$\sigma|_{\mathbb{F}_q} = \mathrm{id}_{\mathbb{F}_q}$$
.

Ferner ist $\sigma^k \neq \mathrm{id}_{\mathbb{F}_{q^n}}$ für $k = 1, \ldots, n-1$, alle $\sigma^k s$ sind paarweise verschiedene Automorphismen und $\sigma^n = \mathrm{id}_{\mathbb{F}_{q^n}}$.

Bezeichne $Gal(E \mid F)$ die Galoisgruppe einer Galoiserweiterung E über F, so können wir das folgende zentrale Resultat zitieren:

Satz 1.11. -

Es gilt

$$Gal(\mathbb{F}_{q^n} \mid \mathbb{F}_q) = \langle \sigma \rangle.$$

Das bedeutet, dass es neben $\sigma, \ldots, \sigma^{n-1}$ keine weiteren Automorphismen von \mathbb{F}_{q^n} gibt, die \mathbb{F}_q fixieren.

Beweis. [18, Theorem 7.3].

Neben der Tatsache, dass der Frobenius alle Endomorphismen erzeugt, können wir auch zeigen, dass alle Potenzen des Frobenius von \mathbb{F}_q über \mathbb{F}_{q^n} linear unabhängig sind. Dies gilt sogar in einem

größeren Kontext:

Satz 1.12 (Dedekindsches Lemma). -

Seinen K, L zwei Körper, $n \in \mathbb{N}$ und $\tau_1, \ldots, \tau_n : K \to L$ injektive Körperhomorphismen. Dann ist für jedes $x \in K$

$$\{\tau_1(x),\ldots,\tau_n(x)\}$$

linear unabhängig über L.

Beweis. [9, Satz 27.2].

Mit Satz 1.11 wird klar, dass für ein irreduzibles Polynom $f(x) \in \mathbb{F}_q[x]$, das in \mathbb{F}_{q^n} eine Nullstelle α besitzt, auch $\sigma^i(\alpha)$ für alle $i = 1, \ldots, n-1$ Nullstellen sind. Ferner kann man sich relativ einfach überlegen, dass für ein irreduzibles Polynom $f(x) \in \mathbb{F}_q[x]$ eine Nullstelle in \mathbb{F}_{q^n} zu besitzen hinreichend ist, dass f(x) vom Grad n ist. Beides fasst nachstehender Satz zusammen.

Satz 1.13. -

Ist $f(x) \in \mathbb{F}_q[x]$ ein irreduzibles Polynom vom Grad n. Dann existiert eine Nullstelle α von f(x) in \mathbb{F}_{q^n} , alle Nullstellen von f(x) sind einfach und gegeben durch

$$\alpha, \alpha^{q^2}, \dots, \alpha^{q^{n-1}} \in \mathbb{F}_{q^n}$$
.

Beweis. [12, Theorem 2.14].

Kapitel 2

Der Zerfall von $x^n - 1$ und die Kreisteilungspolynome $\Phi_D(x)$

Sei K ein beliebiger Körper der Charakteristik p und \bar{K} ein fest gewählter algebraischer Abschluss. Wir wollen nun untersuchen, wie das Polynom $x^n - 1 \in K[x]$ über K zerfällt. Dazu orientieren wir uns an [12] und [18].

Definition 2.1 (Kreisteilungskörper, Einheitswurzeln). —

Sei $n \in \mathbb{N}^*$. Der Zerfällungskörper von $X^n - 1 \in K[X]$ heißt der n-te Kreisteilungskörper und wird mit $K^{(n)}$ notiert. Die Nullstellen von $X^n - 1$ in $K^{(n)}$ heißen n-ten Einheitswurzeln und die Menge derer wird mit $E^{(n)}$ bezeichnet.

Satz 2.2. -

Sei $n \in \mathbb{N}^*$.

- (1) Sei p + n. Dann ist $E^{(n)}$ eine zyklische Gruppe (bzgl. der Multiplikation in $K^{(n)}$) der Ordnung n.
- (2) Ist $p \mid n$ und schreibt man $n = p^e m$ für positive ganze Zahlen m und e mit $p \nmid m$, so ist $K^{(n)} = K^{(m)}$ und $E^{(n)} = E^{(m)}$ und die Nullstellen von $X^n 1 \in K[X]$ sind gerade die Elemente in $E^{(m)}$ jedoch jeweils mit Multiplizität p^e .

Beweis. [12, Theorem 2.42].

Definition 2.3 (primitive Einheitswurzeln). -

Sei $n \in \mathbb{N}^*$ und $p \nmid n$. Dann heißen die Erzeuger von $E^{(n)}$ primitive n-te Einheitswurzeln. Die Untergruppe der primitiven Einheitswurzeln wird mit $C^{(n)}$ bezeichnet.

Definition 2.4 (Kreisteilungspolynom). -

Seien $n \in \mathbb{N}^*$, $p \nmid n$. Das Polynom

$$\Phi_n(X) := \prod_{\zeta \in C^{(n)}} (X - \zeta)$$

heißt d-tes Kreisteilungspolynom.

Satz 2.5. -

Seien K ein Körper der Charakteristik p und $n \in \mathbb{N}^*$ mit $p \nmid n$. Dann gilt:

- (1) $X^n 1 = \prod_{d|n} \Phi_d(X)$.
- (2) $\Phi_n(X) \in P[X]$, wobei $P \subset K$ den Unterkörper mit p Elementen notiert.

Beweis. (1) Dies ist eine einfache Folgerung aus Satz 1.1.

(2) Lässt sich per Induktion recht einfach beweisen (vgl. [12, Theorem 2.45 (ii)]).

Definition 2.6.

Für zwei teilerfremde natürliche Zahlen q,ngrößer Null sei

$$\operatorname{ord}_n(q) := \operatorname{ord}([q]_n)$$

die multiplikative Ordnung von q modulo n, wobei $[q]_n$ die Restklasse von q in \mathbb{Z}_n bezeichnet und die Ordnung als Gruppenordnung in den Einheiten von \mathbb{Z}_n , notiert durch \mathbb{Z}_n^{\times} , zu lesen ist.

Lemma 2.7 (Rechenregeln der multiplikation Ordnung modulo n). Seien $m, n, q \in \mathbb{N}^*$ mit ggT(n,q) = 1, ggT(m,q) = 1 und ggT(m,n) = 1, so gilt

- (1) $\operatorname{ord}_n(q) \mid \varphi(n)$,
- (2) $\operatorname{ord}_{mn}(q) = \operatorname{kgV} \{ \operatorname{ord}_m(q), \operatorname{ord}_n(q) \}.$

Beweis. (1) Klar, da $[q]_n$ in \mathbb{Z}_n^{\times} eine Untergruppe der Ordnung ord $_n(q)$ erzeugt. Nach dem Satz von Lagrange teilt deren Ordnung die Gruppenordnung $|\mathbb{Z}_n^{\times}| = \varphi(n)$.

(2) Nach dem Chinesischen Restsatz (z.B. [3, Kapitel 2 Satz 12]) ist

$$f: \quad \mathbb{Z}_{nm} \quad \stackrel{\cong}{\to} \quad \mathbb{Z}_n \times \mathbb{Z}_m \,,$$
$$[x]_{nm} \quad \mapsto \quad ([x]_n, [x]_m)$$

ein Isomorphismus von Ringen, da algebraisch \mathbb{Z}_n ja nichts anderes ist, als $\mathbb{Z}/(n)$, wobei (n) das von n im Ring \mathbb{Z} erzeugte Ideal meint. Dieser liefert einen Gruppenhomomorphismus auf den Einheiten:

$$f: \mathbb{Z}_{nm}^{\times} \to \mathbb{Z}_{n}^{\times} \times \mathbb{Z}_{m}^{\times}$$
.

Nun ist per definitionem von $\operatorname{ord}_{\bullet}(q)$ die Behauptung klar.

Damit können wir nun zu einem zentralen Resultat dieses Abschnittes kommen, das uns über die gesamte Arbeit hinweg begleiten wird.

Satz 2.8. -

Seien q eine Primzahlpotenz und $n \in \mathbb{N}^*$ mit ggT(q,n) = 1. Dann zerfällt das n-te Kreisteilungspolynom $\Phi_n(X)$ über \mathbb{F}_q in

$$\frac{\varphi(n)}{\operatorname{ord}_n(q)}$$

irreduzible paarweise teilerfremde Polynome von jeweils Grad $\operatorname{ord}_n(q)$.

Beweis. Sei $f(X) \mid \Phi_n(X)$ ein irreduzibler Teiler über \mathbb{F}_q . Ist dann $\zeta \in C^{(n)}$ eine Nullstelle von f(X), so sind nach Satz 1.13 auch

$$\zeta^q, \zeta^{q^2}, \dots, \zeta^{q^n}$$

Nullstellen von f(X). Jedoch sind offenbar nur $\operatorname{ord}_n(q)$ dieser verschieden und da f als irreduzibles Polynom wieder nach Satz 1.13 nur einfache Nullstellen besitzt, können wir folgern, dass $\operatorname{deg} f = \operatorname{ord}_n(q)$. Da f(X) als beliebiger irreduzibler Teiler von $\Phi_n(X)$ gewählt wurde, folgt sofort die Behauptung, wenn man sich überlegt, dass der Grad des n-ten Kreisteilungspolynoms per definitionem gerade $\varphi(n)$ ist.

Im Beweis obigen Satzes haben wir gesehen, dass die Wirkung der Galoisgruppe $\operatorname{Gal}(\mathbb{F}_{q^n} \mid \mathbb{F}_q)$ auf der Menge der primitiven n-ten Einheitswurzeln $C^{(n)}$ (die Wirkung ist selbstredend durch Einsetzen gegeben) diese in Teilmengen der Mächtigkeit $\operatorname{ord}_n(q)$ zerlegt. Dies lässt sich natürlich auf $E^{(n)}$ übertragen, da ja gerade nach Satz 1.1 $E^{(n)} = \bigcup_{d \mid n} C^{(d)}$. Dies motiviert nachstehende Definition.

Definition 2.9. —

Für $m, q \in \mathbb{N}$ mit ggT(m, q) = 1 und $j \in \mathbb{Z}_m$ definieren wir

$$M_q(j \mod m) := \{j \ q^i \mod m : i \in \mathbb{N}\} = \{j, \ jq, \ jq^2, \ jq^3, \dots \mod m\}$$

Ein vollständiges Repräsentantensystem von Nebenklassen von $M_q(1 \mod m)$ in \mathbb{Z}_m sei mit $R_q(m)$ bezeichnet. Für $l \in M_q(j \mod m)$ bezeichne ferner $r_q(l \mod m) \coloneqq |\{lq^i : i \in \mathbb{N}\}|$ die Länge der zugehörigen Bahn.

Bemerkung 2.10. Per Definition von $\operatorname{ord}_m(q)$ ist für $l \neq 0$

$$r_q(l \bmod m) = \operatorname{ord}_{\frac{m}{\operatorname{ggT}(m,l)}}(q)$$
.

Beispiel 2.11. Wollen wir den Zerfall von $X^{21}-1$ über \mathbb{F}_2 untersuchen, so berechnen wir erst ein

Vertretersystem von Restklassen mod21:

$l \in R_2(21)$	$M_2(l \bmod 21)$
0	0
1	1,2,4,8,11,16 3,6,12 5,10,13,17,19,20
3	3, 6, 12
5	5, 10, 13, 17, 19, 20
7	7,14 9,15,18
9	9, 15, 18

Nun wissen wir aus Satz 2.5, dass

$$X^{21} - 1 = \Phi_1(X) \cdot \Phi_3(X) \cdot \Phi_7(X) \cdot \Phi_{21}(X)$$
.

Die Nullstellen von $\Phi_{21}(X)$ partitionieren sich gerade in diejenigen $M_2(l \mod 21)$ für die l = 1, 5. Also haben wir

$$\Phi_{21}(X) = (X^6 + X^4 + X^2 + X + 1) \cdot (X^6 + X^5 + X^4 + X^2 + 1) \\
= (X - \zeta)(X - \zeta^2)(X - \zeta^4)(X - \zeta^8)(X - \zeta^{11})(X - \zeta^{16}) \cdot (X - \zeta^5)(X - \zeta^{10})(X - \zeta^{13})(X - \zeta^{17})(X - \zeta^{19})(X - \zeta^{20})$$

falls wir $\zeta \in C^{(21)}$ als Nullstelle von $X^6 + X^4 + X^2 + X + 1$ setzen. Analog erhalten wir den Zerfall von $\Phi_7(X)$ durch Betrachtung der $M_2(l \bmod 21)$ für l = 3, 9.

$$\Phi_7(X) = (X^3 + X + 1) \cdot (X^3 + X^2 + 1)$$

= $(X - \zeta^3)(X - \zeta^{3\cdot 2})(X - \zeta^{3\cdot 4}) \cdot (X - \zeta^{3\cdot 3})(X - \zeta^{3\cdot 5})(X - \zeta^{3\cdot 6})$

Sammeln wir den Rest auf, erhalten wir die Partitionierung für $\Phi_3(X)$ und den trivialen Fall $\Phi_1(X)$.

$$\Phi_{3}(X) = X^{2} + X + 1$$

$$= (X - \zeta^{7})(X - \zeta^{14}),$$

$$\Phi_{1}(X) = X - 1$$

$$= X - \zeta^{0}.$$

Nun können wir uns überlegen, ob und wie unterschiedliche Kreisteilungspolynome zusammenhängen und kommen dabei auf die bekannten Resultate, die z.B. in [5, Proposition 10.6, 10.7] zu finden sind. Um diese anzugeben, benötigen wir jedoch noch eine Definitionen und zitieren einige Eigenschaften.

Definition 2.12. —

Seien $r, n \in \mathbb{N}$, so definiere

$$\pi_r(n) := \max\{k \in \mathbb{N}^* : k \mid n, \nu(k) \mid \nu(r)\}.$$

Lemma 2.13. Seien q > 1 eine ganze Zahl, $n \in \mathbb{N}^*$ und r ein Primteiler von q - 1. Dann gilt:

(1) Ist $r \neq 2$ oder $q \equiv 1 \mod 4$, so gilt

$$\pi_r(q^{r^n}-1) = r^n \pi_r(q-1).$$

(2) Ist $q \equiv 3 \mod 4$, so gilt

$$\pi_2(q^{2^n}-1) = 2^{n-1}\pi_2(q^2-1).$$

Beweis. [5, Lemma 19.4].

Lemma 2.14. Seien q, m, k > 1 ganze Zahlen mit $\nu(k) \mid \nu(m) \mid q - 1$. Dann gilt

(1) Ist m ungerade oder $q \equiv 1 \mod 4$ oder k ungerade, so gilt

$$\pi_m(q^k-1) = k \pi_m(q-1).$$

(2) Ist m gerade, $q \equiv 3 \mod 4$ und k gerade, so ist

$$\pi_m(q^k-1) = \frac{k}{2}\pi_m(q^2-1).$$

Beweis. [5, Lemma 19.5].

Satz 2.15.

Seien $t, k \in \mathbb{N}^*$.

(1) Ist $\nu(t) \mid k$, so gilt

$$\Phi_k(X^t) = \Phi_{kt}(X) \in K[X].$$

(2) Sind t und k teilerfremd, so gilt

$$\Phi_k(X^t) = \prod_{d|t} \Phi_{kd}(X) \in K[X].$$

(3) Insbesondere gilt: Ist $q = p^r$ eine Primzahlpotenz, $t, k \in \mathbb{N}^*$ mit $p \nmid t, k$ und π eine Potenz von p. Sei ferner $t = \pi_k(t) \cdot \bar{t}$, so gilt

$$\Phi_k(X^{t\pi}) = \left(\prod_{d|\bar{t}} \Phi_{k \, d \, \pi_k(t)}(X)\right)^{\pi} \in \mathbb{F}_q[X].$$

Beweis. Dass sich Potenzen von p aus dem Argument herausziehen lassen, ist klar, da id $_P = (.)^{\pi}$: $P \to P$ für den Primkörper $P \subset K$ nach Satz 1.8 eine lineare Abbildung ist. Ferner haben nach Satz 2.5 die Kreisteilungspolynome nur Koeffizienten in P.

Der Kern des Beweises des Rests liegt in der Betrachtung des Gruppenhomomorphismus

$$\psi_n: \bar{K}^* \to \bar{K}^*, \ x \mapsto x^n$$

für p
mid n. Denn nun ist offensichtlich, dass die Nullstellen von $\Phi_k(X^t)$ gerade alle Elemente in \bar{K}^* , deren t-te Potenz eine primitive k-te Einheitswurzel ist, sind, also $\psi_t^{-1}(C^{(k)})$. Ergo formulieren sich die Aussagen wie folgt um:

- (1') Ist $\nu(t) \mid k$, so gilt $\psi_t^{-1}(C^{(k)}) = C^{(kt)}$.
- (2') Ist ggT(t,k) = 1, so gilt $\psi_t^{-1}(C^{(k)}) = \bigcup_{d|t} C^{(kd)}$.
- (3') Ist $k, t \in \mathbb{N}^*$ mit p + t, k und $k = \pi_k(t)\bar{t}$, so gilt

$$\psi_t^{-1}(C^{(k)}) = \bigcup_{d|\bar{t}} C^{(k d \pi_k(t))}$$

Nun ist offensichtlich, dass es reicht (3') zu zeigen. Dazu notiere $t_0 := \pi_k(t)$ und seien $d \mid \bar{t}$ und $\zeta \in C^{(kdt_0)}$ beliebig. Dann ist

$$\operatorname{ord}(\zeta^t) = \operatorname{ord}((\zeta^{t_0 d})^{\frac{\bar{t}}{d}}) = k,$$

da per definitionem von $\pi_k(t)$ gerade $ggT(\bar{t}, kt_0) = 1$. Also gilt $\psi_t(C^{(kdt_0)}) \subseteq C^{(k)}$ und damit

$$\bigcup_{d|\bar{t}} C^{(kdt_0)} \subseteq \psi_t^{-1} \psi_t(\cup_{d|\bar{t}} C^{(kdt_0)}) \subseteq \psi_t^{-1}(C^{(k)})$$

Die Gleichheit folgt mit einem Zählargument: Auf der einen Seite ist

$$\left| \bigcup_{d \mid \overline{t}} C^{(kdt_0)} \right| = \sum_{d \mid \overline{t}} \varphi(kdt_0) = \varphi(kt_0) \sum_{d \mid \overline{t}} \varphi(d) = \varphi(kt_0) \cdot \overline{t} = \varphi(k)t,$$

wobei an Lemma 1.4 erinnert sei. Auf der anderen Seite haben wir

$$|\psi_t^{-1}(C^{(k)})| = t|C^{(k)}| = t\varphi(k),$$

was den Beweis abschließt.

Bevor wir den Zerfall der Kreisteilungspolynome noch genauer untersuchen, kann man als einfache Folgerung angeben, wann genau ein Binom $x^n - \beta \in \mathbb{F}_q[x]$ irreduzibel ist.

Satz 2.16. —

Seien $\beta \in F_q^*$ und $n \in \mathbb{N}$. Es gilt: $x^n - \beta \in \mathbb{F}_q[x]$ ist genau dann irreduzibel, wenn

- (1) $p := \operatorname{char} \mathbb{F}_q + n$,
- (2) $\nu(n) \mid e := \operatorname{ord}(\beta) \ und$
- (3) $\operatorname{ord}_{ne}(q) = n$.

Beweis. Zunächst ist klar, dass $p \nmid n$ erfüllt sein muss, da ansonsten $\beta' \in \mathbb{F}_q^*$ existiert mit $\beta'^p = \beta$ ((·)^p ist ein Automorphismus auf \mathbb{F}_q nach Satz 1.8). Damit wäre $x^n - \beta = (x^{\frac{n}{p}} - \beta')^p$ eine Faktorisierung. Nun sei u eine Nullstelle von $x^n - \beta$, so lässt sich beobachten, dass (in Notation des Beweises von Satz 2.15) $u \in \psi_n^{-1}(C^{(e)})$. Damit gilt nach Satz 2.15 (3)

$$x^n - \beta = \prod_{d \mid \bar{n}} \operatorname{ggT}(x^n - \beta, \Phi_{en_0d}(x))$$

für $n = \pi_e(n)\bar{n}$ und diese Zerlegung ist, wie man sich analog zum Beweis von Satz 2.8 überlegen kann, nicht trivial (vgl. [14, Theorem ...]). Damit ist (2) der Behauptung klar, so dass $x^n - \beta \mid \Phi_{ne}(x)$. Ferner zerfällt nach Satz 2.8 $\Phi_{ne}(x)$ in $\frac{\varphi(ne)}{\operatorname{ord}_{ne}(q)}$ irreduzible Faktoren von jeweils Grad $\operatorname{ord}_{ne}(q)$. Damit wird auch (3) der Behauptung augenblicklich klar.

Für die letzte Bedingung in obigem Satz existieren noch verschiedene weitere äquivalente Charakterisierungen, die nachstehend zu finden sind.

Satz 2.17.

Seien p eine Primzahl, q eine Potenz von p und $n, e \in \mathbb{N}^*$ mit $p \nmid n$ und $\nu(n) \mid e \mid q - 1$. Dann sind äquivalent:

- (1) $\operatorname{ord}_{ne}(q) = n$,
- (2) $\operatorname{ggT}(\frac{q-1}{e}, n) = 1$ und $q \equiv 1 \mod 4$, falls $4 \mid n$, und
- (3) $\pi_n(q-1) \mid e \text{ und } q \equiv 1 \mod 4, \text{ falls } 4 \mid n.$

Beweis. [14, Theorem ...].

Wir haben nun erkannt, wann genau Binome über einem endlichen Körper irreduzibel sind. Doch wenn man dem Titel dieses Kapitels Glauben schenken mag, interessieren wir uns hier vorangig für den Zerfall der Kreisteilungspolynome über endlichen Körpern. Diese sind im Allgemeinen keine Binome, aber genau das Wissen über die Irreduzibiltät von Binomen lässt uns Bedingungen formulieren, die dazu führen, dass ein Kreisteilungspolynom über einem gegebenen endlichen Körper in irreduzible Binome zerfällt Später (Abschnitt 4.2) werden wir diese Bedingungen stark regulär (Definition 4.5) nennen und einsehen, dass sie eine wesentliche Rolle bei der expliziten Konstruktion von Normalbasen spielen.

Satz 2.18. -

Seien \mathbb{F}_q ein endlicher Körper von Charakteristik p und $m \in \mathbb{N}^*$. Es gelte $p \nmid m$, $\nu(m) \mid q-1$ und $4 \mid q-1$, falls $2 \mid m$. Setze $l \coloneqq \pi_m(q-1)$, $a \coloneqq \operatorname{ggT}(l,m)$ und $I_a \coloneqq \{j \in \mathbb{N}^* : j \ge a, \operatorname{ggT}(j,a) = 1\}$. Ist $\zeta \in \mathbb{F}_q^*$ eine primitive a-te Einheitswurzel, so ist

$$\Phi_m(x) = \prod_{j \in I_a} \left(x^{\frac{m}{a}} - \zeta^j \right)$$

die vollständige Faktorisierung des m-ten Kreisteilungspolynoms über \mathbb{F}_q .

Beweis. Wir stellen fest, dass \mathbb{F}_q in der Tat a-te Einheitswurzeln enthält, da $\operatorname{ord}_a(q)=1$. Dies ist klar, da l per definitionem q-1 teilt und $a=\operatorname{ggT}(l,m)$. Nun wollen wir uns klar werden, dass beide Seiten obiger Gleichung auch identisch sind: Für $j\in I_a$ durchläuft ζ^j alle primitiven a-ten Einheitswurzeln und damit sind die Nullstellen der rechten Seite der Gleichung gerade alle primitiven m-ten Einheitswurzeln. Bleibt die Irreduzbilität von $x^{\frac{m}{a}}-\zeta^j$ zu zeigen, wobei wir ohne Einschränkung j=1 wählen können: Klar ist, dass $p\nmid \frac{m}{a}$, da $p\nmid m$ nach Voraussetzungen. Ferner ist $\nu(l)=\nu(m)$, da wegen $\nu(m)\mid q-1$ gilt:

$$\pi_m(q-1) = \max\{k \in \mathbb{N}^* : k \mid q-1, \nu(k) = \nu(m)\}.$$

Also ist auch $\nu(a) = \nu(\operatorname{ggT}(l, m)) = \nu(m)$ und damit folgt $\nu(\frac{m}{a}) \mid \nu(m) = \nu(a) \mid a$, womit auch (2) in Satz 2.16 erfüllt wäre. Da $\nu(m) \mid q-1$ ist $\pi_{\frac{m}{a}}(q-1) \mid m$, also auch $\pi_{\frac{m}{a}}(q-1) \mid a$. Damit wäre durch die Bedingung $q \equiv 1 \mod 4$, falls $2 \mid m$, auch (3) in Satz 2.17 erfüllt.

Bemerkung 2.19. Man hätte obigen Beweis auch ohne das Wissen über irreduzible Binome führen können, in dem man sich Satz 2.8 bedient. So findet man dies auch in [5, Lemma 22.2].

Erinnert man sich nun erneut an Satz 2.8, so kann man sich die Frage stellen, ob man den Zusammenhang unterschiedlicher Kreisteilungspolynome aus Satz 2.15 in dem Sinne verfeinern kann, dass man sich nicht für das gesamte Kreisteilungspolynom interessiert, sondern lediglich für einen irreduziblen Teiler. Diese Frage beantwortet nachstehender Satz.

Satz 2.20.

Seien $q = p^r$ eine Primzahlpotenz und $m, t \in \mathbb{N}$ mit p + m, p + t und ggT(m, t) = 1. Definieren wir ferner

$$\Delta_q(m,d) := \frac{\varphi(d)\operatorname{ord}_m(q)}{\operatorname{ord}_{md}(q)},$$

so gilt:

(1) Ist $f(x) \mid \Phi_m(x)$ ein über \mathbb{F}_q irreduzibler monischer Teiler des m-ten Kreisteilungspolynoms, so gilt

$$f(x^t) = \prod_{d|t} \prod_{i=1}^{\Delta_q(m,d)} f_{d,i}(x),$$

wobei für alle $i = 1, ..., \Delta_q(m, d)$

$$f_{d,i} \in \mathbb{F}_q[x]$$
 monisch, irreduzibel und $f_{d,i}(x) \mid \Phi_{md}(x)$.

Ferner sind alle $f_{d,i}(x)$ paarweise teilerfremd.

(2) Sind $f(x) \mid \Phi_m(x)$ und $g(x) \mid \Phi_m(x)$ zwei teilerfremde, monische, über \mathbb{F}_q irreduzible Teiler des m-ten Kreisteilungspolynoms, so sind auch $f(x^t)$ und $g(x^t)$ teilerfremd.

Beweis. Wie schon im Beweis von Satz 2.15 betrachten wir den Gruppenhomomorphismus ψ_t , diesmal eingeschränkt auf $E^{(mt)}$:

$$\psi_t : E^{(mt)} \to E^{(m)},$$

$$x \mapsto x^t,$$

was offenbar ein wohldefinierter Gruppenhomomorphismus bleibt. Offensichtlich ist ker $\psi_t = E^{(t)}$. Da ggT(m,t) = 1, also $E^{(mt)} = E^{(m)} \odot E^{(t)}$ als leichte Folgerung aus Satz 1.1, ist ψ auch surjektiv.

Ist nun $\alpha \in C^{(m)}$ eine Nullstelle von f(x), so existiert – wiederum weil m und t teilerfremd sind – genau ein $\beta \in C^{(m)}$ mit $\beta^t = \alpha$. Damit ist also

$$\psi_t^{-1}(\{\alpha\}) = \beta E^{(t)} = \bigcup_{d|t} \beta C^{(d)}.$$

Notiert wieder σ der Frobenius von \mathbb{F}_q , so sind nach Satz 1.13 $\sigma^j(\alpha)$, $j = 0, \ldots, \delta-1$ für $\delta = \operatorname{ord}_q(m)$ die Nullstellen von f(x). Da $p \nmid t$ bleibt die Menge der t-en Einheitswurzeln invariant unter σ und damit ist die Menge der Nullstellen von $f(x^t)$ gerade

$$\bigcup_{j=0}^{\delta-1} \sigma^{j}(\beta) E^{(t)} = \bigcup_{j=0}^{\delta-1} \bigcup_{d|t} \beta^{q^{j}} C^{(d)} = \bigcup_{d|t} \bigcup_{j=0}^{\delta-1} \beta^{q^{j}} C^{(d)} =: \bigcup_{d|t} N_{d}.$$
(2.1)

Wollen wir nun einsehen, wie $f(x^t)$ über \mathbb{F}_q zerfällt, so müssen wir überlegen, wie obige Nullstellenmenge in σ -invariante Teilmengen zerfällt. Für jedes $d \mid t$ und jedes $j \in \{0, \dots, \delta - 1\}$ ist $\zeta \in \beta^{q^j}$ $C^{(d)}$ ein Element mit ord $(\zeta) = md$, also Nullstelle von $\Phi_{md}(x)$. Ferner gilt offenbar $\forall d \mid t : |N_d| = \delta \varphi(d)$ und wir können folgern, dass N_d in genau

$$\frac{\delta\varphi(d)}{\operatorname{ord}_{md}(q)} = \frac{\operatorname{ord}_m(q)\,\varphi(d)}{\operatorname{ord}_{md}(q)} = \Delta_q(m,d)$$

 σ -invariante Teilmengen zerfällt. $\Delta_q(m,d)$ ist in der Tat eine natürliche Zahl größer 0, da nach Lemma 2.7 (2)

$$\frac{\operatorname{ord}_m(q)\,\varphi(d)}{\operatorname{ord}_{md}(q)} \;=\; \frac{\varphi(d)\;\operatorname{ggT}(\operatorname{ord}_m(q),\operatorname{ord}_d(q))}{\operatorname{ord}_d(q)}$$

und $\operatorname{ord}_d(q) \mid \varphi(d)$ nach Lemma 2.7 (1). Damit ist alles in (1) gezeigt. Der Zusatz (2) folgt sofort, denn ist $\alpha_f \in C^{(m)}$ bzw. $\alpha_g \in C^{(m)}$ Nullstelle von f bzw. g, so gehören diese zu verschiedenen σ -invarianten Teilmengen von $C^{(m)}$ (vgl. auch Beispiel 2.11) und folglich gehören auch $\beta_f \in C^{(m)}$ bzw. $\beta_g \in C^{(m)}$ mit $\beta_f^t = \alpha_f$ bzw. $\beta_g^t = \alpha_g$ zu verschiedenen und damit disjunkten σ -invarianten Teilmengen von $\mathcal{C}^{(m)}$.

Beispiel 2.21. Greifen wir noch einmal Beispiel 2.11 auf und betrachten einen irreduziblen Teiler f(x) von $\Phi_7(x)$ über \mathbb{F}_2 , sagen wir

$$f(x) := x^3 + x + 1$$
.

Sei t = 3. Nun wissen wir nach Satz 2.20, dass $f(x^3)$ wie folgt über \mathbb{F}_2 zerfällt:

$$f(x^{3}) = \prod_{i=1}^{d=1} f_{1,i}(x) \cdot \prod_{i=1}^{d=3} f_{3,i}(x) = f_{1,1}(x) \cdot f_{3,1}(x)$$

da

$$\begin{split} \Delta_2(7,1) &= \frac{\varphi(1)\operatorname{ord}_7(2)}{\operatorname{ord}_7(2)} = \frac{1\cdot 3}{3} = 1\,,\\ \Delta_2(7,3) &= \frac{\varphi(3)\operatorname{ord}_7(2)}{\operatorname{ord}_{21}(2)} = \frac{2\cdot 3}{6} = 1\,. \end{split}$$

Wir wollen nun herausfinden, welche Teiler $f_{1,1}(x)$ und $f_{3,1}(x)$ von $\varphi_7(x)$ und $\varphi_{21}(x)$ sind. Wir übernehmen den Zerfall der Kreisteilungspolynome aus Beispiel 2.11 und können einsehen, dass

$$f_{1,1}(x) = x^3 + x^2 + 1, f_{3,1}(x) = x^6 + x^5 + x^4 + x^2 + 1.$$

Beispiel 2.22. Als zweites Beispiel wollen wir uns einen Fall betrachten, in dem $\Delta_q(d, m)$ nicht immer 1 ist. Sei p = q = 3, m = 5 und t := 4. Also müssen wir ein Vertretersystem von Restklassen mod 20 betrachten:

$l \in R_3(20)$	$M_2(l \bmod 20)$
0	0
1	1, 3, 7, 9
2	2, 6, 14, 18
4	1,3,7,9 2,6,14,18 4,8,12,16 5,15
5	5, 15
10	10
11	11, 13, 17, 19

Wir sehen, dass $\Phi_{20}(x)$ für l=1,11 in 2 Polynome von jeweils Grad 4 zerfällt:

$$\Phi_{20}(x) = (x^4 + x^3 + 2x + 1) \cdot (x^4 + 2x^3 + x + 1)$$

= $(x - \zeta^{11})(x - \zeta^{13})(x - \zeta^{17})(x - \zeta^{19}) \cdot (x - \zeta)(x - \zeta^3)(x - \zeta^7)(x - \zeta^9),$

wobei wir $\zeta \in C^{(20)}$ mit Minimalpolynom $x^4 + 2x^3 + x + 1$ gewählt haben. Nun können wir den Zerfall von $\Phi_5(x)$ und $\Phi_{10}(x)$ in Termen von ζ anhand der Restklassen mod 20 beschreiben:

$$\Phi_{5}(x) = x^{4} + x^{3} + x^{2} + x + 1$$

$$= (x - \zeta^{4})(x - \zeta^{8})(x - \zeta^{12})(x - \zeta^{16}),$$

$$\Phi_{10}(x) = x^{4} + 2x^{3} + x^{2} + 2x + 1$$

$$= (x - \zeta^{2})(x - \zeta^{6})(x - \zeta^{14})(x - \zeta^{16}).$$

Die Restklassen für l=0,5,10 gehören zu den Kreisteilungspolynomen $\Phi_1(x), \Phi_4(x)$ und $\Phi_2(x)$, die wir für ein Beispiel zu Satz 2.20 nicht benötigen. Nun brauchen wir wieder einen irreduziblen monischen Teiler von $\Phi_m(x)$ und setzen daher $f(x) = \Phi_m(x)$. Wir berechnen wie oben

$$\Delta_{3}(5,1) = \frac{\varphi(1)\operatorname{ord}_{5}(3)}{\operatorname{ord}_{5}(3)} = \frac{1\cdot 4}{4} = 1,$$

$$\Delta_{3}(5,2) = \frac{\varphi(1)\operatorname{ord}_{5}(3)}{\operatorname{ord}_{10}(3)} = \frac{1\cdot 4}{4} = 1,$$

$$\Delta_{3}(5,4) = \frac{\varphi(4)\operatorname{ord}_{5}(3)}{\operatorname{ord}_{20}(3)} = \frac{2\cdot 4}{4} = 2.$$

Nun ist klar, wie $f(x^t)$ über \mathbb{F}_3 zerfällt:

$$d = 1 \mid 4 \qquad d = 2 \mid 4 \qquad d = 4 \mid 4$$

$$f(x^3) = (x^4 + x^3 + x^2 + x + 1) \cdot (x^4 + 2x^3 + x^2 + 2x + 1) \cdot ((x^4 + x^3 + 2x + 1)(x^4 + 2x^3 + x + 1))$$

Kapitel 3

Moduln

3.1 | Über Moduln über Hauptidealbereichen

Nähern wir uns der Situation von Normalbasen in möglichst allgemeiner Form, so beginnt die Reise bei der Betrachtung von Moduln über Hauptidealbereichen. Dazu wiederholen wir die wichtigsten Definitionen und Aussagen. Für eine intensivere Betrachtung sei auf Standardwerke der Algebra, z.B. [10] oder [8], verwiesen. Die Referenzen als Beweise seien ohne explizite Erwähnung immer als beispielhafte Angabe zu verstehen und es sei bemerkt, dass jene grundlegenden Resultate auch in anderen Werken zu finden sind.

Definition 3.1 (Integritätsbereich). —

Sei R ein kommutativer Ring, so heißt R Integritätsbereich, falls R nullteilerfrei ist und $1 \neq 0$ in R.

Lemma 3.2. Sei R ein Integritätsbereich. Dann ist R[x], also der univariate Polynomring über R, ein Integritätsbereich und $R[x]^{\times} = R^{\times}$.

Beweis. [9, Lemma 13.4].

Definition 3.3 (assoziierte Elemente). —

Sei R ein Integritätsbereich. Zwei Elemente $r, s \in R$ heißen assoziiert, falls sie sich nur um eine Einheit unterscheiden, d.h. ein $u \in R^{\times}$ existiert mit r = us.

Bemerkung 3.4. Man sieht leicht ein, dass Assoziiertheit eine Äquivalenzrelation definiert.

Definition 3.5 (Hauptidealbereich). -

Sei R ein Integritätsbereich, so heißt R Hauptidealbereich oder Hauptidealring, falls jedes Ideal $I \triangleleft R$ ein Hauptideal ist, d.h. ein $r \in R$ existiert mit I = (r).

Lemma 3.6. Sei K ein Körper, so ist K und K[X] ein Hauptidealbereich.

Beweis. [9, Satz 17.6].

Definition 3.7 (ggT und kgV). ——

Sei Rein Hauptidealbereich und $a,b\in R.$ Dann heißt $t\in R$ mit

$$(a) + (b) = (a,b) = (t)$$

größter gemeinsamer Teiler von a und b; geschrieben t = ggT(a, b).

Ferner heißt $T \in R$ mit

$$(a) \cap (b) = (T)$$

kleinstes gemeinsames Vielfaches von a und b; geschrieben T = kgV(a, b).

Bemerkung 3.8. ggT und kgV sind nur bis auf Assoziiertheit gleich, wie man sich leicht überlegen kann.

Definition 3.9 (irreduzibles Element).

Sei R ein Integritätsbereich, so heißt $p \in R$ irreduzibel, falls $p \neq 0, p \notin R^{\times}$ und gilt:

$$\forall a, b \in R : p \mid ab \Rightarrow p \mid a \lor p \mid b$$
.

Definition 3.10 (Faktorieller Ring). ———

Ein Integritätsbereich R heißt $faktorieller\ Ring$, falls jedes Element $0 \neq r \in R$ eine Zerlegung in irreduzible Faktoren besitzt, d.h.

$$r = ea_1 \dots a_n$$

mit $e \in \mathbb{R}^{\times}$, $n \ge 0$ und $a_i \in \mathbb{R}$ irreduzibel und diese Zerlegung eindeutig ist, d.h. sind

$$ea_1 \dots a_n = fb_1 \dots b_m$$

zwei Zerlegungen mit $e, f \in R^{\times}$, a_i, b_j irreduzibel, so folgt n = m und $a_i = u_i b_{\pi(i)}$ für eine Permutation π von $\{1, \ldots, n\}$ und Einheiten a_i für alle $i = 1, \ldots, n$.

Satz 3.11. -

Hauptidealbereiche sind faktorielle Ringe.

Beweis. [10, Theorem II.5.2].

Definition 3.12 (Modul). —

Sei R ein kommutativer Ring, so ist ein R-Modul eine abelsche Gruppe (M, +, 0) zusammen mit einer Abbildung

$$: R \times M \to M, (r, m) \mapsto r \cdot m,$$

sodass für alle $r, r' \in R, m, m' \text{ im } M \text{ gilt}$

- (1) $r \cdot (r' \cdot m) = (rr') \cdot m$,
- (2) $(r+r') \cdot m = r \cdot m + r' \cdot m$ und
- (3) $r \cdot (m+m') = r \cdot m + r \cdot m'$.

Definition 3.13 (zyklischer Modul). —

Ein R-Modul M heißt zyklisch, falls ein $x \in M$ existiert, so dass

$$M = xR$$
.

Satz 3.14. -

Untermoduln zyklischer Moduln sind wieder zyklisch.

Beweis. Die Aussage ist nicht anderes, als ein Spezialfall der Tatsache, dass Untermoduln freier Moduln wieder frei sind und die Dimension des Untermoduls nie größer ist als die des Moduls ([10, Theorem 7.1]).

Definition 3.15 (Ordnung/Exponent eines Moduls). –

Sei M ein R-Modul. Existiert ein $r \in R$ mit

$$rM = 0$$
,

so heißt r Ordnung von M oder Exponent von M.

Nun können wir ein zentrales Resultat über Moduln mit Exponenten beweisen, das sich so auch beispielsweise in [8, Lemma 8.10] wiederfindet.

Satz 3.16 (Zerlegungssatz für Moduln mit Ordnung). —

Seien R ein Hauptidealbereich und M ein nicht-trivialer R-Modul mit Exponent r, also rM = 0. Sei $r = ep_1^{\alpha_1} \dots p_k^{\alpha_k}$ eine Zerlegung in irreduzible Faktoren, sodass die p_i paarweise nicht assoziiert sind, so existieren eindeutig bestimmte R-Moduln M_1, \dots, M_k mit $p_i^{\alpha_i} M_i = 0$ für alle $i = 1, \dots, k$, sodass

$$M = \bigoplus_{i=1}^k M_i.$$

Beweis. Zu Beginn stellen wir fest, dass die geforderte Zerlegung für r existiert und eindeutig ist, in dem wir (R ist faktoriell nach Satz 3.11) r in irreduzibele Elemente zerlegen und dann diejenigen, die zueinander assoziiert sind, zusammenfassen. Ferner notieren wir $d_i = \frac{r}{p_i^{\alpha_i}}$. Kümmern wir nun um die Eindeutigkeit. Sei also

$$M = M_1 \oplus \ldots \oplus M_k \quad \text{mit } p_i^{\alpha_i} M_i = 0$$

gegeben, so wollen wir zeigen, dass $M_i = d_i M$ und dadurch die Komponenten M_i eindeutig festgelegt sind. Es gilt offenbar für alle i = 1, ..., k

$$d_i M \subseteq d_i M_1 + \ldots + d_i M_k = d_i M_i \subseteq M_i$$

denn $d_i M_j = 0$ für $i \neq j$ nach Voraussetzung. Wählen wir ein i = 1, ..., k beliebig, so ist $(d_i, p_i^{\alpha_i}) = (1)$, d.h. es existieren $s, t \in R$ mit $sd_i + tp_i^{\alpha_i} = 1$. Für $m \in M_i$ folgt dann

$$m = 1m = (sd_i + tp_i^{\alpha_i})m = d_i(sm) \in d_iM.$$

Zusammen haben wir

$$M_i \subseteq d_i M \subseteq d_i M_i \subseteq M_i$$

und damit Gleichheit.

Um die Existenz zu zeigen, definieren wir einmal $M_i := d_i M$ und müssen nun die geforderten Eigenschaften nachprüfen. Zunächst ist klar, dass $p_i^{\alpha_i} M_i = 0$. Da $(d_1, \ldots, d_k) = (1)$ existeren t_1, \ldots, t_k mit $\sum_{i=1}^k t_i d_i$ und für alle $x \in M$ folgt

$$x = 1x = \sum_{i=1}^{k} d_i(t_i x) \in \sum d_i M = \sum M_i$$
.

Es fehlt nur noch zu zeigen, dass diese Summe auch direkt ist. Dazu sei wieder $i \in \{1, ..., k\}$ beliebig und $y \in \sum_{i \neq j} M_j$. Also ist $d_i y = 0$. Ist ferner zusätzlich $y \in M_i$, so ist $p_i^{\alpha_i} y = 0$. Wie oben existieren $s, t \in R$ mit $sd_i + tp_i^{\alpha_i} = 1$. Also

$$y = 1y = (s_d i + t p_i^{\alpha_i}) y = 0,$$

was den Beweis abschließt.

Definition 3.17.

Seien M ein R-Modul und $r \in R$, so definiere

$$V_r := \{a \in M : ra = 0\}.$$

Bemerkung 3.18. Es ist klar, dass V_r wieder zu einem R-Modul wird, da sich V_r auch lesen lässt, als der Kern des Modulhomomorphismus

$$M \to M, \ a \mapsto ra$$

Satz 3.19.

Seien M ein Modul über einem Hauptidealbereich R und $r, s, t, T \in R$ mit t = ggT(r, s) und T = kgV(r, s). Dann gilt

- $(1) V_r \cap V_s = V_t.$
- $(2) V_r + V_s = V_T.$

Beweis. Zunächst ist klar, dass $V_r + V_s$ und $V_r \cap V_s$ wiederum R-Moduln sind.

(1) Sei $x \in V_t$, so ist $t \in \operatorname{Ann}_R x$ nach Definition des Annihilators. Dieser ist ein Ideal, also sind auch $s, t \in \operatorname{Ann}_R x$. Damit folgt sofort $x \in V_r \cap V_s$. Sei umgekehrt $x \in V_r \cap V_s$, also rx = 0 und sx = 0. Nach Definition des ggT existieren $r', s' \in R$ mit t = r'r + s's, also

$$tx = r'rx + s'sx = 0.$$

(2) Da r und s Teiler von T sind, ist klar, dass $V_r + V_s \subseteq V_T$. Sei umgekehrt $z \in V_T$. Schreibe nun r = r't, s = s't und setze x := s'z, y := r'z. Dann ist

$$rx = rs'z = Tz = r'sz = sy$$

und wegen Tz = 0 folgt $x \in U_r$ und $y \in U_s$. Da nach Wahl nun (r') + (s') = (1), existieren $\alpha, \beta \in R$ mit $\alpha r' + \beta s' = 1$ und wir folgern

$$z = \alpha r' z + \beta s' z = \alpha y + \beta x.$$

Definition 3.20 (Annihilator). -

Sei M ein R-Modul. Für $S \subset M$ heißt

$$\operatorname{Ann}_{R}(S) \coloneqq \{ r \in R \mid sr = 0 \ \forall s \in S \}$$

der Annihilator von S in R. Für $S = \{x\}$ schreibe $\operatorname{Ann}_R(x) := \operatorname{Ann}_R(\{x\})$.

Bemerkung 3.21. In mancher Literatur wird auch die Schreibweise M = (x) für einen zyklischen Modul benutzt, jedoch suggeriert (x) ein Ideal in R zu bezeichnen. Da dies im Allgemeinen nicht der Fall ist, verzichten wir auf diese Schreibweise.

Bemerkung 3.22. Man spricht in obiger Definition auch vom Annihilator-Ideal, da in der Tat $\operatorname{Ann}_R(S)$ ein Ideal in R ist. Insbesondere, falls M = xR ein zyklischer R-Modul über einem Hauptidealbereich R ist, so ist

$$Ann_R(x) = (r)$$

für ein $r \in R$.

Lemma 3.23. Sei M = xR ein zyklischer R-Modul. Dann gilt

$$M \cong R/\operatorname{Ann}_R(x)$$

als R-Moduln und dieser Isomorphismus ist kanonisch.

Beweis. $\phi: R \to M$, $r \mapsto rx$ liefert einen surjektiven Homomorphismus von R-Moduln, dessen Kern gerade $\operatorname{Ann}_R(x)$ ist. Damit folgt die Behauptung sofort aus dem Homomorphiesatz für Moduln.

Lemma 3.24. Sei Z=Rz ein zyklischer R-Modul von Ordnung p^{α} für ein Primelement $p \in R$. Dann sind die einzigen Teilmoduln von Z

$$0 = Z_{\alpha} \subseteq Z_{\alpha-1} \subseteq \ldots \subseteq Z_0 = Z$$
,

wobei $Z_{\beta} = p^{\beta}Z$.

Beweis. Nach Lemma 3.23 ist $Z \cong R/(p^{\alpha})$. Damit stehen die Teilmoduln von Z in Bijektion zu den Teilmoduln von R (gelesen als R-Modul), die (p^{α}) enthalten. Solch ein Teilmoduln ist also gerade ein Ideal (r) mit $(p^{\alpha}) \subseteq (r)$. Da p prim ist, folgt $r = up^{\beta}$ für $0 \le \beta \le \alpha$ und $u \in R^{\times}$, wobei u = 1 oBdA angenommen werden kann. Damit sind die Z_{β} die einzigen Teilmoduln von Z.

Lemma 3.25. Sei $x \in M$ mit $\operatorname{Ann}_R(x) = (\lambda)$. Für $r \in R$ gilt

$$Ann_R(rx) = (\delta)$$

 $mit \ \lambda = \delta t \ f\ddot{u}r \ t = ggT(r, \lambda).$

Beweis. Schreibe r = r't, so ist $\delta rx = \delta r'tx = r'\lambda x = 0$. Also $\delta \in \operatorname{Ann}_R(rx)$. Für die andere Inklusion sei $s \in \operatorname{Ann}_R(rx)$, also srx = 0. Damit ist aber $sr \in \operatorname{Ann}_R(x)$ und $\lambda \mid sr$. Mit $\lambda = \delta t$ und sr = sr't folgt für $t \neq 0$ (der Fall t = 0 ist ohnehin trivial) $\delta \mid sr'$. Nach Definition des ggT sind r' und δ teilerfremd, wodurch $\delta \mid s$. Also $s \in (\delta)$.

Lemma 3.26. Seien $x, y \in M$ mit $\operatorname{Ann}_R(x) = (a)$ und $\operatorname{Ann}_R(y) = (b)$. Sind a und b teilerfremd, so gilt $\operatorname{Ann}_R(x+y) = (ab)$.

Beweis. Zunächst ist klar, dass ab(x+y) = abx + aby = 0, also $(ab) \subseteq \operatorname{Ann}_R(x+y)$. Ist nun t(x+y) = 0 für ein $t \in R$, so ist $z := tx = -ty \in (x) \cap (y)$. Ferner ist $(x) \cap (y) \subseteq V_a \cap V_b$ nach Voraussetzung. Nach Satz 3.19 (1) ist aber $V_a \cap V_b = (0)$. also auch z = 0. Damit ist

$$t \in \operatorname{Ann}_{R}(x) \cap \operatorname{Ann}_{R}(y) = (a) \cap (b) = (\operatorname{kgV}(a,b)) = (ab),$$

da a und b nach Voraussetzung teilerfremd sind. Also ist $\operatorname{Ann}_R(x+y) \subseteq (ab)$.

3.2 Vektorräume als Moduln

Definition 3.27 $((V, \tau))$.

Sei \mathbb{K} ein Körper und V ein \mathbb{K} -Vektorraum und $\tau \in \operatorname{End}_{\mathbb{K}}(V)$, so können wir V als $\mathbb{K}[x]$ -Modul auffassen:

$$f(x) \cdot v := f(\tau)(v)$$

für alle $f(x) \in \mathbb{K}[x]$ und $v \in V$. Nenne das Paar (V, τ) $\mathbb{K}[x]$ -Modul bzgl. τ .

Notation 3.28. Sei $\tau \in \operatorname{End}_{\mathbb{K}}(V)$.

 \triangle

- Es bezeichne μ_{τ} das Minimalpolynom von τ , also das normierte Polynom kleinsten Grades $f(x) \in \mathbb{K}[x]$ mit $f(\tau) = 0$.
- Ferner schreibe χ_{τ} für das charakteristische Polynom von τ , also $\chi_{\tau}(x) := \det(x \operatorname{id}_{V} \tau) \in \mathbb{K}[x]$.

Bemerkung 3.29. Ist $\mathbb{K} = F := \mathbb{F}_q$ ein endlicher Körper, $V = E := \mathbb{F}_{q^n}$ eine Körpererweiterung von Grad n und

$$\tau = \sigma: E \rightarrow E$$

$$v \mapsto v^q$$

der Frobenius von E, so ist

$$\mu_{\tau}(x) = \chi_{\tau}(x) = x^n - 1,$$

denn: Es ist klar, dass $n = \deg \chi_{\tau}$ und da nach dem Satz von Cayley-Hamilton ist σ Nullstelle von χ_{τ} . Daher teilt μ_{τ} das charakteristische Polynom. Jedoch kennen wir das Minimalpolynom von τ : Nach dem Dedekindschen Lemma (Satz 1.12) ist $\mathrm{id}_E, \sigma, \ldots, \sigma^{n-1}$ linear unabhänig über E, also insbesondere über F, und $\sigma^n = \mathrm{id}_E$.

Definition 3.30 (τ -Ordnung, Teilmodul). ——

Sei (V,τ) ein $\mathbb{K}[x]$ -Modul. Zu jedem $v \in V$ betrachte den $\mathbb{K}[x]$ -Modulhomomorphismus

$$\psi_v: \mathbb{K}[x] \to V$$

$$f(x) \mapsto f(x) \cdot v$$

Sei ferner dim $V < \infty$.

- (1) Ist $\ker \psi_v = (g(x))$ für $g(x) \in \mathbb{K}[x]$ normiert, so heißt g(x) τ -Ordnung von v. Ferner ist g(x) eindeutig. Schreibe $\operatorname{Ord}_{\tau}(v) \coloneqq g(x)$.
- (2) $\mathbb{K}[\tau] \cdot v := \operatorname{im} \psi_v$ heißt der von v erzeugte $\mathbb{K}[x]$ -Teilmodul von V.

Bemerkung 3.31. Die Eindeutigkeit der τ -Ordnung wird sofort klar, wenn man sich überlegt, dass für einen Hauptidealbereich R mit $(a) = (b) \subseteq R$ gilt: Schreibe a = bb' und b = aa' so gilt a = aa'b', also a'b' = 1. Damit unterscheiden sich die Erzeuger zweier gleicher Hauptideale lediglich um eine Einheit. Wir haben jedoch $K[x]^{\times} = \mathbb{K}^{\times}$. Die Forderung nach Normiertheit klärt damit abschließend die Eindeutigkeit.

Bemerkung 3.32. In Notation von Abschnitt 3.1 gilt offensichtlich

$$\operatorname{Ann}_{\mathbb{K}[x]}(v) = \ker \psi_v.$$

Notation 3.33. Für $\mathbb{K} = \mathbb{F}_q$ einen endlichen Körper, $V = E \mid \mathbb{F}_q$ eine Körpererweiterung und $\tau = \sigma$ den Frobenius-Endomorphismus schreibe

$$\operatorname{Ord}_a := \operatorname{Ord}_{\tau}$$

und bezeichne Ord_q mit q-Ordnung.

Lemma 3.34. Sei (V, τ) ein $\mathbb{K}[x]$ -Modul. Ferner seien $u, v \in V$ mit $g(x) := \operatorname{Ord}_{\tau}(u)$, $h(x) := \operatorname{Ord}_{\tau}(v)$ und $f(x) \in \mathbb{K}[x]$. Dann gilt

- (1) $\operatorname{Ord}_{\tau}(f(x) \cdot u) = \frac{g(x)}{\operatorname{ggT}(f(x), g(x))}$.
- (2) $\operatorname{Ord}_{\tau}(u+v) = g(x)h(x)$, falls $\operatorname{ggT}(g,h) = 1$.

Beweis. (1) Dies ist lediglich eine Umformulierung von Lemma 3.25.

(2) In Lemma 3.26 haben wir gesehen, dass in diesem Fall $\operatorname{Ann}_{\mathbb{K}[x]}(u+v) = (g(x)h(x))$ gilt. \square

Lemma 3.35. Sei (V, τ) ein $\mathbb{K}[x]$ -Modul. Sei $v \in V$. Dann gilt:

$$\dim_{\mathbb{K}}(\mathbb{K}[x] \cdot v) = \deg(\operatorname{Ord}_{\tau}(v)).$$

Beweis. Nach dem Homomorphiesatz gilt: im $\psi_v \cong \mathbb{K}[x]/\ker \psi_v$ als $\mathbb{K}[x]$ -Moduln.

Definition 3.36 (zyklischer $\mathbb{K}[x]$ -Modul). -

 (V,τ) heißt zyklischer $\mathbb{K}[x]$ -Modul bzgl. w, falls es ein $w \in \mathbb{K}$ gibt, sodass $\mathbb{K}[\tau] \cdot w = V$.

Satz 3.37.

Es qilt:

$$(V,\tau)$$
 ist ein zyklischer Modul $\Leftrightarrow \mu_{\tau} = \chi_{\tau}$

Beweis. Fassen wir zunächst ein paar einfache Tatsachen zusammen: Ist $v \in V$, so haben wir

$$\dim(\mathbb{K}[x] \cdot v) = \deg(\mathrm{Ord}_{\tau}(v)) \leq \deg \mu_{\tau} \leq \deg \chi_{\tau}$$

und

$$\operatorname{Ord}_{\tau}(v) \mid \mu_{\tau} \mid \chi_{\tau},$$

wobei die erste Teilbarkeitsrelation per definitionem erfüllt ist und die zweite gerade der Satz von Cayley-Hamilton ist. Damit kommen wir zum direkten Beweis:

- " \Rightarrow " Sei V also zyklisch bzgl. w, so ist dies nach obigem äquivalent zu deg $(\operatorname{Ord}_{\tau}(w)) = n$. Daraus folgt aber sofort $\mu_t = \chi_{\tau}$, da beide normiert sind.
- " \Leftarrow " Zunächst sei behauptet, dass es stets ein $w \in V$ gibt mit $\operatorname{Ord}_{\tau}(w) = \mu_{\tau}$. Sei dazu $\mu_{\tau}(x) = \prod_{i=1}^{r} p_{i}(x)^{a_{i}}$ die Zerlegung in irreduzible Faktoren über $\mathbb{K}[x]$, so existieren $w_{i} \in V$ mit $\operatorname{Ord}_{\tau}(w_{i}) = p_{i}^{a_{i}}$. Andernfalls hätten wir einen Widerspruch zum Minimalpolynom von τ ! Nach Satz 3.34 ist dann aber $w \coloneqq \sum_{i=1}^{r} w_{i}$ ein Element in V mit τ -Ordnung μ_{τ} .

Ist dann also μ_{τ} = χ_{τ} , so hat obiges w genau τ -Ordnung χ_{τ} ; erzeugt also V als $\mathbb{K}[x]$ -Modul.

Satz 3.38.

Sei (V, τ) ein zyklischer Modul über einem endlich dimensionalem Vektorraum. Sei ferner $g(x) \in \mathbb{K}[x]$ normiert mit $g \mid \mu_{\tau}$. Dann gilt:

- (1) V_q (siehe Definition 3.17) ist ein $\mathbb{K}[x]$ -Teilmodul von V.
- (2) Alle $\mathbb{K}[x]$ -Teilmoduln von V sind von dieser Form.
- (3) Die Erzeuger von V_g sind genau die Elemente $v \in V$ mit $\operatorname{Ord}_{\tau}(v) = g$, d.h. für diese gilt $\mathbb{K}[x] \cdot v = V_g$. Insbesondere sind die Erzeuger von V gerade die Elemente $u \in V$ mit $\operatorname{Ord}_{\tau}(u) = \mu_{\tau}$.
- (4) V_g ist zyklisch bzgl. τ mit Minimalpolynom g(x). Ferner ist $\dim(V_g) = \deg(g)$.

Beweis. (1) Klar: $0 \in V_g$. Weiter seien $f(x) \in \mathbb{K}[x]$ und $v \in V_g$ mit $h(x) \coloneqq \operatorname{Ord}_{\tau}(v)$, so ist nach Lemma 3.34 $\operatorname{Ord}_{\tau}(f(x) \cdot v) = \frac{h(x)}{\operatorname{ggT}(f,h)} \mid g(x)$. Damit liegt auch $f(x) \cdot v$ in V_g .

- (2) Dies ist lediglich eine Umformulierung von Satz 3.16 und Lemma 3.24.
- (3) Sei $v \in V$ ein Erzeuger von V_g , so ist per definitionem von $g(x) \cdot v = 0$. Also $\operatorname{Ord}_{\tau}(v) \mid g(x)$. Schreibe $\operatorname{Ord}_{\tau}(v) =: h(x)$, so folgt

$$h(x) \cdot V_q = \mathbb{K}[x] \cdot (h(x) \cdot v) = 0 \iff g(x) \mid h(x)$$
.

Ist andererseits $w \in V$ mit $\operatorname{Ord}_{\tau}(w) = g(x)$, so können wir zunächst festhalten, dass $\mathbb{K}[x] \cdot w \subseteq V_g$. Sei ferne $x \in V$ ein Erzeuger von V_g . Dann ist $w = f(x) \cdot v$ für ein $f(x) \in \mathbb{K}[x]$ und ferner $\operatorname{ggT}(f(x), g(x)) = 1$ nach Lemma 3.34. Also existieren $f'(x), g'(x) \in \mathbb{K}[x]$ mit f'f + g'g = 1. Wir folgern:

$$v = (f'(x)f(x) + g'(x)g(x)) \cdot v = f'(x) \cdot w,$$

d.h. $v \in \mathbb{K}[x] \cdot w$; mithin $V_q \subseteq \mathbb{K}[x] \cdot w$.

(4) Klar nach (3) und Lemma 3.35.

Bemerkung 3.39. Die Punkte (1) und (2) hätten bereits in Abschnitt 3.1 aufgeführt werden können, da die Zyklizität des Moduls hier ausreichend war. In [5, Theorem 7.10] ist dies auch so vorzufinden.

Korollar 3.40. Sei $v \in V$ mit $Ord_{\tau}(v) = q(x)$. Für $w \in V$ gilt dann:

$$w \in V_q \iff w = f(x) \cdot v \text{ für ein } f(x) \in \mathbb{K}[x]_{\leq \deg q}$$

Beweis. Nach Satz 3.38 ist v Erzeuger von V_g , d.h. $V_g = \operatorname{im} \psi_v \cong \mathbb{K}[x]/(g(x))$, wobei letztere Isomorphie nach dem Homomorphiesatz gilt. Dies zeigt die Behauptung.

Wir schließen dieses Kapitel mit einer wesentlichen Beobachtung, über den Zusammenhang von Zerlegungen im Ring $\mathbb{K}[x]$ und im Vektorraum V. Für den Spezialfall von zyklischen Galoiserweiterung findet man den Satz auch in [5, Theorem 8.6] wieder.

Definition 3.41 (Zerlegung). -

Sei $f(x) \in \mathbb{K}[x]$ normiert mit deg $f \ge 1$, so heißt $\Delta \subseteq \mathbb{K}[x]$ Zerlegung von f(x), falls gilt: Alle $\delta \in \Delta$ sind normiert, vom Grad größer gleich 1, paarweise teilerfremd und es gilt: $f(x) = \prod_{\delta \in \Delta} \delta(x)$.

Satz 3.42.

Sei (V, τ) ein zyklischer Moduln von endlicher Dimension. Seien ferner $g(x) \in \mathbb{K}[x]$ normiert mit $g \mid \mu_{\tau}$ und Δ eine Zerlegung von g. Dann gilt:

- (1) $V_g = \bigoplus_{\delta \in \Delta} V_{\delta}$ ist eine direkte Summe von zyklischen Moduln bzgl. τ .
- (2) Jedes $w \in V_g$ lässt sich eindeutig schreiben als $w = \sum_{\delta \in \Delta} w_{\delta}$ mit $w_{\delta} \in V_{\delta}$. Ferner gilt

$$\operatorname{Ord}_{\tau}(w) = \prod_{\delta \in \Delta} \operatorname{Ord}_{\tau}(w_{\delta})$$

und $Ord_{\tau}(w)$ ist ein normierter Teiler von g(x).

- (3) w ist ein Erzeuger von V_q genau dann, wenn für alle $\delta \in \Delta$ auch w_δ Erzeuger von V_δ ist.
- (4) Ist $V_g = \bigoplus_{i \in I} V_i$ eine Zerlegung in Teilmoduln, so existieren eine Zerlgung Δ von g und eine Bijektion $\pi: I \to \Delta$, so dass $V_i = V_{\pi(i)}$.

Beweis. (1) Betrachten wir V_g selbst als $\mathbb{K}[x]$ -Modul, so ist diese Aussage lediglich eine Anwendung von Satz 3.16.

- (2) Dass die geforderte Zerlegung in w_{δ} existiert und eindeutig ist, ist eine direkte Konsequenz aus (1). Da w von g(x) annihiliert wird, ist klar, dass $\operatorname{Ord}_{\tau}(w) \mid g$. Analog gilt auch $\operatorname{Ord}_{\tau}(w_{\delta}) \mid \delta$ für alle $\delta \in \Delta$. Diese sind jedoch teilerfremd und wir erhalten die postulierte Gleichung aus Lemma 3.34 (2).
- (3) Dies ist mit (2) und Satz 3.38 (3) sofort klar.
- (4) Nach Satz 3.38 (2) sind alle $V_i = V_{\pi(i)}$ für einen normierterten Teiler $\pi(i) \mid g$. Da die Summe direkt ist, folgt die Behauptung mit Satz 3.19.

Kapitel 4

Explizite Konstruktion von Normalbasen

Wir haben nun kennengelernt, wie man einen Vektorraum V über \mathbb{K} zusammen mit einem Endomorphismus τ als $\mathbb{K}[x]$ -Modul lesen kann. Analog dazu wollen wir nun eine Erweiterung endlicher Körper E über F in diesem Kontext verstehen: E ist ein Vektorraum über F und wird mit Hilfe des Frobenius $\sigma: \bar{F} \to \bar{F}$ zu einem F[x]-Modul im Sinne von Definition 3.27. Dies wird uns helfen, normale (und später vollständig normale) Elemente zu konstruieren.

4.1 | Grundlegende Ideen

Seien im Folgenden stets $F := \mathbb{F}_q$ ein endlicher Körper von Charakteristik p und $E := \mathbb{F}_{q^n} \mid F$ eine Körpererweiterung. Wir wiederholen kurz die Definition einer *Normalbasis*.

Definition 4.1 (normales Element, normales Polynom, Normalbasis). –

Sei F ein Körper und $E \mid F$ eine endliche Galoiserweiterung von Grad n. Sei ferner $w \in E$ mit F(w) = E. w heißt normal "uber F", falls

$$\{\gamma(w) \mid \gamma \in \operatorname{Gal}(E \mid F)\}$$

eine F-Basis von E ist. $\{\gamma(w) \mid \gamma \in \text{Gal}(E \mid F)\}$ heißt entsprechend Normalbasis und $g(x) \in F[x]$ mit

$$g(x) = \prod_{\gamma \in \text{Gal}(E|F)} (x - \gamma(w))$$

heißt normales Polynom.

Wir wollen nun die Begriffe der normalen Elemente und der Erzeuger von zyklischen Moduln aus vorhergehendem Kapitel in Zusammenhang bringen. Dazu müssen wir uns Gedanken machen, wie sich Normalität im Kontext der Modulstruktur einer Körpererweiterung lesen lässt.

Satz 4.2. -

Ein Element $u \in E$ ist genau dann normal über F, wenn

$$\operatorname{Ord}_q(u) = x^n - 1 \in F[x].$$

Beweis. Nach Bemerkung 3.29 ist das Minimalpolynom des Frobenius von F gerade $x^n - 1$. Ferner wissen wir nach Satz 1.11, dass $Gal(E \mid F) = \langle \sigma \rangle$. Letztlich liefert Satz 3.38 (3), dass die Erzeuger von E als F[x]-Modul, also gerade die normalen Elemente, jene mit q-Ordnung $x^n - 1$ sind.

Korollar 4.3. Sei $x^n - 1 = \prod_{i=1}^s r_i(x)$ eine Zerlegung in paarweise teilerfremde Polynome. Seien ferner $u_i \in V_{r_i}$ Elemente mit $\operatorname{Ord}_q(u_i) = r_i(x) \ \forall i = 1, \dots, s.$ Dann ist

$$u = u_1 + u_2 + \ldots + u_s$$

normal in $E \mid F$.

Beweis. Satz 3.42.

4.2 | Stark reguläre Erweiterungen

Beispiel 4.4. Wählen wir einmal q = 7 und n = 9. Also $F = \mathbb{F}_7$. Ferner wissen wir aus Kapitel 2, dass

$$x^{n}-1 = x^{9}-1 = \Phi_{1}(x)\Phi_{3}(x)\Phi_{9}(x) = (x-1)((x+3)(x+5))((x^{3}+3)(x^{3}+5)) \in \mathbb{F}_{7}[x]$$

die vollständige Faktorisierung von x^n-1 über \mathbb{F}_7 ist. Da es sich hier bei den Faktoren lediglich um Binome handelt, können wir relativ einfach Elemente passender q-Ordnungen angeben: Beginnen wir mit $\Phi_9 = (x^3 + 3)(x^3 + 5)$. Gesucht ist nun ein Element u in einer passenden Erweiterung von F mit $\operatorname{Ord}_q(u) = \Phi_9$. Sei dazu $u \in \overline{F}$ eine primitive 27-te Einheitswurzel. Dann gilt:

$$\operatorname{ord}(u^{342}) = \operatorname{ord}(u^{18}) = \frac{27}{\operatorname{ggT}(27, 18)} = 3$$

Wenn man sich die Frage stellt, warum an diesem Punkt gerade 342 eine interessante Zahl ist, so wird man diese sofort wiederfinden, wenn man versucht ein Element $w \in \bar{F}^*$ mit q-Ordnung $x^3 + 3$ (bzw. $x^3 + 5$) wiederzufinden:

$$(x^3+3)\cdot w = w^{q^3}+3w = w(w^{7^3-1}+3) = w(w^{342}+3) \stackrel{!}{=} 0.$$

Da $w \neq 0$ und per definitionem der Kreisteilungspolynome $(-3), (-5) \in \mathbb{F}_7$ primitive 3-te Einheitswurzeln sind, brauchen wir ein w mit $\operatorname{ord}(w^{342}) = 3$; was obiges u gerade erfüllt! Damit ist also $u^{18} = u^{342}$ eine der beiden dritten Einheitswurzeln (-3) oder $(-5) \in \mathbb{F}_7$ und wir können mit Lemma 3.34 folgern:

$$\operatorname{Ord}_q(u+u^2) \ = \ \Phi_9$$

Auch die Suche nach einem Element mit q-Ordnung Φ_3 ist damit erledigt: Mit analoger Argumentation wie oben erhalten wir, dass

$$\operatorname{Ord}_q(u^3 + u^6) = \Phi_3.$$

Zusammengefasst ist also u ein normales Element von $\mathbb{F}_{79} \mid \mathbb{F}_{7}$.

Ein entscheidender Vorteil in der Konstruktion eines normalen Elements in obigem Beispiel war der Zerfall der Kreisteilungspolynome in Binome. Aus Satz 2.18 wissen wir bereits, wann die Kreisteilungspolynome in Binome zerfallen. Damit können wir diese sehr einfache Möglichkeit Normalbasen explizit anzugeben, als Reihe von Aussagen formulieren:

Definition 4.5 (stark regulär). -

Das Paar $(q, n) \in \mathbb{N}^2$ heißt $stark \ regul\"{a}r$, falls

- $q = p^r$ mit p einer Primzahl und r > 0,
- p + n,
- $\nu(n) | q 1$,
- $4 \mid q-1$, falls n gerade.

Schreibe $n \in \mathcal{S}_q$, falls (q, n) stark regulär. Eine Körpererweiterung $\mathbb{F}_{q^n} \mid \mathbb{F}_q$ heißt stark regulär, falls $n \in \mathcal{S}_q$.

Satz 4.6. -

Sei $F = \mathbb{F}_q$ ein endlicher Körper und $m \in \mathcal{S}_q$. Seien $l := \pi_m(q-1)$, a := ggT(l,m) und $u \in \overline{\mathbb{F}}_q$ eine primitive (ml)-te Einheitswurzel. Dann gilt:

- (1) $\mathbb{F}_q(u) = \mathbb{F}_{q^m} =: E.$
- (2) $\operatorname{Ord}_q(u)$ ist ein irreduzibler Teiler von Φ_m in $\mathbb{F}_q[x]$.
- (3) $v := \sum_{i \in I_n} u^i$ hat q-Ordnung Φ_m .

Beweis. (1) Aus Lemma 2.14 haben wir $\pi_m(q^m-1) = m\pi_m(q-1) = ml$ und damit $[F(u):F] = \operatorname{ord}_{ml}(q) = m$.

(2) Sei nun $\zeta \in F^*$ eine primitive a-te Einheitswurzel. Dann ist nach Satz 2.18

$$\Phi_m(x) = \prod_{i \in I_a} (x^{\frac{m}{a}} - \zeta^i).$$

Wie in Beispiel 4.4 betrachten wir für $i \in I_a$:

$$(x^{\frac{m}{a}} - \zeta^{i}) \cdot u = (\sigma^{\frac{m}{a}} - \zeta^{i} \operatorname{id}_{E})$$

$$= u^{q^{\frac{m}{a}}} - \zeta^{i} u$$

$$= u(u^{q^{\frac{m}{a}-1}} - \zeta^{i}), \qquad (*)$$

wobei wie üblich $\sigma: E \to E, x \mapsto x^q$ den Frobenius von $E \mid F$ meint. Wir wollen nun zeigen, dass $\operatorname{Ord}_q(u) = (x^{\frac{m}{a}} - \zeta^i)$ für ein $i \in I_a$, explizit also, dass (*) = 0 für ein $i \in I_a$ gilt. Dazu müssen wir $q^{\frac{m}{a}} - 1$ genauer untersuchen: Wiederum nach Lemma 2.14 haben wir:

$$\pi_m(q^{\frac{m}{a}}-1) = \frac{m}{a}\pi_m(q-1) = \frac{ml}{a} = \text{kgV}(m,l) =: c.$$

Nun ist $q^{\frac{m}{a}} - 1 = ck$ für ein $k \in \mathbb{N}$ mit ggT(k, ml) = 1, wie man sich anhand der Primfaktorzerlegungen leicht klar machen kann. Erinnern wir uns kurz, dass u eine primitive (ml)-te Einheitswurzel war, so folgern wir:

$$\operatorname{ord}(u^{ck}) = \operatorname{ord}(u^{c}) = \frac{ml}{\operatorname{ggT}(ml, c)} = \frac{ml}{c} = a.$$

Ergo gibt es $j \in I_a$ mit $u^{ck} = \zeta^j$ und für dieses j ist (*) gerade 0, was zu zeigen war.

(3) Seien $j \in I_a$ mit $\operatorname{Ord}_q(u) = x^{\frac{m}{a}} - \zeta^j$ und $i \in I_a$ beliebig, so gilt

$$(x^{\frac{m}{a}} - \zeta^{ji})u^{i} = (u^{q^{\frac{m}{a}}})^{i} - (\zeta^{j}u)^{i}$$

$$= (u^{q^{\frac{m}{a}}} - \zeta^{j}u) \sum_{k=0}^{i-1} u^{kq^{\frac{m}{a}}} \zeta^{(i-1-k)j}u^{i-1-k}$$

$$= 0$$

Da i teilerfremd zu ml ist, haben wir ferner $\operatorname{ord}(u) = \operatorname{ord}(u^i)$ und können folgern, dass $\operatorname{Ord}_q(u^i) = x^{\frac{m}{a}} - \zeta^{ji}$. Packen wir nun alles zusammen und bedenken, dass $I_a \to I_a, i \mapsto ij$ eine Bijektion ist, können wir den letzten Schritt im Beweis führen:

$$\operatorname{Ord}_q\left(\sum_{i\in I_a}u^i\right) = \prod_{i\in I_a}\operatorname{Ord}_q(u^i) = \prod_{i\in I_a}\left(x^{\frac{m}{a}}-\zeta^{ji}\right) = \prod_{k\in K_a}\left(x^{\frac{m}{a}}-\zeta^k\right) = \Phi_m(x).$$

Da wir nun die einzelnen Bausteine kennen, können wir auf die Faktorisierung und damit auf eine explizite Angabe eines normalen Elements zu schließen:

Korollar 4.7. Für $F = \mathbb{F}_q$, $n \in \mathcal{S}_q$ sei $\lambda \in F^*$ eine primitive $\pi_n(q-1)$ -te Einheitswurzel. Zu jedem $m \mid n$ seien

- $a(q,m) := ggT(m, \pi_m(q-1)) \ und$
- $I_a := \{i \le a : ggT(i, a) = 1\}.$

Dann ist

$$x^{n} - 1 = \prod_{m|n} \prod_{i \in I_{a(q,m)}} \left(x^{\frac{m}{a(q,m)}} - \lambda^{\frac{\pi_{n}(q-1)}{a(q,m)}i} \right)$$

die vollständige Faktorisierung von $x^n - 1$ über \mathbb{F}_q .

Beweis. Da ord $\left(\lambda^{\frac{\pi_n(q-1)}{a(q,m)}}\right) = a(q,m)$ und für $m \mid n$ offensichtlich auch $m \in \mathcal{S}_q$, ist obige Aussage lediglich eine Anwendung von Satz 4.6.

Satz 4.8. -

Seien $F = \mathbb{F}_q$ ein endlicher Körper, $n \in \mathcal{S}_q$ und $L := \pi_n(q-1)$. Ferner sei $u \in \overline{F}$ eine primitive (nL)-te Einheitswurzel. Dann ist mit Notation aus Korollar 4.7

$$w := \sum_{m|n} \sum_{i \in I_a} u^{\frac{nL}{m \pi_m(q-1)}i}$$

normal in $E := \mathbb{F}_{q^n}$ über F.

Beweis. Im Grunde haben wir bereits alles gezeigt. Daher reicht ein kurzer Kommentar, warum wir Satz 4.6 anwenden können aus. Es ist trivialerweise

$$\operatorname{ord}\left(u^{\frac{nL}{m\pi_m(q-1)}}\right) = m\pi_m(q-1)$$

und damit sind alle Voraussetzungen erfüllt.

Bemerkung 4.9. Wie wir in Beispiel 4.4 und Satz 4.6 gesehen haben, sind die (ml)-ten Einheitswurzeln die Elemente von kleinster multiplikativer Ordnung, deren q-Ordnung ein irreduzibler Teiler von $\Phi_m(x)$ wird. Natürlich können wir dieses Konzept auch erweitern und uns überlegen, welche primitiven Einheitswurzeln die selbe Eigenschaft erfüllen. Darüber hinaus können wir die Elemente deren q-Ordnung ein irreduzibler Teiler von $\Phi_m(x)$ über F[x] ist, auch durch die Modulstruktur selbst beschreiben. Diese beiden Überlegungen wollen wir in den nächsten beiden Lemmas beweisen.

Lemma 4.10. Seien die Voraussetzungen wie in Satz 4.6, also $F = \mathbb{F}_q$ ein endlicher Körper und $m \in \mathcal{S}_q$. Setze ferner $l := \pi_m(q-1)$, $a := \operatorname{ggT}(l,m)$. Ist nun θ eine primitive (nf)-te Einheitswurzel für $l \mid f \mid q-1$, so ist $\operatorname{Ord}_q(\theta)$ ein irreduzibler Teiler von $\Phi_m(x)$ über F[x].

Beweis. Sei f = le mit ggT(e, l) = 1. Diese Zerlegung ist möglich, da l per definitionem der größte Teiler von q-1 ist, dessen Primfaktoren allesamt in m vorkommen, d.h. jeder Primfaktor von q-1 der l teilt, kommt dort bereits in maximaler Potenz vor. Damit reicht es – wenn wir wir den Beweis von Satz 4.6 noch einmal nachvollziehen – zu zeigen, dass ggT(mle,ck) = ce für c := kgV(m,l) und $q^{\frac{m}{a}} - 1 = ck$ für ein k mit ggT(k,ml) = 1. Da ggT(e,l) = 1, ist per definitionem von l auch ggT(e,m) = 1 und damit auch ggT(e,c) = 1. Da $e \mid q-1 \mid q^{\frac{m}{a}-1}$ zerfällt k in $k = \bar{k}k_e$ mit $e \mid k_e$ und $ggT(\bar{k},e) = 1$. Damit folgt ggT(mle,ck) = ce und wir haben $ord(\theta^{ck}) = \frac{mle}{ggT(mle,ck)} = \frac{mle}{ce} = a$.

Als Korollar dieses Lemmas können wir einen Satz von Semaev 1989 in [17] beweisen, welcher erneut von Blake, Gao und Mullin 1997 in [1] bewiesen wurde:

Satz 4.11 ([1, Theorem 2.7], [17]). —

Sei $q = p^r$ eine Primzahlpotenz. Sei $n \in \mathbb{N}$ mit ggT(n,q) = 1. Ist $x^n - a \in \mathbb{F}_q[x]$ irreduzibel mit Wurzel $\theta \in \mathbb{F}_{q^n}$, so gilt

$$\mathbb{F}_{q^n} = \bigoplus_{l \in R_q(n)} \langle \theta^l \rangle_q,$$

 $wobei \langle \theta^l \rangle_q := \operatorname{span}_{\mathbb{F}_q} \{ \theta^i \mid i \in M_q(l \bmod n) \}.$

Beweis. Aus Satz 2.16 und Satz 2.17 wissen wir, dass für $a \in \mathbb{F}_q^*$ das Polynom $x^n - a \in \mathbb{F}_q[x]$ genau dann irreduzibel ist, wenn p + n, $\nu(n) \mid f := \operatorname{ord}(a)$, $l := \pi_n(q-1) \mid f$ und $q \equiv 1 \mod 4$, falls $4 \mid n$. Ist bereits $q \equiv 1 \mod 4$, falls n gerade, so sind wir genau in der Situation, dass n stark regulär ist. Damit ist θ eine primitive (nf)-te Einheitswurzel und wir wissen nach Lemma 4.10, dass $\operatorname{Ord}_q(\theta)$ ein irreduzibler Teiler von $\Phi_n(x)$ über $\mathbb{F}_q[x]$ ist, womit alles gezeigt wäre.

Es bleibt ein Wort zur Situation $q \equiv 3 \mod 4$, falls n gerade, zu verlieren. Dieser Fall wird von den bisherigen Resultaten nicht erfasst. Mit etwas mehr Aufwand ist es jedoch möglich, die explizite Konstruktion von Normalbasen mit primitiven Einheitswurzeln zu erweitern, wie Hachenberger in [5, Section 22] zeigt.

Bevor wir die Ideen der stark regulären Körpererweiterungen verallgemeinern wollen, betrachten wir noch ein Lemma, das die irreduziblen Teilmodule genauer beschreibt und in ganz ähnlicher Form in [5, Theorem 22.5] wiederzufinden ist.

Lemma 4.12. Seien die Voraussetzungen wie in Satz 4.6, also $F = \mathbb{F}_q$ ein endlicher Körper und $m \in \mathcal{S}_q$. Setze ferner $l \coloneqq \pi_m(q-1)$, $a \coloneqq \operatorname{ggT}(l,m)$. Ist dann u eine primitive (ml)-te Einheitswurzel mit $\operatorname{Ord}_q(u) = f(x)$ für f(x) einen irreduziblen monischen Teiler von $\Phi_m(x)$, so gilt für $v \in E \coloneqq \mathbb{F}_{q^m}$:

$$\operatorname{Ord}_q(v) = f(x) \iff v = g(x) \cdot u \quad \text{für ein } 0 \neq g \in F[x]_{\leq \underline{m}}$$

Beweis. In Korollar 3.40 haben wir gezeigt, dass für $v \in E$ gilt

$$v \in E_f \iff v = g(x) \cdot u \text{ für ein } g(x) \in F[x]_{\leq \deg f}, \text{ ggT}(f,g) = 1$$

Da f irreduzibel von Grad $\frac{m}{a}$ ist, sind alle $v \in E_f \setminus \{0\}$ von q-Ordnung f und es folgt die Behauptung.

Bemerkung 4.13. Obiges Lemma gilt nicht nur für primitive (ml)-te Einheitswurzeln, sondern – wie man offensichtlich erkennen kann – für jedes Element mit gleicher q-Ordnung!

4.3 Reguläre Erweiterungen

Die Erkenntnisse über stark reguläre Erweiterungen wollen wir nutzen, um Normalbasen auch in einem allgemeineren Kontext angeben zu können. Ist nämlich $m \in \mathbb{N}$ ungerade mit p + m und setzen wir $s = \operatorname{ord}_{\nu(m)}(q)$, so erkennen wir, dass $\nu(m) \mid q^s - 1$ per definitionem von $\operatorname{ord}_{\nu(m)}(q)$. Mit anderen Worten: $m \in \mathcal{S}_{q^s}$!

Definition 4.14 (regulär). -

Sei $q = p^r$ eine Primzahlpotenz und $n \in \mathbb{N}_{>0}$. Setze $n = n'p^c$ mit p + n'. Das Paar (q, n) heißt $regul\ddot{a}r$, falls $ggT(n, \operatorname{ord}_{\nu(n')}(q)) = 1$. Ist $F = \mathbb{F}_q$ und $E = \mathbb{F}_{q^n}$, so nenne die Erweiterung $E \mid F$ regul $\ddot{a}r$.

Satz 4.15. -

Seien $F := \mathbb{F}_q$ ein endlicher Körper für eine Primzahlpotenz $q = p^r$ und $m \in \mathbb{N}$ ungerade mit p + m. Setze $s := \operatorname{ord}_{\nu(m)}(q)$, $l := \pi_m(q^s - 1)$, $b := b(q, m) = \operatorname{ggT}(l, m)$, $E := \mathbb{F}_{q^m}$ und $E' = \mathbb{F}_{q^{sm}}$. Ist dann u eine primitive (ml)-te Einheitswurzel, so gilt

- (1) F(u) = E',
- (2) $\operatorname{Ord}_q(u) = f(x^s)$ für einen monischen irreduziblen Teiler $f(x) \in F[x]$ von $\Phi_m(x)$ und
- (3) $v := \sum_{\substack{j \in R_q(m) \\ \text{ggT}(j,m)=1}} u^j \text{ hat } q\text{-}Ordnung \ \Phi_m(x^s).$

Beweis. (1) Zunächst stellen wir fest, dass

Nun haben wir also Elemente mit q-Ordnung $\Phi_m(x^s)$ gefunden. Es stellt sich jedoch die Frage, wir wir daraus Elemente mit q-Ordnung $\Phi_m(x)$ "basteln" können. Dies zeigt uns der folgende Satz:

Satz 4.16. -

Seien alle Voraussetzungen und Notationen wie in Satz 4.15. Sei jedoch zusätzlich ggT(m,s) = 1. Bezeichne ferner $\sigma_E : E' \to E'$, $x \mapsto x^{q^m}$ den Frobenius von E' auf E. Ist dann u eine primitive (ml)-te Einheitswurzel und $v = \sum_{j \in R_q(m)} u^j$, so gilt:

- (1) $H(\sigma_E)(v)$ hat q-Ordnung $\Phi_m(x)$ für $H(x) := \frac{\Phi_m(x^s)}{\Phi_m(x)}$.
- (2) $\operatorname{Tr}_{E'|E}(v)$ hat q-Ordnung $\Phi_m(x)$.
- (3) $\operatorname{Ord}_q\left(\operatorname{Tr}_{E'\mid E}(u)\right)$ ist ein irreduzibler monischer Teiler von $\Phi_m(x)$.

Beweis. Zerlegen wir $s = \bar{s}p^{\beta}$ mit $p + \bar{s}$, so ist nach Voraussetzungen ggT $(\bar{s}, m) = 1$ und wir sind in der Situation von Satz 2.15. Damit gilt

$$\Phi_m(x^s) = \Phi_m(x^{\bar{s}})^{p^{\beta}} = \prod_{d|\bar{s}} \Phi_{md}(x)^{p^{\beta}}.$$

Mit konsequenter Anwendung von Lemma 3.34 folgern wir die Behauptungen:

$$\operatorname{Ord}_q(H(\sigma_E)v) = \frac{\Phi_m(x^s)}{\operatorname{ggT}(\Phi_m(x^s), H(x))} = \Phi_m(x).$$

Für (2) und (3) überlegen wir uns, dass für $a \in E'$

$$\operatorname{Tr}_{E'|E}(a) = \sum_{i=0}^{s-1} a^{q^{im}} = \left[\frac{x^{sm}-1}{x^m-1}\right] (\sigma_E)(a)$$

und

$$\frac{x^{sm}-1}{x^{m}-1} = \frac{\prod_{d|\bar{s}m} \Phi_d(x)^{p^{\beta}}}{\prod_{d|m} \Phi_d(x)} = \Phi_m(x)^{p^{\beta}-1} \prod_{\substack{l|m\\l\neq m}} \Phi_l(x)^{p^{\beta}-1} \prod_{\substack{d|\bar{s}\\d\neq 1}} \Phi_{md}(x)^{p^{\beta}}.$$

Ergo ist

$$\operatorname{Ord}_q(\operatorname{Tr}_{E'|E}(v)) = \frac{\Phi_m(x^s)}{\operatorname{ggT}(\Phi_m(x^s), \frac{x^{sm}-1}{x^m-1})} = \Phi_m(x)$$

und

$$\operatorname{Ord}_q(\operatorname{Tr}_{E'|E}(u)) = \frac{f(x^s)}{\operatorname{ggT}(f(x^s), \frac{x^{sm}-1}{x^m-1})} = f_{1,1}(x),$$

wobei wir uns hierfür noch einmal an Satz 2.20 erinnern müssen, wo wir gezeigt haben, dass in genau dieser Situation

$$f(x^{\bar{s}}) = \prod_{d|m} \prod_{i=1}^{\Delta_q(m,d)} f_{d,i}(x)$$

für monische, irreduzible Teiler $f_{d,i}$ von $\Phi_{md}(x)$ für alle $i=1,\ldots,\Delta_q(m,d)$ und wir damit

$$\operatorname{ggT}\left(f(x^{\bar{s}})^{p^{\beta}}, \frac{x^{sm}-1}{x^{m}-1}\right) = \prod_{\substack{d \mid m \ d \neq 1}} \prod_{i=1}^{\Delta_q(m,d)} f_{d,i}(x)$$

folgern können. Abschließend sehen wir dass

$$\Delta_q(m,1) = \frac{\varphi(1)\operatorname{ord}_m(q)}{\operatorname{ord}_{1\cdot m}(q)} = 1.$$

Wir können in gewisser Weise sogar eine Verschärfung obiges Satzes angeben und die Verwendung der Spurfunktion etwas erweitern. Wir müssen lediglich dafür sorgen, dass wir ein Element des Körpers erhalten, für den wir Erzeuger (und letztendlich normale Elemente) konstruieren wollen.

Satz 4.17. -

Seien die Voraussetzungen wie in Satz 4.16 und sei wiederum u eine primitive (ml)-te Einheitswurzel. Für $g(x) \in F[x]$ gilt: Ist $[F(g(x) \cdot u) : F] = m$, so gilt

 $\operatorname{Ord}_q(g(x) \cdot u)$ ist ein monischer irreduzibler Teiler von $\Phi_m(x)$.

Beweis. Auf der einen Seite haben wir

$$\operatorname{Ord}_q(g(x) \cdot u) \mid x^m - 1 = \prod_{d \mid m} \Phi_m(x),$$

da $g(x) \cdot u$ nach Voraussetzung Grad m über F hat und auf der anderen Seite gilt nach Lemma 3.34

$$\operatorname{Ord}_q(g(x) \cdot u) = \frac{f(x^s)}{\operatorname{ggT}(f(x^s), g(x))} \mid f(x^s).$$

Wir wissen jedoch aus Satz 2.20 (vgl. auch den Beweis von Satz 4.16), dass

$$f(x^s) = \prod_{d \mid \overline{s}} \prod_{i=1}^{\Delta_q(m,d)} f_{d,i}(x)^{p^{\beta}}$$

für $s = \bar{s}p^{\beta}$ mit $p + \bar{s}$ und $f_{d,i}(x)$ monische, irreduzible Teiler von $\Phi_{md}(x)$. Da p + m nach Voraussetzung, kommt $\Phi_m(x)$ in $x^m - 1$ lediglich in einfacher Vielfachheit vor und damit folgt

$$\operatorname{Ord}_q(q(x) \cdot u) = f_{1,1}(x)$$

für den einzigen monischen irreduziblen Teiler in $f(x^s)$ von $\Phi_m(x)$.

Auch für reguläre Erweiterungen wollen wir ein Analogon von Lemma 4.10 beweisen:

Lemma 4.18. Seien die Voraussetzungen wie in Satz 4.15, also also $F := \mathbb{F}_q$ ein endlicher Körper für eine Primzahlpotenz $q = p^r$ und $m \in \mathbb{N}$ ungerade mit p + m. Setze $s := \operatorname{ord}_{\nu(m)}(q)$, $l := \pi_m(q^s - 1)$, $b := b(q, m) := \operatorname{ggT}(l, m)$, $E := \mathbb{F}_{q^m}$ und $E' = \mathbb{F}_{q^{sm}}$. Ist nun θ eine primitive (nf)-te Einheitswurzel für $l \mid f \mid q^s - 1$, so ist $\operatorname{Ord}_q(\theta) = f(x^s)$ für f einen irreduzibler Teiler von $\Phi_m(x)$ über F[x].

Beweis. Lemma 4.10 mit dem Beweis von Satz 4.15.

4.4 Normalbasen mit Dickson-Polynomen

Definition 4.19 (Dickson-Polynom). -

Sei $n \in \mathbb{N}^*$. Für $a \in \mathbb{F}_q$ definieren wir das n-te Dickson-Polynom erster Art "uber \mathbb{F}_q (hier auch nur n-tes Dickson-Polynom) als

$$D_n(x,a) := \sum_{i=0}^{\lfloor \frac{n}{2} \rfloor} \frac{n}{n-i} {n-i \choose i} (-a)^i x^{n-2i}.$$

Das n-te Dickson-Polynom zweiter Art $\ddot{u}ber$ \mathbb{F}_q ist gegeben durch

$$E_n(x,a) := \sum_{i=0}^{\lfloor \frac{n}{2} \rfloor} {n-i \choose i} (-a)^i x^{n-2i}.$$

Bemerkung 4.20. Über den komplexen Zahlen sind die Dickson-Polynome nahe verwandt mit den Chebyshev-Polynomen, wie man z.B. in [12, Absatz nach Corollary 7.15] nachlesen kann. Über endlichen Körpern liefern sie eine spezielle Klasse von Permutations-Polynomen (vgl. [12, Theorem 7.16], [13, Section 9.6]).

Die Dickson-Polynome erfüllen einige interessante Eigenschaften, welche wir im Folgenden zitieren wollen.

Satz 4.21. -

Seien $n \in \mathbb{N}^*$ und $a, y \in \mathbb{F}_q$ beliebig, so gilt

$$D_n(y + ay^{-1}, a) = y^n + a^n y^{-n}$$
.

Beweis. [12, Gleichung (7.8)].

Satz 4.22. -

Sei $a \in F_q$. Die Dickson-Polynome erster und zweiter Art erfüllen für alle $n \ge 2$ folgende Rekursionsgleichungen:

$$D_n(x,a) = xD_{n-1}(x,a) - aD_{n-2}(x,a),$$

$$E_n(x,a) = xE_{n-1}(x,a) - aE_{n-2}(x,a)$$

mit den Startwerten $D_0(x, a) = 2$ und $D_1(x, a) = x$ bzw. $E_0(x, a) = 1$ und $E_1(x, a) = x$. Ferner gilt

$$D_m n(x,a) = D_m(D_n(x,a),a^n)$$

Beweis. [??]

Ferner können wir eine relativ einfache Charakterisierung angeben, wann ein Polynom der Form $D_n(x,a) - b$ irreduzibel ist.

Satz 4.23. —

Seien $n \ge 2$ eine ganze Zahl und $a, b \in \mathbb{F}_q$ mit $a \ne 0$. Seien

$$x^{2} + bx + a^{n} = (x - \beta_{1})(x - \beta_{2}), \qquad \beta_{1}, \beta_{2} \in \mathbb{F}_{a^{2}}$$

und $e_i = \operatorname{ord}(\beta_i)$ für i = 1, 2. Es ist

$$D_n(x,a) + b$$

 $irreduzibel\ genau\ dann,\ wenn\ f\"ur\ sowohl\ (1),\ als\ auch\ (2)\ f\"ur\ i=1,2\ erf\"ullt\ sind:$

- (1) Jeder ungerade Primteiler von n teilt e_i , jedoch nicht $\frac{q^2-1}{e_i}$.
- (2) Ist n gerade, so ist $\operatorname{char} \mathbb{F}_q$ ungerade und eine der beiden folgenden Aussagen gilt:
 - (1') $b^2 4a^n \neq 0$ ist ein quadratischer Rest in \mathbb{F}_q , $2 \mid e_i \text{ und falls } 4 \mid n$, so $4 \mid (q-1)$.
 - (2') $b^2 4a^n$ ist ein quadratischer Nichtrest in \mathbb{F}_q , $-b 2a^{\frac{n}{2}}$ ist ein quadratischer Rest in \mathbb{F}_q , $2 \mid \frac{q^2 1}{e_i}$ und falls $4 \mid n$, so $2 \mid e_i$, aber nicht $\frac{q^2 1}{2e_i}$.

Beweis. [4, Theorem 4]

Da die weiteren Aussagen lediglich für ungerade Erweiterungen bewiesen werden, wollen wir obigen Satz in einer handlicheren Form für unsere Zwecke noch einmal verfassen.

Korollar 4.24. Seien $n \geq 3$ eine ungerade ganze Zahl und $a, b \in \mathbb{F}_q^*$. Seien

$$x^{2} - bx + a^{n} = (x - \beta_{1})(x - \beta_{2}), \qquad \beta_{1}, \beta_{2} \in \mathbb{F}_{a^{2}}$$

und $e_i = \operatorname{ord}(\beta_i)$ für i = 1, 2. Es ist

$$D_n(x,a) - b$$

irreduzibel genau dann, wenn $\nu(n) \mid e_i$, aber $\nu(n) + \frac{q^2-1}{e_i}$ für i = 1, 2.

Scheerhorn zeigt in [15, 16], dass sich Dickson-Polynome eignen, um Normalbasen zu beschreiben. Im weiteren Verlauf werden wir sogar sehen, dass man daraus vollständig normale Polynome, also Polynome, deren Nullstellen vollständig normale Elemente (??) sind, konstruieren lassen. Alle Folgerungen über (vollständig) normale Polynome basieren jedoch auf zwei zentralen Resultaten über die Modulstruktur der betrachteten Erweiterungskörper, wie die beiden nachstehenden Sätze

angeben.

Satz 4.25 ([16, Theorem 2]). -

Seien $n \ge 3$ ein Produkt ungerader Primzahlen von (q+1) und $a, b \in \mathbb{F}_q =: F$, so dass $D_n(x, a) - b \in F[x]$ irreduzibel ist. Sei $\gamma \in E := \mathbb{F}_{q^n}$ eine Wurzel von $D_n(x, a)$. Dann ist

$$E = \langle 1 \rangle_q \oplus \bigoplus_{l \in R_q(n) \setminus \{0\}} \langle D_l(\gamma, a) \rangle_q,$$

eine Zerlegung von E in irreduzible F[x]-Teilmoduln, wobei

$$\langle D_l(\gamma, a) \rangle_q := \operatorname{span}_F \{ D_i(\gamma, a) \mid i \in M_q(l \bmod n) \},$$

so dass $\{D_i(\gamma, a) \mid i \in M_q(l \bmod n)\}\ eine\ F$ -Basis von $\{D_l(\gamma, a)\}_q$ ist.

Satz 4.26 ([16, Theorem 3]). —

Seien $n \ge 3$ ein Produkt ungerader Primzahlen von (q-1) und $a, b \in \mathbb{F}_q =: F$, so dass $D_n(x, a) - b \in F[x]$ irreduzibel ist. Seien ferner $x^2 + bx + a^n = (x - \beta)(x - a^n\beta^{-1}) \in \mathbb{F}_q$ und $\theta \in \mathbb{F}_{q^n}$ eine Wurzel von $x^n - \beta$. Setze $\gamma := \theta + a\theta^{-1}$, so gilt für $l \in R_q(n) \setminus \{0\}$

$$\langle \theta^l \rangle_q \oplus \langle \theta^{n-l} \rangle_q = \langle D_l(\gamma, a) \rangle_q$$

In [15]scheerhorn:1997 werden die Beweise dieser Resultate ohne Zuhilfenahme der allgemeinen Theorie über (stark) reguläre Erweiterungen geführt, wie wir sie im letzten Abschnitt kennengelernt haben. Wir wollen uns nun im Folgenden überlegen, dass die Theorie der vorherigen Abschnitte an diesem Punk ein besseres Verständnis der Struktur der Zerlegung des Erweiterungskörpers in Teilmoduln liefert. Ferner sind wir in der Lage das vielleicht überraschende Auftauchen von Dickson-Polynomen im Kontext (vollständig) normaler Elemente zu rechtfertigen und die benötigten Eigenschaften herzuleiten, welche an diesem Punkt eine zentrale Rolle spielen und die Verwendung der Dickson-Polynome motivieren.

Beweis (von Satz 4.25). Betrachten wir die vorliegende Situation, so sehen wir, dass $s := \operatorname{ord}_{\nu(n)}(q) = 2$ und damit $n \in \mathcal{S}_{q^2}$. Sei nun $x^2 - bx + a^n = (x - \beta)(x - a^n\beta^{-1})$ über $K := \mathbb{F}_{q^2}$. Dann ist nach Satz 2.16 und Satz 2.17 $x^n - \beta \in \mathbb{F}_{q^2}[x]$ irreduzibel. Ist dann $\theta \in \mathbb{F}_{q^{2n}} =: E'$ eine Wurzel, so wissen wir nach Satz 4.11 und Lemma 4.18 (θ ist eine ($n \operatorname{ord}(\beta)$)-te primitive Einheitswurzel), dass $\operatorname{Ord}_q(\theta) = f(x^s)$ für einen irreduziblen Teiler f(x) von $\Phi_n(x)$ über F.

Es ist nun $\theta^{q^n} = \theta^{-1}$: Da $\theta \in E'$, gilt $\theta^{q^{2n}} = \theta$, also

$$\theta^{q^{2n}-1} = 1 = \theta^{(q^n+1)(q^n-1)}.$$

wäre $\theta^{q^n-1} = 1$, so läge θ bereits in \mathbb{F}_{q^n} , im Widerspruch zur Definition von θ . Also haben wir nach Satz 4.17 gerade

$$\operatorname{Ord}_q(\theta + a\theta^{-1}) = \operatorname{Ord}_q((1 + ax^n) \cdot \theta) = f_{1,1}(x)$$

Genauere Betrachtung, warum $x^2 + bx + a^n$ hier nicht irreduzibel ist!?

für einen monischen, irreduziblen Teiler $f_{1,1}(x)$ von $\Phi_n(x)$ (wieder in Notation von Satz 2.20), denn mit Satz 4.21 sehen wir, dass

$$D_n(\theta + a\theta^{-1}, a) - b = \theta^n + a^n\theta^{-n} - b = \beta + a^n\beta^{-1} - b = b - b = 0$$

und da $D_n(x,a)-b \in F[x]$ irreduzibel nach Voraussetzung, hat $\theta+a\theta^{-1}$ Grad n über F. Wählen wir $1 \neq l \in R_q(n)$, so entspricht $\operatorname{Ord}_q(\theta^l) = g(x^s)$ für einen monischen irreduziblen Teiler $g(x) \mid \Phi_m(x)$ mit $m \mid n$ und $\operatorname{ggT}(f,g) = 1$. Wegen $\theta^l + a^l\theta^{-l} = D_l(\theta + a\theta^{-1}, a)$ hat $\theta^l + a^l\theta^{-l}$ Grad kleiner oder gleich n über F (vgl. Bemerkung 4.27) und damit sind auch $\operatorname{Ord}_q(\theta + a\theta^{-1})$ und $\operatorname{Ord}_q(\theta^l + a^l\theta^{-l})$ nach Satz 2.20 (2) teilerfremd.

Bemerkung 4.27. In der Tag können wir sogar genau angeben, welchen Grad $\theta^l + a^l \theta^{-l}$ über F hat: Ist $l \mid n$, so hat $\theta^l + a^l \theta^{-l}$ Grad $\frac{n}{l}$ über F, denn nach Satz 4.22 ist

$$\mathbb{F}_{q} \ni D_{n}(\theta + a\theta^{-1}, a) = D_{\frac{n}{l}}(D_{l}(\theta + a\theta^{-1}, a), a^{l}) = D_{\frac{n}{l}}(\theta^{l} + a^{l}\theta^{-l}, a^{l}).$$

TODO

Beweis (von Satz 4.26). Im Grunde brauchen wir nichts zu zeigen, wenn wir uns überlegen, dass hier n stark regulär ist! Nach Lemma 4.10 ist dann $\operatorname{Ord}_q(\theta)$ ein irreduzibler monischer Teiler von $x^n - 1$. Also werden alle irreduziblen Teilmoduln von \mathbb{F}_{q^n} von θ^l mit $l \in \mathcal{R}_q(n)$ erzeugt. Wie im Beweis von Satz 4.25 ist natürlich

$$D_n(\theta + a\theta^{-1}, a) - b = 0$$
 und $D_l(\theta + a\theta^{-1}, a) = \theta^l + a^l\theta^{-l}, l = 1, ..., n$.

Letztlich überlege man sich, dass $\operatorname{Ord}_q(a^l\theta^{-l}) = \operatorname{Ord}_q(\theta^{n-l})$, da $a \in F$.

Man bemerke, dass im Beweis von Satz $4.25~\theta + a\theta^{-1}$ lediglich eine Abwandlung von $\theta + \theta^{q^n} = \text{Tr}_{E'|E}(\theta)$ ist! Daher ist das Resultat vielleicht auch nicht besonders überraschend, da wir in Satz 4.16 erkannt haben, wie die Spurfunktion zur Konstruktion von normalen Elementen in regulären Erweiterungen zentral ist. In Notation des vorherigen Abschnittes würde man die beiden Sätze von Scheerhorn vielleicht auf die folgende Art und Weise aufschreiben. Insbesondere erlaubt es die Theorie aus den vorherigen Abschnitten, den Fall $\nu(n) \mid (q-1)$ zu erweitern, um auch dort (unter leichten Zusatzvoraussetzungen) ein normales Element zu konstruieren.

Satz 4.28. -

Seien $F := \mathbb{F}_q$ ein endlicher Körper von Charakteristik p und $m \in \mathbb{N}^*$ ungerade mit p + n und $\nu(n) \mid q^2 - 1$. Sind $a, b \in F$, sodass $D_n(x, a) - b \in F[x]$ irreduzibel mit Nullstelle $\gamma \in E := \mathbb{F}_{q^n}$, so qilt:

- (1) $E = F(\gamma)$,
- (2) Ist $\nu(n) \mid (q+1)$, so gilt: Für alle $l \in R_q(n)$ mit $r_q(l \bmod n) = \operatorname{ord}_q(m)$ für einen Teiler m von n ist $\operatorname{Ord}_q(D_l(\gamma, a))$ ist ein irreduzibler Teiler von $\Phi_m(x)$.
- (3) Setze

$$v \coloneqq \sum_{l \in R_q(n)} D_l(\gamma, a)$$
.

Dann ist $v \in E$ normal über F, falls $\nu(n) \mid (q+1)$ oder $a^l \neq -1$ für alle $l \in R_q(n)$.

Beweis. Für $\nu(n) \mid (q+1)$ liegt gerade Satz 4.25 vor und es gibt nichts mehr zu zeigen. Aussage (2) haben wir uns bereits in Bemerkung 4.27 überlegt. Für $\nu(n) \mid (q-1)$ bleibt anzugeben, warum v normal über F ist, wenn $a^l \neq -1$ für alle $l \in R_q(n)$. Da in v gerade je zwei Erzeuger pro irreduziblem Teilmodul von E vorkommen, ist sicherzustellen, dass diese sich nicht gegenseitig aufheben: Existierte $a^l = -1$ für ein $l \in R_q(n)$, so wäre

$$\theta^{n-l} + a^l \theta^{n-l} = 0.$$

4.4.1 Normale und vollständig normale Polynome mit Dickson-Polynomen

Mit Hilfe dieser Resultate lassen sich nun relativ einfach vollständig normale Polynome angeben, wie sie in [16, Section 3] und [15, Section 4] zu finden sind. Ihre Beweise beinhalten keine besondere Beachtung der Modulstrukturen und sollen daher hier nur nachvollzogen werden. Zunächst brauchen wir jedoch eine Transformation eines Polynoms, welches gerade die Nullstellen desselbigen invertiert.

Definition 4.29 (reziprokes Polynom). -

Sei $f(x) \in \mathbb{K}[x]$ ein Polynom über einem Körper \mathbb{K} . Dann heißt

$$f^*(x) := \frac{1}{f(0)} x^{\deg f} f(\frac{1}{x}) \in \mathbb{K}[x]$$

reziprokes Polynom von f(x).

Bemerkung 4.30. Man bemerke, dass das reziproke Polynom stets monisch ist.

Bemerkung 4.31. Ist u eine Nullstelle von f(x), so ist u^{-1} eine Nullstelle von $f^*(x)$, wie man sofort erkennen kann.

Satz 4.32 ([16, Theorem 4]). —

Seien $n \ge 3$ ein Produkt aus ungeraden Primteilern von (q+1) und $D_n(x,a) - b \in \mathbb{F}_q[x]$ irreduzibel. Seien ferner $s,t \in \mathbb{F}_q$ mit $s \ne 0$. Dann ist

$$(D_n(sx+t,a)-b)^*$$

normal über \mathbb{F}_q genau dann, wenn für jedes $l \in R_q(n)$ ein $i \in M_q(l \mod n)$ existiert, so dass $E_{n-1-i}(t,a) \neq 0$.

Beweis. Setzen wir wieder $x^2 - bx + a^n = (x - \beta)(x - a^n\beta^{-1})$ über \mathbb{F}_{q^2} wie im Beweis von Satz 4.25 mit $\theta \in \mathbb{F}_{q^{2n}}$ einer Nullstelle von $x^n - \beta$, so erkennen wir, dass $s(\theta - t + a\theta^{-1})^{-1}$ eine Nullstelle von $(D_n(sx + t, a) - b)^*$ ist. Dort haben wir ebenfalls gesehen, dass $\{1\} \cup \{\theta^l + a^l\theta^{-l} : l = 1, \dots, n-1\}$ eine \mathbb{F}_q -Basis von F_{q^n} bildet. Offensichtlich ist $s(\theta - t + a\theta^{-1})^{-1}$ genau dann normal über \mathbb{F}_q , wenn $(\theta + t + a\theta^{-1})$ normal über \mathbb{F}_q ist. Also überlegen wir uns, für welche $\alpha = a_0 + \sum_{i=1}^{n-1} a_i(\theta^i + a^i\theta^{-i})$ das Produkt $\alpha(\theta - t + a\theta^{-1})$ in \mathbb{F}_q^* liegt. Durch Ausmultiplizieren erkennt man, dass die Koeffizienten

 a_i gerade die Rekursionsgleichung der Dickson-Polynome zweiter Art erfüllen müssen (siehe [16, Beweis zu Theorem 4] für die konkrete Rechnung). Damit ist $\alpha(\theta - t + a\theta^{-1}) \in \mathbb{F}_q^*$, falls

$$\alpha = E_{n-1}(t,a) + \sum_{i=1}^{n-1} E_{n-1-i}(t,a)(\theta^i a^i \theta^{-i}).$$

Die Aussage folgt dann sofort mit Satz 4.25 (oder Satz 4.28)

Ferner können wir genau diese Folgerung benutzen, um vollsändig normale Polynome, also solche, die über jedem Zwischenkörper normal sind, anzugeben.

Satz 4.33 ([16, Theorem 5]). -

Seien $n \ge 3$ ein Produkt aus ungeraden Primteilern von (q+1) und $D_n(x,a) - b \in \mathbb{F}_q[x]$ irreduzibel. Seien ferner $s, t \in \mathbb{F}_q$ mit $s \ne 0$. Ist d ein Teiler von n, so ist

$$(D_n(sx+t,a)-b)^*$$

normal über \mathbb{F}_{q^d} genau dann, wenn für jedes $l \in R_{q^d}(\frac{n}{d})$ ein $i \in M_{q^d}(l \mod \frac{n}{d})$ existiert, so dass $E_{\frac{n}{d}-1-i}(t,a) \neq 0$.

Beweis. Wie wir uns bereits in Bemerkung 4.27 überlegt haben, hat $\theta^{\frac{n}{d}} + a^{\frac{n}{d}}\theta^{-\frac{n}{d}}$ Grad $\frac{n}{d}$ über \mathbb{F}_q und das Minimalpolynom von $(\theta - t + a\theta^{-1})$ über F_{q^d} ist $D_{\frac{n}{d}}(x + t, a) - (\theta^{\frac{n}{d}} + a^{\frac{n}{d}}\theta^{-\frac{n}{d}})$. Dann folgt die Aussage analog zu vorherigem Satz.

Nun lassen sich einige Korollare ziehen, in denen spezielle Werte für a,b,s,t dazu führen, dass die geforderten Eigenschaften aus Satz 4.32 bzw. Satz 4.33 erfüllt sind. Diese werden wir hier nicht beweisen und der Leser sei auf [16] verwiesen.

Korollar 4.34. Sei $n \ge 3$ ein Produkt ungerader Primfaktoren von (q-1) und sei $D_n(x,a) - b$ irreduzibel über \mathbb{F}_q . Ist ferner $n \not\equiv 0 \bmod 3$, so ist

$$(D_n(x\pm 1,1)-b)^*$$

ein vollständig normales Polynom über \mathbb{F}_q .

Beweis. [16, Corollary 2].

Korollar 4.35. Sei $n \ge 3$ ein Produkt ungerader Primfaktoren von (q-1) und sei $D_n(x,a) - b$ irreduzibel über \mathbb{F}_q . Dann ist

$$(D_n(x\pm 2,1)-b)^*$$

ein vollständig normales Polynom über \mathbb{F}_q .

Beweis. [16, Corollary 3].

Kapitel 5

Vollständige Normalbasen

In den vorherigen Kapiteln haben wir einige Resultate zu Normalbasen kennen gelernt. Es stellt sich jedoch ganz natürlich die Frage, ob dieser Begriff nicht erweitert werden kann: Für eine Körpererweiterung E über F existieren im Allgemeinen Zwischenkörper $E \mid K \mid F$, so wollen wir untersuchen, ob ein Element $w \in E$, welches normal über F ist, auch normal über allen Zwischenkörpern bleibt. Solche Elemente wollen wir vollständig normal nennen. Ähnlich zu normalen Elementen kann man mit Hilfe der Modulstrukturen von Körpererweiterungen eine Theorie aufbauen, die es erlaubt, vollständig normale Elemente in vollständige Erzeuger (Definition 5.6) zu zerlegen, wie es für normale Elemente aus Korollar 4.3 kennt. Hachenberger konnte in [5] ausarbeiten, wie die simultan auftretenden Modulstrukturen zu behandeln sind. Wir wollen hier die zentralen Resultate lediglich ohne Beweise zitieren. Eine ebenfalls gute Übersicht dazu findet man in [13, Section 5.4]. Wir beginnen bei der grundlegendsten Definition, die sich ja bereits in der Kapitelüberschrift wiederfinden lässt.

Definition 5.1 (vollständig normal). –

Sei $E \mid F$ eine Körpererweiterung endlicher Körper E über F. $w \in E$ heißt vollständig normal, falls w normal über jedem Zwischenkörper $E \mid K \mid F$ ist.

Die Begriffe vollständige Normalbasis, vollständig normales Polynom sind analog zu Definition 4.1 zu setzen.

Ein besonders trivialer Fall würde auftreten, wenn bereits alle normalen Elemente eine Körpererweiterung auch vollständig normal wären. Man kann zeigen, dass dies in der Tat unter gewissen Bedingungen auftreten kann und verleiht dieser Konstellation den Namen einfach.

Definition 5.2 (einfach). -

Eine Körpererweiterung $E \mid F$ endlicher Körper F und E heißt einfach, falls jedes normale Element von E über F bereits vollständig normal ist.

Satz 5.3. -

Sei $\mathbb{F}_{q^m} \mid \mathbb{F}_q$ eine Erweiterung endlicher Körper. Dann ist äquivalent:

- (1) $\mathbb{F}_{q^m} \mid \mathbb{F}_q \text{ ist einfach.}$
- (2) Für jeden Primteiler $r \mid m$ ist jedes normale Element in \mathbb{F}_{q^m} über \mathbb{F}_q auch normal in \mathbb{F}_{q^m} über \mathbb{F}_{q^r} .
- (3) Für jeden Primteiler $r \mid m$ teilt r nicht $\operatorname{ord}_{(\frac{m}{r})'}(q)$.

Beweis. [5, Corollary 15.8].

Definition 5.4 (verallgemeinertes Kreisteilungspolynom). -

Sei F ein endlicher Körper. Seien $k,t\geq 1$ natürliche Zahlen und k teilerfremd zu char F, so heißt

$$\Phi_{k,t}(x) := \Phi_k(x^t) \in F[x]$$

verallgemeinertes Kreisteilungspolynom.

Definition 5.5 (verallgemeinerter Kreisteilungsmodul, Modulcharakter). -

Sei $\Phi_{k,t}$ ein verallgemeinertes Kreisteilungspolynom über einem endlichen Körper F. Notiere ferner $\sigma: \bar{F} \to \bar{F}$ den Frobenius von F,so heißt

$$C_{k,t} := \{ w \in \bar{F} : \Phi_{k,t}(\sigma)(w) = 0 \}$$

 $verall gemeinerter\ Kreisteilungsmodul.$

Der Modulcharakter von $C_{k,t}$ ist $\frac{kt}{\nu(k)}$.

Definition 5.6 (vollständiger Erzeuger). -

Sei $C_{k,t}$ ein verallgemeinerter Kreisteilungsmodul über \mathbb{F}_q . $w \in \overline{F}$ heißt vollständiger Erzeuger von $C_{k,t}$, falls w ein Erzeuger von $C_{k,t}$ als $\mathbb{F}_{q^d}[x]$ -Modul für alle Teiler d des Modulcharakters $\frac{kt}{\nu(k)}$ ist.

Definition 5.7 (Zerlegung in verallgemeinerte Kreisteilungsmoduln).

Sei $\Phi_{k,t}$ ein verallgemeinertes Kreisteilungspolynom über F. $\Delta \subseteq F[x]$ heißt eine Zerlegung von $\Phi_{k,t}$ in verallgemeinerte Kreisteilungspolynome, falls Δ nur verallgemeinerte Kreisteilungspolynome enthält, diese paarweise teilerfremd sind und

$$\Phi_{k,t}(x) = \prod_{\Psi \in \Delta} \Psi(x).$$

Definiere ferner

$$i(\Delta) := \{(l,s) \in \mathbb{N}^2 : \Phi_{l,s} \in \Delta\}.$$

Definition 5.8 (verträgliche Zerlegung).

Sei Δ eine Zerlegung von $\Phi_{k,t}$ in verallgemeinerte Kreisteilungspolynome über F. Dann heißt Δ verträgliche Zerlegung falls gilt: Für jedes $(l,s) \in i(\Delta)$ sei $w_{l,s} \in \overline{F}$ ein vollständiger Erzeuger von $C_{l,s}$ über F, so ist

$$w = \sum_{(l,s) \in i(\Delta)} w_{l,s}$$

ein vollständiger Erzeuger von $C_{k,t}$ über F.

Nun können wir den einen zentralen Satz formulieren, der eine passende Zerlegung eines erweiterten Kreisteilungspolynoms herstellt, so dass sich ein vollständiger Erzeuger als Summe von vollständigen Erzeugern der entsprechenden Teilmoduln zusammensetzen lässt. Man bemerke an dieser Stelle, dass das Problem der vollständigen Erzeuger (und damit der vollständigen Normalbasen) ungleich schwerer ist, als das der normalen Elemente, da sich dort Elemente mit teilerfremden q-Ordnungen immer zu einem Element summieren, dessen q-Ordnung gerade das Produkt der q-Ordnungen ist (vgl. Satz 3.42); mit anderen Worten also die Summe von Erzeugern disjunkter Teilmoduln stets wieder einen Erzeuger liefert. Dies ist bei vollständigen Erzeugern nur bedingt gegeben, wie nachstehender Zerlegungssatz beschreibt.

Satz 5.9 (Zerlegungssatz für verallgemeinerte Kreisteilungsmoduln). -

Sei $\Phi_{k,t}$ ein verallgemeinertes Kreisteilungspolynom über einem endlichen Körper \mathbb{F}_q mit Charakteristik p. Sei r eine Primzahl mit

•
$$r \mid t$$
, • $r \neq p$, • $r \nmid k$.

Dann ist

$$\Delta_r \ \coloneqq \ \{\Phi_{k,\frac{t}{r}}, \ \Phi_{kr,\frac{t}{r}}\}$$

eine Zerlegung von $\Phi_{k,t}$ in verallgemeinerte Kreisteilungspolynome und diese ist verträglich genau dann, wenn

$$r^a \nmid \operatorname{ord}_{\nu(kt')}(q)$$

 $mit \ a = \max\{b \in \mathbb{N} : r^b \mid t\}.$

Beweis. [5, Decomposition Theorem, Section 19].

Sicherlich kann man sich nun fragen, in welchen Fällen die kanonische Zerlegung von eines erweiterten Kreisteilungspolynoms in Kreisteilungspolynome noch verträglich ist. Nach [5, Theorem 19.10] ist die kanonische Zerlegung von $\Phi_{k,t}(x)^{\pi}$ verträglich über \mathbb{F}_q , falls $\operatorname{ord}_{\nu(kt')}(q)$ und t' teilerfremd sind. Dies motiviert dieser Klasse von Kreisteilungsmoduln einen eigenen Namen zu geben:

Definition 5.10 (regulär). -

Ein verallgemeinerter Kreisteilungsmodul $C_{k,t}$ mit ggT(k,t) = 1 heißt regulär über \mathbb{F}_q , falls $ord_{\nu(k\,t')}(q)$ und $k\,t$ teilerfremd sind.

Eine Körpererweiterung $\mathbb{F}_{q^m} \mid \mathbb{F}_q$ heißt regulär, falls $\mathcal{C}_{1,m}$ regulär ist.

Definition 5.11 (ausfallend). -

Sei \mathcal{C}_{k,p^b} ein regulärer verallgemeinerter Kreisteilungsmodul über \mathbb{F}_q mit char $\mathbb{F}_q = p$. Schreibe $k = 2^c \cdot \bar{k}$ mit \bar{k} ungerade. Dann heißt \mathcal{C}_{k,p^b} ausfallend, falls gilt:

- $q \equiv 3 \mod 4$,
- $c \ge 3$ und
- $\operatorname{ord}_{2^c}(q) = 2$.

Hachenberger war es nun möglich, für reguläre Kreisteilungsmoduln zu beweisen, dass alle auftretenden Zwischenkörper, deren Betrachtung bei der Suche nach vollständigen Erzeugern notwendig ist, von einem einzigen Zwischenkörper (oder zwei Zwischenkörpern) dominiert werden. Das bedeutet, dass ein Element eines regulären Kreisteilungsmoduls maximal zwei bestimmte q^{\bullet} -Ordnungen besitzen muss, um bereits den Kreisteilungsmodul vollständig zu erzeugen. Die geforderten q^{\bullet} -Ordnungen werden durch nachstehende Definition gegeben und wir schließen dieses Kapitel mit der Angabe dieses wahrlich beachtlichen Resultats.

Definition 5.12 (τ -Teiler). –

Sei \mathcal{C}_{k,p^b} ein regulärer verallgemeinerter Kreisteilungsmodul über \mathbb{F}_q . Schreibe

$$\operatorname{ord}_k(q) = \operatorname{ord}_{\nu(k)}(q) \prod_{r \in \pi(k)} r^{\alpha_r},$$

wobei $\pi(k)$ die Primteiler von k bezeichnen. Dann heißt

$$\tau \ \coloneqq \ \tau(q,k) \ \coloneqq \ \prod_{r \in \pi(k)} r^{\left \lfloor \frac{\alpha_r}{2} \right \rfloor}$$

der τ -Teiler von \mathcal{C}_{k,p^b} .

Satz 5.13 (Über reguläre Erweiterungen).

Sei \mathbb{F}_q ein endlicher Körper von Charakteristik p. Seien k eine positive ganze Zahl teilerfremd zu q und \mathcal{C}_{k,p^b} ein regulärer verallgemeinerter Kreisteilungsmodul. Dann gilt:

(1) Ist C_{k,p^b} nicht ausfallend, so ist $u \in \bar{F}$ genau dann ein vollständiger Erzeuger von C_{k,p^b} , falls

$$\operatorname{Ord}_{q^{\tau}}(u) = \Phi_{\frac{k}{\sigma}, p^b}.$$

 $(2) \ \textit{Ist} \ \mathcal{C}_{k,p^b} \ \textit{ausfallend}, \ \textit{so} \ \textit{ist} \ u \in \bar{F} \ \textit{genau} \ \textit{dann} \ \textit{ein} \ \textit{vollst"andiger} \ \textit{Erzeuger} \ \textit{von} \ \mathcal{C}_{k,p^b}, \ \textit{falls}$

$$\operatorname{Ord}_{q^{\tau}}(u) = \Phi_{\frac{k}{\tau}, p^b} \quad und \quad \operatorname{Ord}_{q^{2\tau}}(u) = \Phi_{\frac{k}{2\tau}, p^b}.$$

Beweis. [5, Theorem 20.3].

Kapitel 6

Enumeration primitiv vollständig normaler Elemente

In den vorangegangenen Kapiteln haben wir lediglich normale und vollständig normale Elemente in Erweiterungen endlicher Körper betrachtet. Es existiert jedoch eine weitere besondere Eigenschaft, die gerade in der Anwendung von großem Interesse ist: Primitivität (Definition 1.6). Zusammen haben wir nun drei Eigenschaften eines Elements $u \in E$ einer Erweiterung endlicher Körper $E \mid F$ kennengelernt, die von Interesse sind. Daher ist es nur sinnvoll sich der Frage zu widmen, wie viele Elemente mit den jeweiligen Eigenschaften es gibt. Mit Satz 1.1 und Satz 1.5 ist sofort klar, dass es in \mathbb{F}_q genau $\varphi(q-1)$ primitive Elemente gibt! Daher ist die Fragestellung nach der Anzahl primitiver Elemente schnell gelöst. Darüber hinaus wollen wir die folgenden Notationen treffen.

Definition 6.1. -

Seien \mathbb{F}_q ein endlicher Körper und $n \in \mathbb{N}^*$, so bezeichne $\mathcal{N}(q,n)$, $\mathcal{CN}(q,n)$, $\mathcal{PN}(q,n)$ bzw. $\mathcal{PCN}(q,n)$ die Anzahl der normalen, vollständig normalen, primitiv normalen bzw. primitiv vollständig normalen Elemente in \mathbb{F}_{q^n} über \mathbb{F}_q , d.h.

```
 \mathcal{N}(q,n) := |\{u \in \mathbb{F}_{q^n} : u \text{ ist normal ""uber } \mathbb{F}_q\}| 
 \mathcal{CN}(q,n) := |\{u \in \mathbb{F}_{q^n} : u \text{ ist vollst"andig normal ""uber } \mathbb{F}_q\}| 
 \mathcal{PN}(q,n) := |\{u \in \mathbb{F}_{q^n} : u \text{ ist primitiv und normal ""uber } \mathbb{F}_q\}| 
 \mathcal{PCN}(q,n) := |\{u \in \mathbb{F}_{q^n} : u \text{ ist primitiv und vollst"andig normal ""uber } \mathbb{F}_q\}| 
 \mathcal{G} := \{n \in \mathbb{N}^*, n \geq 2 : \forall q \text{ Primzahlpotenz gilt } \mathcal{PCN}(q,n) > 0\}
```

Vielleicht erscheint die Definition von \mathcal{G} etwas überraschend, da für jedes Element in \mathcal{G} schließlich unendlich viele Körpererweiterungen auf die Existenz eines \mathcal{PCN} -Elements getestet werden müssen. Doch es sei an dieser Stelle vorweg genommen, dass wir in der Lage sind mit Hilfe eines asymptoptischen Resultats und der konkreten Angabe von endlich vielen \mathcal{PCN} -Elementen zu zeigen, dass \mathcal{G} nicht leer ist!

Nun können wir folgende Probleme definieren:

```
Problem 6.2 (\mathcal{N}(q,n) =?). -
```

Seien q eine Primzahlpotenz und $n \in \mathbb{N}^*$. Was ist $\mathcal{N}(q, n)$?

Problem 6.3 ($\mathcal{CN}(q,n)$ =?).

Seien q eine Primzahlpotenz und $n \in \mathbb{N}^*$. Was ist $\mathcal{CN}(q,n)$?

Problem 6.4 ($\mathcal{PN}(q,n)$ =?).

Seien q eine Primzahlpotenz und $n \in \mathbb{N}^*$. Was ist $\mathcal{PN}(q,n)$?

Problem 6.5 ($\mathcal{PCN}(q,n)$ =?).

Seien q eine Primzahlpotenz und $n \in \mathbb{N}^*$. Was ist $\mathcal{PCN}(q, n)$?

Offensichtlich können wir die obigen Problemstellungen leicht abschwächen und uns zunächst fragen, ob überhaupt Elemente mit den geforderten Eigenschaften existieren. Auch dazu wollen wir passende Probleme formulieren.

Problem 6.6 ($\mathcal{N}(q,n) > 0$?).

Seien q eine Primzahlpotenz und $n \in \mathbb{N}^*$. Ist $\mathcal{N}(q,n) > 0$?

Problem 6.7 ($\mathcal{CN}(q,n) > 0$?).

Seien q eine Primzahlpotenz und $n \in \mathbb{N}^*$. Ist $\mathcal{CN}(q,n) > 0$?

Problem 6.8 ($\mathcal{PN}(q,n) > 0$?).

Seien q eine Primzahlpotenz und $n \in \mathbb{N}^*$. Ist $\mathcal{PN}(q,n) > 0$?

Problem 6.9 ($\mathcal{PCN}(q,n) > 0$?).

Seien q eine Primzahlpotenz und $n \in \mathbb{N}^*$. Ist $\mathcal{PCN}(q,n) > 0$?

Zuletzt wollen wir natürlich auch für \mathcal{G} eine Problemstellung zu formulieren:

Problem 6.10 ($n \in \mathcal{G}$?).

Finde möglichst viele $n \in \mathbb{N}^*$, $n \ge 2$ mit $n \in \mathcal{G}$.

Bisher haben wir all diese Probleme nicht ausreichend geklärt. Doch im folgenden Abschnitt wollen wir uns jenen Fragestellungen zunächst theoretisch widmen, um in den darauffolgenden gezielte Enumerationen auf Basis der theoretischen Resultate, die über (vollständig) normale Elemente im bisherigen Verlauf erarbeitet wurden, durchzuführen, um für die offen bleibenden Fragen

6.1 Theoretische Enumerationen

Wir starten mit einem wohlbekannten Resultat, das eine Antwort auf die Frage nach der Existenz von normalen Elementen (Problem 6.6) gibt:

Satz 6.11 (Satz von der Normalbasis). ——

Zu jedem endlichen Körper F und jeder endlichen Erweiterung E von F existiert eine Normalbasis von E über F.

Beweis. [12, Theorem 2.35].

Selbige Aussage können wir auch für vollständig normale Elemente treffen, was zuerst 1986 von Blessenohl und Johnsen [2] bewiesen wurde.

Satz 6.12 (Verschärfung des Satzes von der Normalbasis). -

Zu jedem endlichen Körper F und jeder endlichen Erweiterung E von F existiert eine vollständige Normalbasis von E über F.

Beweis. [2, Satz 1.2].

Damit wäre auch Problem 6.7 beantwortet! Von den Existenzfragen bleibt damit noch die Existenz von primitiv normalen und primitiv vollständig normalen Elementen in beliebigen Erweiterungen offen. Erstere beantwortete Lenstra, Jr. und Schoof 1987 [11] nach den Vorarbeiten von Carlitz und Davenport.

Satz 6.13 (Satz von der primitiven Normalbasis). -

Zu jedem endlichen Körper F und jeder endlichen Erweiterung E von F existiert eine primitive Normalbasis von E über F.

Beweis. [11].

П

Bleibt also nur noch die Frage nach der Existenz primitiver vollständig normaler Elemente. Auch wenn Hachenberger 2001 [7] und 2015 [6] die beiden nachstehenden bedeutsamen Resultate beweisen konnte, bleibt die Suche nach \mathcal{PCN} -Elementen weiterhin ein offenes Problem, dem wir uns im weiteren Verlauf experimentell widmen wollen.

Satz 6.14. -

Seien q eine Primzahlpotenz und $n \in \mathbb{N}^*$, so dass \mathbb{F}_{q^n} über \mathbb{F}_q eine reguläre Erweiterung ist. Sei ferner $4 \mid (q-1)$, falls q ungerade und n gerade ist. Dann existiert ein primitives Element in \mathbb{F}_{q^n} , das vollständig normal über \mathbb{F}_q ist.

Beweis. [7, Theorem 1.4].

Satz 6.15. -

Sei $n \in \mathbb{N}^*$ mit $n \geq 2$. Dann gilt: Für Primzahlpotenzen q mit $q \geq n^4$ existiert ein primitives Element in \mathbb{F}_{q^n} , das vollständig normal über \mathbb{F}_q ist.

Beweis. [6, Theorem 2].

Wir können nun zusammenfassen, dass von obigen Existenzproblemen lediglich Problem 6.9 überlebt hat und alle anderen durch theoretische Resultate abgedeckt werden konnten. Nun können wir versuchen die Zählprobleme anzugehen und starten mit einem allgemein bekannten Resultat.

Definition 6.16.

Sei $f(x) \in \mathbb{F}_q[x]$ ein Polynom über einem endlichen Körper. Definiere

$$\phi_q(f) := |\{g(x) \in \mathbb{F}_q[x] : \deg g < \deg f, \operatorname{ggT}(f,g) = 1\}|.$$

Bemerkung 6.17. $\phi_q(f)$ ist das Analogon zur Eulerschen Phifunktion für Polynome, da $\phi_q(f)$ gerade die Anzahl der Einheiten im Ring $\mathbb{F}_q[x]/(f(x))$ angibt.

Satz 6.18. -

Seien q eine Primzahlpotenz und $n \in \mathbb{N}^*$ mit $n \geq 2$, so existieren in \mathbb{F}_{a^n} genau

$$\phi_q(x^n - 1) = q^{n'(\pi - 1)} \prod_{d|n} (q^{\operatorname{ord}_d(q)} - 1)^{\frac{\varphi(d)}{\operatorname{ord}_d(q)}}$$

Elemente, die normal über \mathbb{F}_q sind, wobei $n = n'\pi$ mit ggT(n',q) = 1.

Beweis. [12, Theorem 3.73] oder [5, Theorem 10.5].

Obiger Satz beantwortet also Problem 6.2 vollständig.

6.2 Implementierung endlicher Körper und Körpererweiterungen

Grundsätzlich wurde zur konkreten Suche und Enumeration primitiver und vollständig normaler Elemente das Computeralgebrasystem Sage verwendet. Sage bietet bereits die Möglichkeit in endlichen Körpern zu rechnen. Jedoch hat sich herausgestellt, dass die zugrunde liegenden C-Bibliotheken (im Allgemeinen Fall ist dies das Pari C library¹) zu langsam sind. Dies ist sicherlich auf die Allgemeinheit ihrer Anwendungsgebiete zurückzuführen. Beispielsweise arbeitet die Pari-Bibliothek stets mit Ganzzahlen beliebiger Größe. Deren Arithmetik ist selbstredend aufwendiger und langsamer, als maschineninterne Integer-Arithmetik. Daher haben wir uns entschlossen eigene C-Bibliotheken anzulegen, die auf einfacher (jedoch begrenzter) Integer-Arithmetik basieren.

6.2.1 Beschreibung von Elementen endlicher Körper

Die Implementierung von Primkörpern ist freilich kanonisch. Daher brauchen wir an dieser Stelle nicht viele Worte verlieren, da wir auf der Suche nach primitiv und vollständig normalen Elementen ohnehin nur in Erweiterungen von Graden größer 1 zu rechnen haben.

Sei also \mathbb{F}_q ein endlicher Körper von Charakteristik p und $q = p^r$ für r > 1. Wie auch in Sage üblich, haben wir uns entschieden bei der programmatischen Beschreibung die Isomorphie

$$\mathbb{F}_q \cong \mathbb{F}_p[x]/(f(x))$$

mit $f(x) \in F_p[x]$ irreduzibel von Grad r zu nutzen. Also wird ein Element $w \in \mathbb{F}_q$ als Array der Länge r+1 beschrieben, wobei die nullte Stelle des Arrays auch den Koeffizienten von x^0 meint, und alle Berechnungen (insb. Multiplikation) modulo f(x) ausgeführt.

Es hat sich herausgestellt, dass es von Vorteil ist, neben dem Koeffizienten tragenden Array ein weiteres Array mitzuführen, welches die Indizes speichert, deren zugehörige Koeffizienten nicht verschwinden. Letztlich fehlt noch, wie es in C üblich und notwendig ist, die Länge des Indexarrays zu speichern und wir erhalten den Datentyp struct FFElem.

Listing 6.1: Aus ../Sage/enumeratePCNs.c

```
15 /**
16 * Finite Field Element.
17 *
18 * !! idcs must be in desc order !!
19 *
20 * Uses int arrays, i.e. you must not consider
21 * PrimeFields of order p with (p-1)*(p-1) > INT_MAX
22 */
23 struct FFElem{
24    int *el;
25    int *idcs;
26    int len;
27 };
```

 $^{^{1}\}mathrm{vgl.\ http://www.sagemath.org/doc/reference/rings_standard/sage/rings/finite_rings/constructor.html}$

len gibt immer die Länge von idcs an. Zusätzlich fordern wir noch folgende Eigenschaften, die den Umgang mit struct FFElem erleichtern.

Invariante 6.19. -

Für das Indexarray idcs eines struct FFElem sei sichergestellt, dass die Werte stets in absteigender Reihenfolge sortiert sind.

Invariante 6.20. -

Bei der Benutzung von struct FFElem sei sichergestellt, dass die Länge aller auftretenden Arrays dem Grade der Körpererweiterung über dem jeweiligen Primkörper entspricht

Satz 6.19 erleichtert den Zugriff auf den Grad des Elements (also seinen Grad als Polynom in $\mathbb{F}_p[x]/(f(x))$). Letztere Invariante stellt sicher, dass durch Veränderung eines struct FFElem (beispielsweise Arithmetik) kein Speicherzugriffsfehler auftritt.

Beispiel 6.21. Wollen wir das Element

$$w := x^8 + 2 * x^6 + x^2 + 2 \in \mathbb{F}_3[x]$$

des endlichen Körpers $\mathbb{F}_{3^{10}}$ (wir verzichten auf Angabe eines Minimalpolynoms, da es hier keine Rolle spielt) in obiger Darstellung beschreiben, so müssen wir C-üblich Speicher allokieren und die Arrays in passender Länge anlegen:

```
struct FFElem *w = malloc(sizeof(struct FFElem));
w->el = (int[]) {2, 0, 1, 0, 0, 0, 2, 0, 1, 0};
w->idcs = (int[]) {9, 7, 2, 0, 0, 0, 0, 0, 0};
w->len = 4;
```

Der besseren Lesbarkeit zu Gute haben wir die ungenutzten Indizes und die verschwindenden Koeffizienten mit 0 aufgefüllt. Man überlege sich jedoch, dass lediglich eine einzige 0 notwendig ist und alle anderen beliebig ersetzt werden könnten. Beispielsweise ist

```
struct FFElem *w = malloc(sizeof(struct FFElem));
w->el = (int[]) {2, -10, 1, 100, -2, -3, 2, -4, 1, -8};
w->idcs = (int[]) {9, 7, 2, 0, -3, -2, -5, -1, -1, -1};
w->len = 4;
```

mit obiger Beschreibung identisch.

Hilfsfunktionen zum Anlegen und Löschen

Da C ohne *Garbage-Collection* auskommt, muss man selbst für die entsprechende Speicherverwaltung sorgen. Dies erleichtern die Funktionen mallocffelem und freeffelem.

Listing 6.2: Aus ../Sage/enumeratePCNs.c

```
30 inline struct FFElem *mallocFFElem(int m){
31    struct FFElem *ff = malloc(sizeof(struct FFElem));
32    ff->el = malloc(m*sizeof(int));
33    ff->idcs = malloc(m*sizeof(int));
34    ff->len = 0;
35    return ff;
36 }
```

Listing 6.3: Aus ../Sage/enumeratePCNs.c

```
37 inline void freeFFElem(struct FFElem *ff){
38    free(ff->el);
39    free(ff->idcs);
40    free(ff);
41 }
```

Schließlich führen wir noch eine Funktion ein, die den Inhalt eines struct FFElems in ein neues kopiert. Dieses muss aber bereits allokiert sein!

Listing 6.4: Aus ../Sage/enumeratePCNs.c

```
50 /**
   * Copies the content of ff1 into ff2
51
52
   * !! ff2 must be malloced!
55 inline void copyFFElem(struct FFElem *ff1, struct FFElem *ff2){
      if(ff1 == ff2) return;
56
      int i:
57
      for(i=0;i < ff1->len;i++){
          ff2->idcs[i] = ff1->idcs[i];
59
          ff2->el[ ff1->idcs[i] ] = ff1->el[ ff1->idcs[i] ];
60
61
      ff2->len = ff1->len;
63 }
```

6.2.2 Arithmetik in endlichen Körpern

Additions- und Multiplikationstabellen

Will man Arithmetik mit struct FFElems betreiben, so stellt sich sicherlich am Anfang die Frage, wie die Arithmetik im Primkörper $\mathbb{F}_p = \{0, 1, \dots, p-1\}$ aussehen möge. Da die FFElems auf int-Arrays basieren liegt es nahe, die Addition bzw. Multiplikation zweier Elemente $a,b \in \mathbb{F}_p$ durch die integrierten Funktionen (a+b) % p und (a*b) % p zu implementieren. Es hat sich jedoch herausgestellt, dass dies vergleisweise langsam ist. Insbesondere bei kleinen Primzahlen hat sich das Anlegen einer Additions- und einer Multiplikationstabelle bewährt. Diese sind int-Arrays, sodass die (a+b)-te Stelle der Additions- und die (a*b)-te Stelle der Multiplikationstabelle gerade das Ergebnis der jeweiligen Rechnung in \mathbb{F}_p liefert.

Bemerkung 6.22. Um sich nicht um vorzeichenbehaftete Werte kümmern zu müssen, überdecken die Tabellen auch negative Bereiche und daher ist eine Additionstabelle in \mathbb{F}_p stets von Länge 4(p-1)+1 und eine Multiplikationstabelle von Länge $2(p-1)^2+1$.

Beispiel 6.23. Betreiben wir Arithmetik in \mathbb{F}_3 , so legen wir eine Additions- bzw. Multiplikationstabelle wie folgt an und stellen durch eine Verschiebung des Pointers sicher, dass auch vorzeichenbehaftete Rechnungen richtig erfasst werden können.

```
int addTableRaw[] = {2, 0, 1, 2, 0, 1, 2, 0, 1};
int initialAddShift = 4;
int *addTable = addTableRaw+initialAddShift;
int multTableRaw[] = {2, 0, 1, 2, 0, 1, 2, 0, 1};
int initialMultShift = 4;
int *multTable = multTableRaw+initialMultShift;
```

Führen wir nun Rechnungen durch können wir diese nutzen:

```
addTable[ 2+1 ] // == 0
addTable[ 0-2 ] // == 1
multTable[ 2*2 ] // == 1
```

Addition

Aufgrund der effizienteren Darstellung der Elemente endlicher Körper durch Speicherung ihrer Indices, ist die Addition nicht lediglich gegeben durch komponentenweise Betrachtung, sondern erfordert etwas mehr Aufwand.

Listing 6.5: Aus ../Sage/enumeratePCNs.c

```
226 /**
   * Adds two FFElems.
227
228
    * !! ff1 may be same as ret !!
229
    * !! ff2 must not be same as ret !!
232 inline void addFFElem(struct FFElem *ff1, struct FFElem *ff2,
           struct FFElem *ret,
233
234
           int *tmp,
           int *multTable, int *addTable){
235
       int i=0,j=0,k=0, i2;
236
       bool end = false;
237
       //handle trivial cases
238
       if(ff1->len == 0){
           copyFFElem(ff2,ret);
240
           return;
241
242
       if(ff2 \rightarrow len == 0){
243
           copyFFElem(ff1,ret);
244
           return;
245
246
       copyArray(ff1->idcs,tmp,ff1->len);
247
       while( end == false ){
248
```

```
while( tmp[i] != ff2->idcs[j] ){
249
               if( tmp[i] > ff2->idcs[j] ){
250
                   ret->el[ tmp[i] ] = ff1->el[ tmp[i] ];
251
                   ret->idcs[k] = tmp[i];
252
                   i++; k++;
253
               }else if( tmp[i] < ff2->idcs[j] ){
                   ret->el[ ff2->idcs[j] ] = ff2->el[ ff2->idcs[j] ];
255
                   ret->idcs[k] = ff2->idcs[j];
256
                   j++; k++;
257
               }
258
               if(i == ff1->len || j == ff2->len){
259
                   end = true;
260
                   break;
261
               }
262
263
264
           if(end == true) break;
265
           //tmp[i] == ff2->idcs[j]
           i2 = tmp[i];
267
           ret->el[i2] = addTable[ ff1->el[i2] + ff2->el[i2] ];
268
           if(ret->el[i2] != 0){
269
               ret->idcs[k] = i2;
               k++;
271
272
273
           i++; j++;
           if(i == ff1->len \mid | j == ff2->len) end = true;
274
275
       //add rest of ff1 or ff2
276
       if(i != ff1->len ){
277
           while(i<ff1->len){
               ret->el[ tmp[i] ] = ff1->el[ tmp[i] ];
279
               ret->idcs[k] = tmp[i];
280
281
               i++; k++;
           }
282
       }else if(j != ff2->len){
283
           while(j<ff2->len){
284
               ret->el[ ff2->idcs[j] ] = ff2->el[ ff2->idcs[j] ];
               ret->idcs[k] = ff2->idcs[j];
               j++; k++;
287
288
289
       }
       ret->len = k;
290
291 }
```

Wie später aus der Beschreibung anderer Algorithmen hervorgeht, ist es von Vorteil, wenn das Ergebnis einer Addition bereits eines der beiden addierten Elemente ist. Auf diese Weise spart man das Anlegen unnötiger Hilfs-FFElems. Wie man schnell einsieht, werden jeweils nur die beiden Indexarrays durchlaufen und lediglich wenn diese gleich sind, muss eine Addition ausgeführt werden; ansonsten reicht es den jeweiligen Koeffizienten zu übernehmen.

Multiplikation

Wir haben uns entschieden, keine speziellen Multiplikationsalgorithmen (wie Karatsuba oder FFT-basierte Algorithmen) zu implementieren, da die hier betrachteten Erweiterungen nicht von Graden sind, in denen jene Algorithmen ihre Vorteile ausspielen könnten.

Listing 6.6: Aus ../Sage/enumeratePCNs.c

```
302 /**
    * Multiplies two FFElems and reduces the result by mipo.
303
304
    * !! tmp must have at least length m!
305
    * !! ret must be malloced!
306
308 inline void multiplyFFElem(struct FFElem *ff1, struct FFElem *ff2,
           struct FFElem *ret,
309
           struct FFElem *mipo, int *tmp, int m,
310
           int *multTable, int *addTable){
311
312
        * catch trivial cases
313
        */
314
       if(ff1->len == 0 || ff2->len == 0){
315
           ret \rightarrow len = 0;
316
           return:
317
       }
318
       if(ff1->len == 1 && ff1->idcs[0] == 0 && ff1->el[0] == 1){
319
           copyFFElem(ff2, ret);
320
           return;
321
       }
322
       if(ff2->len == 1 && ff2->idcs[0] == 0 && ff2->el[0] == 1){
323
           copyFFElem(ff1, ret);
324
           return;
325
       }
326
327
328
        * Do multiplication
329
       int maxlen = ff1->idcs[0] + ff2->idcs[0] + 1;
331
       int i,j,i2,j2,k;
332
333
       int max2 = maxlen;
       if( maxlen > m ){
334
           max2 = m;
335
           initPoly(tmp,maxlen-m);
336
       }
337
       initPoly(ret->el,max2);
338
       //multiply
339
       for(i=0;i<(ff1->len);i++){
340
           for(j=0;j<(ff2->len);j++){
               i2 = ff1->idcs[i];
342
               j2 = ff2->idcs[j];
343
               k = i2+j2;
344
               if(k<m){
345
                   ret->el[k] = addTable[ ret->el[k] +
346
                       multTable[ ff1->el[i2] * ff2->el[j2] ] ];
347
```

```
}else{
348
                   tmp[k-m] = addTable[tmp[k-m] +
349
                       multTable[ ff1->el[i2] * ff2->el[j2] ] ];
350
               }
351
           }
352
       }
353
354
355
          Reduce mod mipo
356
        */
357
       if(maxlen > m){
358
           int quo;
359
           for(i=maxlen-m-1;i>=0;i--){
360
               quo = tmp[i];
               if(quo == 0) continue;
362
               for(j=0;j<(mipo->len); j++){
363
                   j2 = mipo->idcs[j];
364
                   k = i+j2;
365
                   if(k>=m){
366
                       tmp[k-m] = addTable[ tmp[k-m] -
367
                           multTable[ mipo->el[j2]*quo ] ];
                   }else{
                       ret->el[k] = addTable[ ret->el[k] -
370
                           multTable[ mipo->el[j2]*quo ] ];
371
                   }
372
               }
373
           }
374
       }
375
376
377
          Recalc indices
378
        */
379
       i2 = 0;
380
       for(i=max2-1;i>=0;i--){
381
           if(ret->el[i] != 0){
382
               ret->idcs[i2] = i;
383
               i2++;
           }
385
386
       ret->len = i2;
387
388 }
```

Außer den beiden zu multiplizierenden FFElems muss man natürlich das Minimalpolynom des zu Grunde liegenden Körpers und dessen Grad über dem Primkörper – hier mit int m bezeichnet – mit übergeben. Leider war es an dieser Stelle im Gegensatz zur Addition nicht möglich, die Indizes des Produkts direkt zu berechnen, da es sich bei den Koeffizienten des Produkts ja Summen von Produkten von Koeffizienten der beiden Faktoren handelt. Daher muss nach der Reduktion modulo Minimalpolynoms eine Neuberechnung der Indizes erfolgen.

Quadratur

Im Hinblick auf das Testen von struct FFElems auf Primitivität und dem damit verbundenen Potenzieren, existiert eine separate Funktion zur Quadrierung eines FFElems. Es ist klar, dass beim Quadrieren weniger Produkte und Summen berechnet werden müssen als bei einer allgemeinen Multiplikation.

Listing 6.7: Aus ../Sage/enumeratePCNs.c

```
404 /**
405
   * Squares an FFElem
406
   * !! ff is not modified !!
   * !! tmp must have at least length m !!
409
410 inline void squareFFElem(struct FFElem *ff, struct FFElem *mipo,
           struct FFElem *ret, int *tmp, int m,
411
           int *multTable, int *addTable){
412
413
        * catch trivial cases
414
        */
415
       if(ff->len == 0){
416
           copyFFElem(ff,ret);
417
          return;
418
       }
419
       if(ff->len == 1 && ff->idcs[0] == 0 && ff->el[0] == 1){
420
           copyFFElem(ff,ret);
421
           return;
422
       }
423
424
425
        * Do multiplication
426
427
       int maxlen = 2*ff->idcs[0] + 1;
428
       int i,j,i2,j2,k;
429
       int max2 = maxlen;
430
       if( maxlen > m ){
          max2 = m;
432
           initPoly(tmp,maxlen-m);
433
       }
434
       initPoly(ret->el,max2);
435
       for(i=0;i<(ff->len);i++){
436
           // same index must be squared
437
          i2 = ff->idcs[i];
438
          k = 2*i2;
           if(k < m){
440
               ret->el[k] = addTable[ ret->el[k] +
441
                   multTable[ ff->el[i2]*ff->el[i2] ] ];
442
           }else{
443
               tmp[k-m] = addTable[tmp[k-m] +
444
                   multTable[ ff->el[i2]*ff->el[i2] ] ];
445
446
           // other indices only multipied and doubled
447
           for(j=i+1;j<(ff->len);j++){
448
```

```
i2 = ff->idcs[i];
449
               j2 = ff->idcs[j];
450
               k = i2+j2;
               if(k<m){
452
                   ret->el[k] = addTable[ ret->el[k] +
453
                       multTable[ 2 * multTable[ ff->el[i2] * ff->el[j2] ] ] ];
454
               }else{
                   tmp[k-m] = addTable[tmp[k-m] +
456
                       multTable[ 2 * multTable[ ff->el[i2] * ff->el[j2] ] ]];
457
458
           }
459
       }
460
461
        * Reduce mod mipo
462
463
       if(maxlen > m){
464
           int quo;
465
           for(i=maxlen-m-1;i>=0;i--){
               quo = tmp[i];
467
               if(quo == 0) continue;
468
               for(j=0;j<(mipo->len); j++){
469
                   j2 = mipo->idcs[j];
471
                   k = i+j2;
                   if(k>=m){
472
                       tmp[k-m] = addTable[tmp[k-m] -
473
                           multTable[ mipo->el[j2]*quo ] ];
                   }else{
475
                       ret->el[k] = addTable[ ret->el[k] -
476
                           multTable[ mipo->el[j2]*quo ] ];
477
                   }
               }
479
           }
480
       }
481
482
483
        * Recalc indices
484
        */
485
       i2 = 0;
       for(i=max2-1;i>=0;i--){
487
           if(ret->el[i] != 0){
488
               ret->idcs[i2] = i;
489
               i2++;
490
491
       }
492
493
       ret->len = i2;
494 }
```

6.2.3 | Matrizen und Polynome über endlichen Körpern

Matrizen und Matrixmultiplikation

Nach ?? ist das Potenzieren mit der Charakteristik in endlichen Körpern eine lineare Abbildung. Dies wollen wir Nutzen und haben daher als Darstellung von Matrizen über endlichen Körpern naheliegenderweise ein Array aus FFElems gewählt.

Listing 6.8: Aus ../Sage/enumeratePCNs.c

```
515 /**
    * Matrix multiplication
516
517
518
       !! tmp must have at least length m!
519
520 inline void matmul(struct FFElem **mat, struct FFElem *ff,
           struct FFElem *ret,
521
           int m, int *multTable, int *addTable){
522
       int i,j,i2, row;
523
       bool end;
524
       for(row=0;row<m;row++){</pre>
           ret->el[row] = 0;
526
           i=0; j=0;
527
           end = false;
528
           while(end == false){
               while(ff->idcs[i] != mat[row]->idcs[j]){
530
                   if(ff->idcs[i] > mat[row]->idcs[j]) i++;
531
                   else if(ff->idcs[i] < mat[row]->idcs[j]) j++;
                    if(i == ff \rightarrow len \mid | j == mat[row] \rightarrow len){}
                        end = true;
534
                        break;
535
                   }
536
               }
537
               if(end == true) break;
538
               i2 = ff->idcs[i]; // == mat[row]->idcs[j]
539
               ret->el[row] = addTable[ ret->el[row]
                    + multTable[ mat[row]->el[i2]*ff->el[i2] ] ];
541
               i++:
542
               j++;
543
               if(i==ff->len || j==mat[row]->len) end = true;
544
           }
545
       }
546
       i2 = 0;
547
       for(i=m-1;i>=0;i--){
           if(ret->el[i] != 0){
549
               ret->idcs[i2] = i;
550
               i2++;
551
           }
552
       }
553
       ret->len = i2;
554
555 }
```

Hier wird – anders als bei der Addition – nur nach den gemeinsamen Indizes gesucht (alle anderen Produkte sind schließlich 0). Invariante 6.19 stellt dabei wiederum sicher, dass das hier aufgeführte Verfahren funktioniert.

Ferner existiert eine Funktion, die das Freigeben von Matrizen erleichtert.

Listing 6.9: Aus ../Sage/enumeratePCNs.c

```
43 inline void freeFFElemMatrix(struct FFElem **mat, int len){
44    if(mat==0) return;
45    int i;
46    for(i=0;i<len;i++) freeFFElem(mat[i]);
47    free(mat);
48 }</pre>
```

Polynome

Im Hinblick auf das Testen von FFElems auf vollständige Normalität (bzw. vollständige Erzeuger-Eigenschaft) müssen wir einen Weg wählen, Polynome über endlichen Körpern darzustellen; also Polynome deren Koeffizienten FFElems sind. Dazu führen wir ein eigenes struct ein.

```
Listing 6.10: Aus ../Sage/enumeratePCNs.c
```

```
144 struct FFPoly{
      struct FFElem **poly;
      int lenPoly;
146
147 };
                      Listing 6.11: Aus ../Sage/enumeratePCNs.c
149 inline struct FFPoly *mallocFFPoly(int m, int lenPoly){
      struct FFPoly *poly = malloc(lenPoly*sizeof(struct FFElem*));
      poly->lenPoly = lenPoly;
      int i;
152
      for(i=0;i<lenPoly;i++) poly->poly[i] = mallocFFElem(m);
153
      return poly;
154
155 }
```

Listing 6.12: Aus ../Sage/enumeratePCNs.c

```
inline void freeFFPoly(struct FFPoly *poly){
   int i;
   for(i=0;i<poly->lenPoly;i++) freeFFElem(poly->poly[i]);
   free(poly->poly);
   free(poly);
}
```

6.3 | Potenzieren und Primitivitätstest

6.3.1 Potenzieren

Für das Potenzieren von FFElems wurde stets ein Square-and-Multiply-Ansatz verwendet. Da in endlichen Körpern jedoch das Potenzieren mit der Charakteristik eine lineare Abbildung darstellt,

ist es a priori nicht unklug eine p-adische Square-and-Multiply-Variante zu wählen. Es hat sich jedoch herausgestellt, dass in den meisten Fällen normales Square-and-Multiply schneller ist als sein p-adisches Pendant. Dies veranschaulicht auch nachstehendes Beispiel.

Beispiel 6.24. Sei $u \in E := \mathbb{F}_{3^4}$ und zu berechnen sei u^{16} , so stellen wir zunächst 16 binär und 3-adisch da:

$$16 = 10000_2 = 121_3$$
.

Damit gilt

$$u^{16} = ((u^2)^2)^2 = (u^3 \cdot u \cdot u)^3 \cdot u$$
.

In einer Implementierung sehen wir also, dass die binäre Exponentiation 4 Quadrierungen "kostet", die 3-adische Version hingegen 2 Matrixmultiplikationen und 3 Multiplikationen. Da in der Regel allgemeine Multiplikationen teuer sind, wäre in diesem Fall die binäre Variante wohl die bessere Wahl.

Wollen wir u^{10} berechnen, so sehen wir aus

$$10 = 1010_2 = 101_3$$

dass in diesem Fall die binäre Exponentiation 4 Quadierungen und eine allgemeine Multiplikation erfordert, die 3-adische Variante jedoch nur 2 Matrixmultiplikationen und 1 allgemeine Multiplikation. Letzteres lässt sich sogar auf eine Matrixmultiplikation reduzieren, berechnet man die Darstellungsmatrix der linearen Abbildung $E \to E$, $x \mapsto x^9$ bereits vorher! Die beiden Varianten der Berechnung würden in diesem Fall also wie folgt von Statten gehen:

$$u^{10} = ((u^2)^2 \cdot u)^2 = u^9 \cdot u.$$

Nachstehend werden nun die beiden Varianten der Implementierung der Potenzierung aufgeführt. Wir beginnen mit p-adischem Square-and-Multiply. Zu bemerken ist, dass die Potenz bereits in p-adischer Darstellung als int-Array übergeben werden muss. Zudem werden vermeidbare Matrix-multiplikationen (vgl. obiges Beispiel) nicht durchgeführt und es ist sicherzustellen, dass struct FFElem **matCharac als struct FFElem*-Array von Länge (l+1)m ist, wobei l die Länge des maximal auftretenden 0-Intervalls in der p-adischen Darstellung meint (in obigem Beispiel bei u^{10} wäre l=1).

Listing 6.13: Aus ../Sage/enumeratePCNs.c

```
562 /**
    * Square and multiply in charac
    * mat is powering by charac
564
565
    * !! ff is modified !!
566
567
568 inline void powerFFElem(struct FFElem *ff, struct FFElem *mipo,
          struct FFElem *ret,
569
          int m, int *power, int powerLen,
570
          struct FFElem **matCharac, int *tmp, struct FFElem *ffTmp,
571
           int *multTable, int *addTable){
572
       int i,j,k;
573
       int lenCurGap = 0;
574
575
       struct FFElem *ffSwitch = 0;
       struct FFElem *ffRetInt = ret;
576
```

```
// init ret to 1
577
       ffRetInt->el[0] = 1; ffRetInt->idcs[0] = 0; ffRetInt->len = 1;
578
       for(j=powerLen-1;j>=0;j--){
           for(k=0;k<power[j];k++){</pre>
580
               multiplyFFElem(ffRetInt,ff,ffTmp, mipo,tmp,m,multTable,addTable);
581
               ffSwitch = ffRetInt; ffRetInt = ffTmp; ffTmp = ffSwitch;
583
           if(j==0 || power[j-1] == 0){
584
               lenCurGap++;
585
               continue;
586
587
          matmul(matCharac+lenCurGap*m, ff, ffTmp, m, multTable,addTable);
588
           ffSwitch = ff; ff = ffTmp; ffTmp = ffSwitch;
589
           lenCurGap = 0;
       }
591
       copyFFElem(ffRetInt,ret);
592
593 }
```

Als nächstes folgt die standardmäßige binäre Exponentiation. Auch hier wird die Potenz bereits in Binärdarstellung erwartet.

Listing 6.14: Aus ../Sage/enumeratePCNs.c

```
602 /**
    * Square and multiply
603
604
   * !! ff is modified !!
605
606
607 inline void powerFFElemSqM(struct FFElem *ff, struct FFElem *mipo,
           struct FFElem *ret,
608
           int m, int *power, int powerLen,
610
           int *tmp, struct FFElem *ffTmp,
           int *multTable, int *addTable){
611
       int i,j,k;
612
       int lenCurGap = 0;
613
       struct FFElem *ffSwitch = 0;
614
       struct FFElem *ffRetInt = ret;
615
       // init ret to 1
616
       ffRetInt->el[0] = 1; ffRetInt->idcs[0] = 0; ffRetInt->len = 1;
       for(j=powerLen-1; j>=0; j--){
618
           if(power[j] == 1){
619
              multiplyFFElem(ffRetInt,ff,ffTmp, mipo,tmp,m,multTable,addTable);
620
               //switch ffTmp and ffRetInt
              ffSwitch = ffRetInt; ffRetInt = ffTmp; ffTmp = ffSwitch;
622
           }
623
           if(j>0){
624
              squareFFElem(ff,mipo,ffTmp,tmp,m,multTable,addTable);
               //switch ffTmp and ff
626
              ffSwitch = ff; ff = ffTmp; ffTmp = ffSwitch;
627
628
       copyFFElem(ffRetInt,ret);
630
631 }
```

6.3.2 Primitivitätstest

Beim Testen eines Elements eines endlichen Körpers auf Primitivität bedienen wir uns des wohlbekannten Satz von Lagrange aus der Gruppentheorie und geben zunächst ein kleines Lemma an, auf dem der dann folgende Algorithmus basiert.

Lemma 6.25. $Sei \ u \in \mathbb{F}_q \ und$

$$q-1 = p_1^{\nu_1} \cdot \ldots \cdot p_r^{\nu_r}$$

die Primfaktorzerlegung von q-1. Definiere für alle $i=1,\ldots,r$

$$\bar{n}_i := \frac{q-1}{p_i} = p_1^{\nu_1} \cdot \ldots \cdot p_{i-1}^{\nu_{i-1}} \cdot p_i^{\nu_{i-1}} \cdot p_{i+1}^{\nu_{i+1}} \cdot \ldots \cdot p_r^{\nu_r}.$$

Dann gilt: u ist primitiv genau dann, wenn

$$u^{\bar{n}_i} \neq 1 \quad \forall i = 1, \dots, r$$

Beweis. Per definitionem der Primitivität klar.

Es bleibt jedoch immer noch offen diese r Potenzierungen möglichst gut zu organisieren. Nehmen wir an, die Primzahlen sind in der Primfaktorzerlegung

$$q-1 = p_1^{\nu_1} \cdot \ldots \cdot p_r^{\nu_r}$$

aufsteigend sortiert, also $p_1 < p_2 < \ldots < p_r$, so hat sich als besonders hilfreich erwiesen, die Potenzen \bar{n}_i auf Basis der Potenzen

- $d := \operatorname{ggT}\{\bar{n}_i : i = 1, \dots, r\}$ und
- $d' \coloneqq \operatorname{ggT}\{\frac{\bar{n}_i}{d}: i = 1, \dots, r-1\}$

durchzuführen und die bereits berechneten Potenzen zu nutzen, wie nachstehendes Beispiel veranschaulicht.

Beispiel 6.26. Sei $u \in \mathbb{F}_{3^{10}}$. Da

$$3^{10} - 1 = 2^3 \cdot 11^2 \cdot 61$$
.

sind folgende Potenzen von u zu berechnen:

$$\begin{split} \bar{n}_1 &= 2^2 \cdot 11^2 \cdot 61 = 29524 \,, \\ \bar{n}_2 &= 2^3 \cdot 11 \cdot 61 = 5368 \,, \\ \bar{n}_3 &= 2^3 \cdot 11^2 = 968 \,. \end{split}$$

Wir sehen jedoch dass die Potenzen

$$d := ggT\{\bar{n}_1, \bar{n}_2, \bar{n}_3\} = 2^2 \cdot 11 = 44$$

und

$$d' := \operatorname{ggT}\{\frac{\bar{n}_1}{d}, \frac{\bar{n}_2}{d}\} = 61$$

uns die Arbeit erheblich erleichtern können: Wir berechnen $v := u^d = u^{44}$ und $w := v^{d'} = v^{61}$ separat, so schreiben sich die restlichen Potenzen wie folgt:

$$u^{\bar{n}_3} = w^{11},$$

 $u^{\bar{n}_2} = v^2,$
 $u^{\bar{n}_1} = v^2 \cdot v^9.$

Selbstverständlich kann man den Test auf Primitivität bereits abbrechen, falls v = 1 oder w = 1. Es ist klar, dass in diesem Beispiel obiges Vorgehen eine erhebliche Verkleinerung der zu berechnenden Potenzen liefert, die jedoch nicht in allen Fällen erwartet werden kann.

In nachstehender Implementierung sind die separat aufgelisteten Potenzen d mit commonBarFactor und d' mit commonBiggestBarFactor bezeichnet und werden in p-adischer bzw. binärer Darstellung erwartet. Ferner werden die restlichen \bar{n}_i s in barFactors bereits in p-adischer bzw. binärer Darstellung als ein einziges int-Array übergeben, wobei die jeweilige Länge der einzelnen Faktoren in dem int-Array lenBarFactors zu hinterlegen ist. Wie im Quelltext bemerkt, wird die Exponentiation p-adisch durchgeführt (siehe Listing 6.13), falls matCharac ungleich 0 ist, ansonsten binär (siehe Listing 6.14), wobei natürlich sicherzustellen ist, dass die Potenzen in passender Darstellung vorliegen.

Listing 6.15: Aus ../Sage/enumeratePCNs.c

```
666 /**
    * Test if element is primitive.
667
668
      !! if matCharac is Zero, all powers are assumed as binary arrays !!
669
670
    * !! fff,ffTmp,ffTmp2,ffTmp3,ffRet must be malloced !!
   * !! x is NOT modified !!
673
674 inline bool isPrimitive(struct FFElem *ff, struct FFElem *mipo,
675
           int *barFactors, int *lenBarFactors, int countBarFactors,
676
           int *commonBarFactor, int lenCommonBarFactor,
677
           int *commonBiggestBarFactor, int lenCommonBiggestBarFactor,
678
           struct FFElem **matCharac,
           struct FFElem *fff, struct FFElem *ffff, struct FFElem *ffTmp,
680
           struct FFElem *ffTmp2, struct FFElem *ffRet,
681
           int *tmp, int *multTable, int *addTable){
682
       int i;
683
       int curPos = 0;
684
       bool binarySqM = (matCharac == 0);
685
       struct FFElem *ffSwitch = 0;
686
687
       copyFFElem(ff,fff);
688
       // all barFactors are power of commonBarFactor
689
       if(binarySqM)
690
          powerFFElemSqM(fff,mipo,ffTmp,
691
                  m, commonBarFactor, lenCommonBarFactor,
692
                  tmp,ffTmp2,
693
                  multTable,addTable);
694
695
       else
          powerFFElem(fff,mipo,ffTmp,
696
```

```
m,commonBarFactor,lenCommonBarFactor,
697
                  matCharac,tmp,ffTmp2,
698
                  multTable,addTable);
699
       if(isOne(ffTmp)) return false;
700
       //switch ffTmp and fff
701
       ffSwitch = fff; fff = ffTmp; ffTmp = ffSwitch;
702
       copyFFElem(fff,ffff);
       //test first barFactor
704
       if(binarySqM)
705
           powerFFElemSqM(ffff,mipo,ffTmp,
706
                  m, barFactors, lenBarFactors[0],
707
708
                   tmp,ffTmp2,
                  multTable,addTable);
709
       else
710
711
           powerFFElem(ffff,mipo,ffTmp,
                  m, barFactors, lenBarFactors[0],
712
                  matCharac,tmp,ffTmp2,
713
                  multTable,addTable);
714
       if(isOne(ffTmp)) return false;
715
       curPos += lenBarFactors[0];
716
       //test further factors which are powers of commonBiggestBarFactor
717
       //so first, calc y^commonBiggestBarFactor
       copyFFElem(fff, ffff);
       if(binarySqM)
720
           powerFFElemSqM(ffff,mipo,ffTmp,
721
                  m,commonBiggestBarFactor,lenCommonBiggestBarFactor,
722
                  tmp,ffTmp2,
723
                  multTable,addTable);
724
       else
725
           powerFFElem(ffff,mipo,ffTmp,
                  m,commonBiggestBarFactor,lenCommonBiggestBarFactor,
727
                  matCharac,tmp,ffTmp2,
728
                  multTable,addTable);
729
       if(isOne(ffTmp)) return false;
730
       ffSwitch = fff; fff = ffTmp; ffTmp = ffSwitch;
731
       for(i=1;i<countBarFactors;i++){</pre>
732
           // copy z (fff) to ffff
           copyFFElem(fff,ffff);
           // *** ffff == fff == y^commonBiggestBarFactor
735
           if(binarySqM)
736
               powerFFElemSqM(ffff, mipo, ffTmp,
737
                      m,barFactors+curPos, lenBarFactors[i],
738
                       tmp,ffTmp2,
739
                      multTable,addTable);
740
           else
               powerFFElem(ffff, mipo, ffTmp,
742
                       m,barFactors+curPos, lenBarFactors[i],
743
                      matCharac,tmp,ffTmp2,
744
                      multTable,addTable);
745
746
           if(i>1){
747
748
               multiplyFFElem(ffRet,ffTmp,ffTmp2,mipo,
                       tmp,m,multTable,addTable);
           }else{
750
```

```
ffSwitch = ffTmp2; ffTmp2 = ffTmp; ffTmp = ffSwitch;

ffSuitch = ffTmp2; ffTmp2 = ffTmp; ffTmp = ffSwitch;

ffSuitch = ffTmp2) return false;

curPos += lenBarFactors[i];

ffSwitch = ffRet; ffRet = ffTmp2; ffTmp2 = ffSwitch;

ffSwitch = ffRet; ffRet = ffTmp2; ffTmp2 = ffSwitch;

return true;

ffSwitch = ffTmp2; ffTmp2 = ffSwitch;

ffSwitch = ffRet; ffRet = ffTmp2; ffTmp2 = ffSwitch;

ffSwitch = ffTmp2; ffTmp2 = ffSwitch;

ffSwitch = ffTmp2; ffTmp2 = ffSwitch;

ffSwitch = ffTmp2; ffTmp2 = ffTmp; ffTmp = ffSwitch;

ffSwitch = ffTmp2; ffTmp2 = ffTmp; ffTmp = ffSwitch;

ffSwitch = ffTmp2; ffTmp2 = ffTmp; ffTmp = ffSwitch;

ffSwitch = ffTmp2; ffTmp2 = ffTmp; ffTmp = ffSwitch;

ffSwitch = ffTmp2; ffTmp2 = ffTmp2; ffTmp2 = ffSwitch;

ffSwitch = ffRet; ffRet = ffTmp2; ffTmp2 = ffSwitch;

ffSwitch = ffRet; ffRet = ffTmp2; ffTmp2 = ffSwitch;

ffSwitch = ffRet; ffRet = ffTmp2; ffTmp2 = ffSwitch;

ffSwitch = ffRet; ffRet = ffTmp2; ffTmp2 = ffSwitch;

ffSwitch = ffRet; ffRet = ffTmp2; ffTmp2 = ffSwitch;

ffSwitch = ffRet; ffRet = ffTmp2; ffTmp2 = ffSwitch;

ffSwitch = ffRet; ffRet = ffTmp2; ffTmp2 = ffSwitch;

ffSwitch = ffRet; ffRet = ffTmp2; ffTmp2 = ffSwitch;

ffSwitch = ffRet; ffRet = ffTmp2; ffTmp2 = ffSwitch;

ffSwitch = ffRet; ffRet = ffTmp2; ffTmp2 = ffSwitch;

ffSwitch = ffRet; ffRet = ffTmp2; ffTmp2 = ffSwitch;

ffSwitch = ffRet; ffRet = ffTmp2; ffTmp2 = ffSwitch;

ffSwitch = ffRet; ffRet = ffTmp2; ffTmp2 = ffSwitch;

ffSwitch = ffRet; ffRet = ffTmp2; ffTmp2 = ffSwitch;

ffSwitch = ffRet; ffRet = ffTmp2; ffTmp2 = ffSwitch;

ffSwitch = ffRet; ffRet = ffTmp2; ffTmp2 = ffSwitch;

ffSwitch = ffRet; ffRet = ffTmp2; ffTmp2 = ffSwitch;

ffSwitch = ffRet; ffRet = ffTmp2; ffTmp2 = ffSwitch;

ffSwitch = ffRet; ffRet = ffTmp2; ffTmp2 = ffSwitch;

ffSwitch = ffRet; ffRet = ffTmp2; ffTmp2 = ffSwitch;

ffSwitch = ffRet; ffRet = ffTmp2; ffTmp2 = ffSwitch;

ffSwitch = ffRet; ffRet = ffTmp2; ffTmp2 = ffSwitch;

ffSwitch = ffTmp2; ffTmp2 = ffSwitch;

ffSwitch = ffTmp2; ffTmp2 = ffSwitch;

ffSwitch = ffTmp2; ffTmp2 = ffSwitch;
```

6.4 Frobenius-Auswertung und Test auf vollständige Erzeuger-Eigenschaft

6.4.1 | Frobenius-Auswertung

Sei wie immer $F = \mathbb{F}_q$ ein endlicher Körper und $E = \mathbb{F}_{q^m}$ eine Körpererweiterung. Sei $\mathcal{C}_{k,t}$ ein verallgemeinerter Kreisteilungsmodul über F (vgl. Definition 5.5) und $u \in E$ ein Element, das wir als vollständigen Erzeuger in Betracht ziehen (vgl. Definition 5.6). Nach ?? (3) ist u genau dann ein vollständiger Erzeuger von $\mathcal{C}_{k,t}$, wenn

$$\operatorname{Ord}_{q^d}(u) = \Phi_{\nu(k), \frac{kt}{\nu(k)d}} \quad \forall d \mid \frac{kt}{\nu(k)}.$$

Folglich müssen wir, um q-Ordnungen berechnen zu können, in der Lage sein, für beliebige Zwischenkörper $F \mid K \mid E$ von Grad d über F und beliebige $f(x) \in K[x]$

$$f(\sigma^d)(u) \in E$$

auswerten zu können, wobei wieder $\sigma: \bar{F} \to \bar{F}, x \mapsto x^q$ den Frobenius über F bezeichne. Bleibt die Frage, wie die verschiedenen Zwischenkörper mit Hilfe der FFElems gelesen werden können. Da wir E jedoch stets als Erweiterung über dem zu Grunde liegenden Primkörper betrachten (vgl. Unterabschnitt 6.2.1) ist dies völlig unklar. Daher umgehen wir dieses Problem und betrachten eine beliebige Einbettung von K in E. Die Frage, ob man damit immer noch q-Ordnungen berechnen kann, beantwortet nachstehendes Lemma.

Lemma 6.27. Seien $F \mid K \mid E$ ein Turm endlicher Körper mit [K : F] = d und $\sigma : \overline{F} \to \overline{F}$ der Frobenius von F. Sei $f(x) \in K[x]$ ein Polynom und $u \in E$. Für je zwei injektive Körperhomomorphismen $g, h : K \to E$ ist entweder

$$h(f)(\sigma^d)(u) = 0$$
 and $g(f)(\sigma^d)(u) = 0$

oder

$$h(f)(\sigma^d)(u) \neq 0 \quad und \quad g(f)(\sigma^d)(u) \neq 0,$$

wobei $h(f) \in E[x]$ koeffizientenweise zu lesen ist.

Mit anderen Worten hängt also die Frage, ob eine Frobenius-Auswertung 0 ist oder nicht, nicht von der Wahl der konkreten Einbettung ab.

Müsste man hier usführlicher ımentieren?

Beweis. Aufgrund der Eindeutigkeit endlicher Körper (z.B. ??) unterscheiden sich zwei Einbettungen $g, h : K \to E$ lediglich um einen Automorphismus $a : E \to E$, also $h = a \circ g$. Dies beweist aber bereits die Behauptung.

Damit können wir uns erstmal davon ausgehen, dass die zu betrachtenden Polynome bereits in E[x] liegen; also vom Typ FFPoly sind. Analog zu Listing 6.13 wird auch hier das Potenzieren durch Matrixmultiplikation beschrieben, wobei sicherzustellen ist, dass die maximal auftretende Matrixpotenz vorhanden ist, d.h. übergibt man ein Polynom poly vom Grad k, so muss mats als Array bestehend aus FFElem* von Länge $m \cdot k$ sein, wobei m wiederum den Grad der Erweiterung von E über dem Primkörper meint. Das bedeutet insbesondere, dass die erste Matrix in mats die Darstellungsmatrix zu σ^1 ist und der Fall σ^0 = id separat betrachtet werden muss (vgl. Zeile 791 in Listing 6.16).

Im Hinblick auf das Berechnen von q-Ordnungen, wo ein Körperelement meist mehr als einmal einer Frobenius-Auswertung unterzogen werden muss, haben wir die Möglichkeit bereitgestellt, bereits durchgeführte Matrixmultiplikationen in matmulCache zu speichern. Das Array matmulCacheCalced gibt dabei an, welche Stellen in matmulCache bereits berechnet wurden. Selbstredend wird dieser Zwischenspeicher durch die Ausführung von applyFrob fortwährend aktualisiert.

Listing 6.16: Aus ../Sage/enumeratePCNs.c

```
773 /*
   * calculates g(sigma^frobPower)(x) where g is a polynomial
    * and sigma the frobenius
775
    * application of frobenius is given by mats
776
777
778 inline void applyFrob(struct FFElem *ff, struct FFElem *mipo,
           struct FFPoly *poly,
779
           struct FFElem **mats,
           int frobPower, struct FFElem *ret,
           int m, int *tmp, struct FFElem *ffTmp, struct FFElem *ffTmp2,
782
           struct FFElem **matmulCache, bool *matmulCacheCalced,
783
           int *multTable, int *addTable){
784
       int i,j;
785
786
       ret->len = 0;
       for(i=0;i<poly->lenPoly;i++){
           if(poly->poly[i]->len == 0) continue;
789
           j = i*frobPower-1;
790
           if(i>0 && matmulCacheCalced[j] == true){
791
              multiplyFFElem(matmulCache[j],poly->poly[i],
792
                      ffTmp, mipo,
793
                      tmp,m,multTable,addTable);
794
              addFFElem(ret,ffTmp,ret,tmp,multTable,addTable);
           }else{
              if(i>0){
797
                  matmul(mats+j*m, ff, ffTmp, m, multTable,addTable);
798
                  //update matmulCache
799
                  copyFFElem(ffTmp, matmulCache[j]);
800
801
                  matmulCacheCalced[j] = true;
              }else{
802
```

```
copyFFElem(ff,ffTmp);
803
              }
804
              //go on and multiply ffTmp with current coefficient
              multiplyFFElem(ffTmp, poly->poly[i],
806
                      ffTmp2, mipo,
807
                      tmp,m,multTable,addTable);
              addFFElem(ret,ffTmp2,ret,tmp,multTable,addTable);
           }
810
       }
811
812 }
```

Falls bereits klar ist, dass für ein gegebenes Element nur eine Frobenius-Auswertung vollzogen wird, so ist der matmulCache überflüssig und führt zur Variante applyFrob_noCache, die ansonsten identisch zu obigem ist.

Listing 6.17: Aus ../Sage/enumeratePCNs.c

```
827 /*
    * calculates q(sigma^frobPower)(x) where q is a polynomial
    * and sigma the frobenius
    * application of frobenius is given by mats
830
831
   inline void applyFrob_noCache(struct FFElem *ff, struct FFElem *mipo,
           struct FFPoly *poly,
833
           struct FFElem **mats,
834
           int frobPower, struct FFElem *ret,
835
           int m, int *tmp, struct FFElem *ffTmp, struct FFElem *ffTmp2,
836
           int *multTable, int *addTable){
837
       int i,j;
838
       ret->len = 0;
839
840
       for(i=0;i<poly->lenPoly;i++){
841
           if(poly->poly[i]->len == 0) continue;
842
843
           if(i>0){
              j = i*frobPower-1;
844
              matmul(mats+j*m, ff, ffTmp, m, multTable,addTable);
845
           }else{
846
              copyFFElem(ff,ffTmp);
848
          multiplyFFElem(ffTmp, poly->poly[i],
849
                  ffTmp2, mipo,
850
                   tmp,m,multTable,addTable);
851
           addFFElem(ret,ffTmp2,ret,tmp,multTable,addTable);
852
       }
853
854 }
```

6.4.2 | Testen von vollständigen Erzeugern

Wie bereits erwähnt ist $u \in \mathbb{F}_{q^m}$ über \mathbb{F}_q genau dann ein vollständiger Erzeuger eines verallgemeinerten Kreisteilungsmoduls $C_{k,t}$, wenn

$$\operatorname{Ord}_{q^d}(u) = \Phi_{\nu(k), \frac{kt}{\nu(k)d}} \quad \forall d \mid \frac{kt}{\nu(k)}.$$

Analog zum Primitivitätstest reicht es, lediglich maximale Kofaktoren des jeweiligen verallgemeinerten Kreisteilungspolynoms zu testen, wie nachstehendes Lemma beschreibt.

Lemma 6.28. Seien $u \in \mathbb{F}_{q^m}$ und $\Phi_{k,t}(x) \in \mathbb{F}_q[x]$ ein verallgemeinertes Kreisteilungspolynom. Sei ferner

$$\Phi_{k,t}(x) = f_1(x)^{\nu_1} \cdot \ldots \cdot f_r(x)^{\nu_r} \in \mathbb{F}_q[x]$$

die vollständige Faktorisierung von $\Phi_{k,t}$ über \mathbb{F}_q und bezeichne $F_i(x) := \frac{\Phi_{k,t}(x)}{f_i(x)}$ den jeweiligen maximalen Kofaktor von f_i in $\Phi_{k,t}$ für alle $i=1,\ldots,r$. Seien zuletzt $h:\mathbb{F}_q\to\mathbb{F}_{q^m}$ ein injektiver Körperhomomorphismus und $\sigma:\overline{\mathbb{F}}_q\to\overline{\mathbb{F}}_q, x\mapsto x^q$ der Frobenius von \mathbb{F}_q , so ist $\mathrm{Ord}_q(u)=\Phi_{k,t}$ genau dann, wenn

$$h(\Phi_{k,t})(\sigma)(u) = 0$$
 and $h(F_i)(\sigma)(u) \neq 0 \quad \forall i = 1, ..., r$.

Beweis. Klar per definitionem der q-Ordnung und Lemma 6.27.

Nun können wir auf diese Weise leicht eine Implementierung eines Tests auf vollständige Erzeuger-Eigenschaft angeben, wenn wir davon ausgehen, dass die Berechnung der maximalen Kofaktoren bereits geschehen ist. In Listing 6.18 ist also sicherzustellen, dass in dem Array polys sowohl das verallgemeinerte Kreisteilungspolynom, als auch alle maximalen Kofaktoren auftauchen. Das Array evalToZero gibt dabei an, ob bei Vorliegen eines vollständigen Erzeugers die Auswertung am jeweiligen Polynom 0 ergibt (true) oder nicht (false). Der Rückgabewert der Funktion ist selbstredend ein bool mit der Information, ob das getestete Element ff ein vollständiger Erzeuger dieses Kreisteilungsmoduls ist (true) oder nicht (false).

Listing 6.18: Aus ../Sage/enumeratePCNs.c

```
912 inline bool testSubmod(struct FFElem *ff, struct FFElem *mipo,
           struct FFPoly **polys,
913
914
           int polysCount, bool *evalToZero,
           struct FFElem **mats, int *frobPowers,
915
           int m, int *tmp,
916
           struct FFElem *ffTmp, struct FFElem *ffTmp2, struct FFElem *ffTmp3,
917
           struct FFElem **matmulCache, bool *matmulCacheCalced,
918
           int *multTable, int *addTable){
919
       int i;
920
       int goodCounter = 0;
921
       for(i=0;i<polysCount;i++){</pre>
922
           applyFrob(ff,mipo,
923
                   polys[i],
                   mats,frobPowers[i], ffTmp,
925
                   m,tmp,ffTmp2,ffTmp3,
926
                   matmulCache, matmulCacheCalced,
927
                   multTable,addTable);
928
           if( isZero(ffTmp) == evalToZero[i] ){
929
               goodCounter++;
930
           }else{
931
               return false;
           }
933
934
       if(goodCounter == polysCount){
935
           return true;
936
937
       }
       return false;
938
```

```
939 }
```

Ferner bieten wir die Möglichkeit ein Element auf vollständige Erzeuger-Eigenschaft für mehrere verallgemeinerte Kreisteilungsmoduln zu testen, wie Listing 6.19 zeigt. decompCount ist dabei die Anzahl der zu testenden verallgemeinerten Kreisteilungsmoduln und das Array polysCountPerDecomp gibt die Anzahl der Polynome für den jeweiligen Kreisteilungsmodul an. Das Array bool * toTestIndicator legt fest, welche Kreisteilungsmodule getestet werden. Der Rückgabewert – anders als in Listing 6.18 – ist ein int, der die Werte –1, falls ff kein vollständiger Erzeuger der getesteten Kreisteilungsmoduln ist, oder i, falls ff gerade vollständiger Erzeuger des i-ten getesteten Kreisteilungsmoduls ist, annimmt. Ferner bricht die Funktion ab, falls ff ein vollständiger Erzeuger ist, da es klar sein sollte, dass diese Eigenschaft lediglich für einen verallgemeinerten Kreisteilungsmodul zutreffen kann.

Listing 6.19: Aus ../Sage/enumeratePCNs.c

```
861 inline int testAllSubmods(struct FFElem *ff, struct FFElem *mipo,
           int decompCount, struct FFPoly **polys,
862
           int *polysCountPerDecomp, bool *evalToZero,
863
           struct FFElem **mats, int *frobPowers, bool *toTestIndicator,
           int m, int *tmp,
           struct FFElem *ffTmp, struct FFElem *ffTmp2, struct FFElem *ffTmp3,
866
           struct FFElem **matmulCache, bool *matmulCacheCalced,
867
           int *multTable, int *addTable){
868
       if(ff->len == 0) return -1;
869
       int i,j,k;
870
       int goodCounter = 0;
871
       int curDecompPosition = 0;
       for(i=0;i<decompCount;i++){</pre>
873
           if(toTestIndicator != 0 && toTestIndicator[i] == false){
874
              curDecompPosition += polysCountPerDecomp[i];
875
              continue;
876
           }
877
           goodCounter = 0;
878
           for(j=0;j<polysCountPerDecomp[i];j++){</pre>
879
              applyFrob(ff,mipo,
                      polys[curDecompPosition+j],
881
                      mats,frobPowers[curDecompPosition+j], ffTmp,
882
                      m,tmp,ffTmp2,ffTmp3,
883
                      matmulCache, matmulCacheCalced,
884
                      multTable,addTable);
885
              if( isZero(ffTmp) == evalToZero[curDecompPosition+j] ){
886
                  goodCounter++;
              }else break;
           }
889
           if(goodCounter == polysCountPerDecomp[i]){
890
              return i;
891
           }
892
           curDecompPosition += polysCountPerDecomp[i];
893
894
      return -1;
895
896 }
```

6.5 | Implementierung der gezielten Enumeration

6.5.1 Enumeration eines verallgemeinerten Kreisteilungsmoduls

Sei $E := \mathbb{F}_{q^m}$ über $F := \mathbb{F}_q$ eine Körpererweiterung endlicher Körper. Die Frage nach einer Enumeration aller vollständig normaler Elemente dieser Erweiterung lässt sich nach dem Zerlegungssatz (Satz 5.9) auf die separate Enumeration von verallgemeinerten Kreisteilungsmoduln zurückführen. Daher starten wir mit einem verallgemeinerten Kreisteilungsmodul $\mathcal{C}_{k,t}$ über \mathbb{F}_q . Sicherlich könnte man alle q^m Elemente von E testen, ob sie vollständige Erzeuger von $\mathcal{C}_{k,t}$ sind, was jedoch einen unnötig großen Aufwand darstellen würde. Sei nämlich $u \in E$ ein vollständiger Erzeuger von $\mathcal{C}_{k,t}$, so erhalten wir alle weiteren Elemente dieses Kreisteilungsmoduls durch Anwendung von Korollar 3.40, was wir hier in passender Notation noch einmal formulieren möchten.

Lemma 6.29. Sei $u \in E$ ein vollständiger Erzeuger von $C_{k,t}$ über F. Dann gilt

$$C_{k,t} = \left\{ f(\sigma)(u) : f(x) \in F[x]_{\langle \varphi(k) t}, \operatorname{ggT}(f, \Phi_{k,t}) = 1 \right\},\,$$

wobei wiederum σ den Frobenius von F und φ die Eulersche φ -Funktion notieren.

Beweis. Korollar 3.40 mit der Erkenntnis, dass $\deg(\Phi_{k,t}) = \varphi(k) t$.

Nun ist klar, wie wir ausgehend von einem Erzeuger alle weiteren generieren können: Sei $u \in E$ ein vollständiger Erzeuger von $C_{k,t}$ über F, so berechnen wir iterativ $v := f(\sigma)(u)$ für alle $f \in F[x]_{<\varphi(k)t}$ mit applyFrob_noCache (Listing 6.17) und testen anschließend v auf vollständige Erzeuger-Eigenschaft mit testSubmod (Listing 6.18). Auf eine Berechnung von $ggT(f, \Phi_{k,t})$ verzichten wir, da wir testSubmod ohnehin ausführen müssen und damit durch die Kenntnis des ggT keinen Vorteil erlangen würden. Die Generierung der fs erfolgt direkt in Listing 6.20, wobei die Elemente aus F wieder mittels eines injektiven Körperhomomorphismus $F \to E$ als FFElem*-Array namens elementsF übergeben werden.

Bemerkung 6.30. Wiederum überzeuge man sich kurz mit der gleichen Argumentation wie in Lemma 6.27, dass ein Endomorphismus $E \to E$ lediglich die Erzeuger eines verallgemeinerten Kreisteilungsmoduls permutiert.

Müsste man hier ausführlicher argumentieren?

Wie erwähnt müssen wir dieses Verfahren natürlich mit einem vollständigen Erzeuger starten. Es ist sicherzustellen, dass sich dieser am aktuellen Knoten der Liste struct Node *root befindet.

Listing 6.20: Aus ../Sage/enumeratePCNs.c

```
953 inline void calcSubmoduleElements(struct Node *root,
          struct FFElem *mipo,
954
           int maxLenPoly,
           int *genCounts, int curGen,
956
           struct FFPoly **polys, int polysCount, bool *evalToZero,
957
           struct FFElem **mats, int matLen, int *frobPowers,
958
           struct FFElem **elementsF,
959
960
           int m, int q, int *tmp,
           struct FFElem *ffTmp, struct FFElem *ffTmp2, struct FFElem *ffTmp3,
961
```

```
struct FFElem *ffTmp4,
962
            struct FFElem **matmulCache, bool *matmulCacheCalced,
963
            int *multTable, int *addTable){
965
        int i,j;
        struct Node *curRoot = root;
966
        struct FFElem *ff = root->ff;
967
        int *curPoly = malloc( maxLenPoly*sizeof(int) );
968
        struct FFPoly *curFPoly = malloc( sizeof(struct FFPoly) );
969
        curFPoly->poly = malloc( maxLenPoly*sizeof(struct FFElem*) );
970
        curFPoly->lenPoly = 0;
971
        initPoly(curPoly,maxLenPoly);
973
        curPoly[0] = 2;
974
        int curLenPoly = 1;
975
        if( q == 2 \&\& maxLenPoly > 1){
976
            curLenPoly = 2;
977
            curPoly[0] = 0;
978
            curPoly[1] = 1;
979
980
        if(q != 2 || maxLenPoly > 1){
981
           while(true){
982
               //setup curFPoly
               for(i=0;i<curLenPoly;i++)</pre>
984
                    curFPoly->poly[i] = elementsF[curPoly[i]];
985
               curFPoly->lenPoly = curLenPoly;
986
                //apply Frobenius
               applyFrob_noCache(ff,mipo,
988
                       curFPoly,
989
                       mats,1, ffTmp, //return value
990
                       m,tmp,ffTmp2,ffTmp3,
                       multTable,addTable);
992
                //test generated element
993
               for(i=0;i<matLen;i++) matmulCacheCalced[i] = false;</pre>
994
                if(testSubmod(ffTmp, mipo,
995
                       polys, polysCount, evalToZero,
996
                       mats,frobPowers,m,tmp,
997
                       ffTmp2,ffTmp3,ffTmp4,
                       \verb|matmulCacheCalced, multTable,addTable|)){|}
                    curRoot = appendToEnd(curRoot,ffTmp,m);
1000
                    genCounts[curGen]++;
1001
1002
               //generate next element
1003
               curPoly[0] += 1;
1004
               if( curPoly[0] == q ){
1005
                    for(i=0;i<maxLenPoly-1 && curPoly[i]==q;i++){</pre>
1006
                       curPoly[i] = 0;
1007
                       curPoly[i+1] += 1;
1008
1009
                    if(i+1>curLenPoly)
1010
                       curLenPoly = i+1;
1011
                    if( curPoly[maxLenPoly-1] == q){
1012
                       break;
1013
                   }
1014
               }
1015
```

```
1016      }
1017      }
1018      free(curPoly);
1019      free(curFPoly->poly);
1020      free(curFPoly);
```

Wie man in obigem Listing erkennt, startet die Erzeugung der Polynome aus $F[x]_{\varphi(k)t}$ beim Polynom $2 \in F[x]$ (falls es die Charakteristik zulässt), da $1 \in F[x]$ ja wieder $(1)(\sigma)(u) = \mathrm{id}(u) = u$ liefert. maxLenPoly gibt dabei die maximale Länge der zu betrachtenden Polynome an (in hiesiger Notation also maxLenPoly= $\varphi(k)t+1$). Die Polynome selbst werden in zwei Schritten erzeugt: Sei $l := \max L$ enPoly, so durchläuft das int-Array curPoly alle Elemente aus \mathbb{Z}_q^l . Das korrekte Polynom in E[x] wird dann durch einsetzen jeder Stelle dieses Tupels aus \mathbb{Z}_q^l in die elementsF erzeugt und in curFPoly gespeichert.

Die Anzahl der berechneten Erzeuger werden im int-Array genCounts an der Stelle curGen gespeichert und da unsere Suche auf vollständig normale Elemente abzielt, werden die konkreten Erzeuger durch appendToEnd an die verkettete Liste struct Node *root angehängt und damit für späteres Zusammensetzen gespeichert.

Verkettete Listen zum Speichern berechneter vollständiger Erzeuger

Die verkettete Liste ist dabei wie folgt aufgebaut.

Listing 6.21: Aus ../Sage/enumeratePCNs.c

```
175 struct Node {
176     struct FFElem *ff;
177     struct Node *next;
178 };
```

Ebenfalls ist das Anheften eines Elements ans Ende der Liste wie man es erwartet, wobei zu bemerken gilt, dass der neue Endknoten zurückgegeben wird. Auf diese Weise muss nicht bei jedem Anheften die komplette Liste durchlaufen werden. Das Element struct FFElem *element wird dabei kopiert, so dass es anschließend weiterverwendet werden kann und die Liste unverändert bleibt (vgl. Anwendung in Listing 6.20).

Listing 6.22: Aus ../Sage/enumeratePCNs.c

```
180 /**
    * appends element to end of root, where element is copied to new FFElem.
181
182
183 inline struct Node *appendToEnd(struct Node *root, struct FFElem *element,int m){
       struct Node *nextNode = root;
184
       if( nextNode != 0){
185
          while(nextNode->next != 0){
              nextNode = nextNode->next;
187
188
          if( nextNode->ff != 0){
189
              nextNode->next = malloc( sizeof(struct Node) );
190
191
              nextNode = nextNode->next;
          }
192
```

```
if( nextNode != 0){
    nextNode->next = 0;
    nextNode->ff = mallocFFElem(m);
    copyFFElem(element,nextNode->ff);
    return nextNode;
}

return NULL;
}
```

Wie üblich in C, ist es hilfreich das Freigeben von Speicher in eine eigene Funktion zu setzen.

Listing 6.23: Aus ../Sage/enumeratePCNs.c

```
inline void freeNode(struct Node* head){
       struct Node *next_n = NULL;
204
       struct Node *tmp_n = NULL;
205
       for(tmp_n=head; tmp_n !=NULL; ){
206
           next_n = tmp_n->next;
207
           freeFFElem(tmp_n->ff);
208
           free(tmp_n);
209
           tmp_n = next_n;
210
       }
211
       head = 0;
212
213 }
```

6.5.2 Dynamische Enumeration des größten Kreisteilungsmoduls

Da der Zerlegungssatz (Satz 5.9) nicht immer eine echte Zerlegung liefert (sich also alle vollständig normalen Elemente auf einen einzigen Modul konzentrieren) und in vielen Zerlegungen ein verallgemeinerter Kreisteilungsmodul vorkommt, der verglichen mit den anderen Moduln dieser Zerlegung, besonders viele Elemente enthält, hat sich die Speicherung aller Erzeuger als schlecht erwiesen. Daher sind wir dazu übergegangen, den größten Kreisteilungsmodul dynamisch zu enumerieren. Das bedeutet, dass alle anderen verallgemeinerten Kreisteilungsmoduln vorab durch calcSubmoduleElements (Listing 6.20) behandelt werden. Bei der Enumeration des größten nutzen wir dann diese Informationen und setzen die gefundenen Erzeuger zu einem vollständig normalen Element zusammen. Dies können wir dann auf Primitivität durch isPrimitive (Listing 6.15) testen und abschließend verwerfen, da es uns ja nur auf eine Enumeration und nicht auf die konkrete Angabe der vollständig normalen und primitiven Elemente ankommt.

Die bereits berechneten vollständigen Erzeuger werden durch das Array von Listen **struct** Node **roots übergeben. decompCount gibt dabei die Anzahl aller (also inklusive des größten) verallgemeinerten Kreisteilungsmoduln an. Alle anderen Variablen wurden bereits in den vorherigen Funktionen erklärt, wobei noch bemerkt werden sollte, dass diesmal die Erzeugung der Polynome bei $1 \in F[x]$ startet, da der bereits gefundene Erzeuger des größten Kreisteilungsmoduls auch Teil einer gültigen Kombination zu einem vollständig normalen Element ist. Dieser "Fehler" in der Berechnung der Anzahl genCounts wird in Zeile 1156 am Ende der Funktion korrigiert. Der Erzeuger selbst befindet sich wieder am aktuellen Knoten der der letzten Liste des Arrays roots, da die

Datenstrukturen so aufgebaut werden, dass dieser größte verallgemeinerte Kreisteilungsmodul der letzte ist (siehe Zeilen 1062 und 1064).

Listing 6.24: Aus ../Sage/enumeratePCNs.c

```
1030 /**
    * Processes last submodule as others before, but does not save generated
    * elements. Cycles through already generated elements and tests for
    * primitivity:
1033
1034
    * !! all temporary variables are generated inside !!
1035
1036
1037 unsigned long long processLastSubmoduleAndTestPrimitivity(struct Node **roots,
           struct FFElem *mipo, int decompCount,
1038
           int maxLenPoly,
1039
           int *genCounts,
1040
           struct FFPoly **polys, int polysCount, bool *evalToZero,
1041
           struct FFElem **mats, int matLen, int *frobPowers,
1042
           struct FFElem **elementsF,
           int m, int q,
1044
           int *barFactors, int *lenBarFactors, int countBarFactors,
1045
           int *commonBarFactor, int lenCommonBarFactor,
1046
           int *commonBiggestBarFactor, int lenCommonBiggestBarFactor,
1047
           struct FFElem **matCharac,
1048
           struct FFElem **matmulCache, bool *matmulCacheCalced,
1049
           int *multTable, int *addTable){
1050
       //generate temporary variables
       struct FFElem *fff = mallocFFElem(m);
1052
       struct FFElem *ffff = mallocFFElem(m);
1053
       struct FFElem *ffTmp = mallocFFElem(m);
1054
       struct FFElem *ffTmp2 = mallocFFElem(m);
1055
       struct FFElem *ffTmp3 = mallocFFElem(m);
1056
       struct FFElem *ffTmp4 = mallocFFElem(m);
1057
       struct FFElem *ffTmp5 = mallocFFElem(m);
1058
       int *tmp = malloc(m*sizeof(int));
1059
1060
1061
       int i,j;
       int curGen = decompCount-1;
       struct Node **curRoots = malloc( decompCount*sizeof(struct Node*) );
1063
       struct FFElem *ff = roots[curGen]->ff;
1064
       int *curPoly = malloc( maxLenPoly*sizeof(int) );
1065
       struct FFPoly *curFPoly = malloc( sizeof(struct FFPoly) );
1066
       curFPoly->poly = malloc( maxLenPoly*sizeof(struct FFElem*) );
1067
       curFPoly->lenPoly = 0;
1068
1069
       initPoly(curPoly,maxLenPoly);
1070
       curPoly[0] = 1;
1071
       int curLenPoly = 1;
1072
1073
       unsigned long long pcn = 0;
       while(true){
1075
           //setup curFPoly
1076
           for(i=0;i<curLenPoly;i++)</pre>
1077
               curFPoly->poly[i] = elementsF[curPoly[i]];
           curFPoly->lenPoly = curLenPoly;
1079
```

```
//apply Frobenius
1080
            applyFrob_noCache(ff,mipo,
1081
                    curFPoly,
1082
                    mats,1, fff, //return value
1083
                    m,tmp,ffTmp,ffTmp2,
1084
                   multTable,addTable);
1085
            //test generated element
            for(i=0;i<matLen;i++) matmulCacheCalced[i] = false;</pre>
1087
            if(testSubmod(fff, mipo,
1088
                    polys,polysCount,evalToZero,
1089
                    mats,frobPowers,m,tmp,
1090
                    ffTmp,ffTmp2,ffTmp3,
1091
                    matmulCache,matmulCacheCalced, multTable,addTable)){
1092
                genCounts[curGen]++;
1093
1094
                // build element as sum of already calced Nodes and ffTmp
                for(i=0;i<decompCount;i++) curRoots[i] = roots[i];</pre>
1095
                // cycle through Nodes, build element and test primitivity
1096
                while(true){
1097
                    copyFFElem(fff,ffff);
1098
                    //build element
1099
                    for(i=0;i<decompCount-1;i++){</pre>
1100
                        addFFElem(ffff, curRoots[i]->ff, ffff, tmp,
1101
1102
                                multTable,addTable);
1103
                    //test primitivity
1104
                    if(countBarFactors > 0){
1105
                        if(isPrimitive(ffff, mipo,m,
1106
                                    barFactors, lenBarFactors, countBarFactors,
1107
                                    commonBarFactor,lenCommonBarFactor,
1108
1109
                                    commonBiggestBarFactor,lenCommonBiggestBarFactor,
                                    matCharac,
1110
                                    ffTmp,ffTmp2,ffTmp3,ffTmp4,ffTmp5,
1111
                                    tmp,multTable,addTable)){
1112
                            pcn++;
1113
                        }
1114
                    }
1115
1116
                    //next element
1117
                    curRoots[0] = curRoots[0]->next;
1118
                    if( curRoots[0] == 0 ){
1119
                       for(i=0;i<decompCount-1 && curRoots[i]==0;i++){</pre>
1120
                           curRoots[i] = roots[i];
1121
                           curRoots[i+1] = curRoots[i+1]->next;
1122
                       }
1123
                    }
1124
                    if( curRoots[decompCount-1] == 0){
1125
                       break;
1126
                    }
1127
                }
1128
            }
1129
            //generate next element
1130
            curPoly[0] += 1;
1131
            if( curPoly[0] == q){
1132
                for(i=0;i<maxLenPoly-1 && curPoly[i]==q;i++){</pre>
1133
```

```
curPoly[i] = 0;
1134
                     curPoly[i+1] += 1;
1135
                }
1136
                 if(i+1>curLenPoly)
1137
                     curLenPoly = i+1;
1138
                 if( curPoly[maxLenPoly-1]==q){
1139
                     break;
1140
1141
            }
1142
        }
1143
        free(curPoly);
1144
        free(curFPoly->poly);
1145
        free(curFPoly);
1146
        freeFFElem(fff);
1147
1148
        freeFFElem(ffff);
        freeFFElem(ffTmp);
1149
        freeFFElem(ffTmp2);
1150
        freeFFElem(ffTmp3);
1151
        freeFFElem(ffTmp4);
1152
        freeFFElem(ffTmp5);
1153
1154
        //we added first element twice
1155
1156
        genCounts[curGen]--;
        return pcn;
1157
1158 }
```

Bemerkung 6.31. Wie Zeile 1105 zu erkennen gibt, kann man durch das Setzen von countBarFactors = 0 den Test auf Primitivität überspringen. Dies ist sinnvoll, wenn man nur an der Anzahl der vollständig normalen Elemente interessiert ist.

Vorbereiten der Enumeration auf Auffinden vollständiger Erzeuger

Alle bisher betrachteten Verfahren basierten immer auf der Annahme, dass bereits ein vollständiger Erzeuger eines Kreisteilungsmoduls bereits gefunden ist. Es ist klar, dass man diese irgendwann suchen muss, was die Funktion processFiniteField bewerkstelligt. Gleichzeitig bildet sie den Wrapper, der von Sage aufgerufen wird und als Rückgabewert unsigned long long die Anzahl der primitiven vollständig normalen Elemente trägt. Alle zu übergebenen Parameter werden in Sage erzeugt und wurden bereits erklärt.

Listing 6.25: Aus ../Sage/enumeratePCNs.c

```
1173 unsigned long long processFiniteField(struct FFElem *mipo, int decompCount,
           struct FFPoly **polys, int *polysCountPerDecomp,
1174
           bool *evalToZero,
1175
           struct FFElem **mats, int matLen, int *frobPowers,
1176
           int *genCounts, int m, int charac, int q,
1177
           int *barFactors, int *lenBarFactors, int countBarFactors,
1178
           int *commonBarFactor, int lenCommonBarFactor,
1179
           int *commonBiggestBarFactor, int lenCommonBiggestBarFactor,
1180
           struct FFElem **matCharac, struct FFElem **elementsF,
1181
1182
           int *multTable, int *addTable){
       time_t TIME = time(NULL);
1183
```

```
int i,j;
1184
1185
       //setup temporary variables -----
1186
       int *tmp = malloc(m*sizeof(int));
1187
       struct FFElem *ff = mallocFFElem(m);
1188
       initPoly(ff->el,m);
1189
       struct FFElem *ffRet = mallocFFElem(m);
1190
       struct FFElem *ffTmp = mallocFFElem(m);
1191
       struct FFElem *ffTmp2 = mallocFFElem(m);
1192
       struct FFElem *ffTmp3 = mallocFFElem(m);
1193
       struct FFElem *ffTmp4 = mallocFFElem(m);
1194
1195
       struct FFElem **matmulCache = malloc(matLen*sizeof(struct FFElem));
1196
       for(i=0;i<matLen;i++) matmulCache[i] = mallocFFElem(m);</pre>
1197
1198
       bool *matmulCacheCalced = malloc(matLen*sizeof(bool));
1199
       bool *toTestIndicator = malloc(decompCount*sizeof(bool));
1200
       struct Node **roots = malloc( decompCount*sizeof(struct Node) );
1201
       struct Node **curRoots = malloc(decompCount*sizeof(struct Node*));
1202
       for(i=0;i<decompCount;i++){</pre>
1203
           roots[i] = malloc( sizeof(struct Node) );
1204
           roots[i] -> ff = 0;
1205
1206
           roots[i]->next = 0;
           curRoots[i] = roots[i];
1207
           toTestIndicator[i] = true;
1208
       }
1209
                      _____
1210
1211
       int foundCounter = 0;
1212
       initPoly(genCounts,decompCount);
1213
1214
       // chase for elements -----
1215
       while(true){
1216
           for(i=0;i<matLen;i++) matmulCacheCalced[i] = 0;</pre>
1217
           int curGen = testAllSubmods(ff,mipo,decompCount,
1218
                  polys,polysCountPerDecomp,evalToZero,
1219
                  mats, frobPowers, toTestIndicator,
1220
                  m,tmp,ffTmp,ffTmp2,ffTmp3,
1221
                  matmulCache, matmulCacheCalced,
1222
                  multTable,addTable);
1223
           if( curGen != -1 ){
1224
              if(toTestIndicator[curGen] == true){
1225
                  genCounts[curGen]++;
1226
                  appendToEnd(roots[curGen], ff, m);
1227
                  foundCounter++;
1228
                  toTestIndicator[curGen] = false;
1229
1230
              if(foundCounter == decompCount) break;
1231
           }
1232
           //generate next element
1233
           // (for sure there is a more efficient method)
1234
           ff->el[0] += 1;
1235
           if(ff\rightarrow el[0] == charac){}
               for(i=0; i<m-1 && ff->el[i]==charac; i++){
1237
```

```
ff \rightarrow el[i] = 0;
1238
                   ff->el[i+1] += 1;
1239
               }
1240
                if(ff->el[m-1] == charac)
1241
                   break;
1242
           }
1243
           updateFFElem(ff,m);
1245
        if( foundCounter != decompCount ){
1246
           printf("BAAAD_ERROR!!!_foundCounter=%i_<udecompCount=%i\n",
1247
                   foundCounter,decompCount);
1248
            exit(0);
1249
        }
1250
        printf("finding_time:_\%.2f\n", (double)(time(NULL)-TIME));
1251
1252
1253
1254
1255
        // Process found elements ------
1256
        int curDecompPosition = 0;
1257
        for(i=0;i<decompCount-1;i++){</pre>
1258
            calcSubmoduleElements(roots[i], mipo,
1259
                   polys[curDecompPosition]->lenPoly-1, // *** == maxLenPoly
1260
                   genCounts,i, // *** i == curGen
1261
                   polys+curDecompPosition, polysCountPerDecomp[i],
1262
                   evalToZero+curDecompPosition,
                   mats, matLen, frobPowers+curDecompPosition,
1264
                   elementsF,
1265
                   m,q,tmp,
1266
                   ffTmp,ffTmp2,ffTmp3,ffTmp4,
1267
                   matmulCache, matmulCacheCalced,
1268
                   multTable,addTable);
1269
1270
            curDecompPosition += polysCountPerDecomp[i];
        }
1271
        printf("all_{\sqcup}not_{\sqcup}last_{\sqcup}time:_{\sqcup}\%.2f\n", \ (double)(time(NULL)-TIME));
1272
1273
1274
        // Process last Decomposition -----
        int curGen = decompCount-1;
1276
        unsigned long long pcn =
1277
           processLastSubmoduleAndTestPrimitivity(roots,mipo,decompCount,
1278
               polys[curDecompPosition] ->lenPoly-1, // *** == maxLenPoly
               genCounts,
1280
               polys+curDecompPosition,polysCountPerDecomp[curGen],
1281
                evalToZero+curDecompPosition,
1282
               mats, matLen, frobPowers+curDecompPosition,
1283
               elementsF,
1284
1285
               m,q,
               barFactors, lenBarFactors, countBarFactors,
1286
                commonBarFactor,lenCommonBarFactor,
1287
                commonBiggestBarFactor,lenCommonBiggestBarFactor,
1288
                matCharac,
1289
                matmulCache, matmulCacheCalced,
               multTable,addTable);
1291
```

```
1292
1293
        //free variables
1294
        for(i=0;i<decompCount;i++)</pre>
1295
            freeNode(roots[i]);
1296
        free(roots); free(curRoots);
1297
1298
        //free temporary variables
1299
        free(tmp);
1300
        freeFFElem(ff);
1301
        freeFFElem(ffRet);
1302
        freeFFElem(ffTmp);
1303
        freeFFElem(ffTmp2);
1304
        freeFFElem(ffTmp3);
1305
        freeFFElem(ffTmp4);
1306
        for(i=0;i<matLen;i++) freeFFElem(matmulCache[i]);</pre>
1307
        free(matmulCache);
1308
        free(matmulCacheCalced);
1309
        free(toTestIndicator);
1310
1311
1312
        printf("total_time:_\%.2f\n", (double)(time(NULL)-TIME));
1313
1314
        return pcn;
1315 }
```

Wie zu erkennen ist, erfolgt die Suche nach vollständigen Erzeugern zunächst durch iterative Enumeration aller Elemente. Wurde ein vollständiger Erzeuger gefunden, so wird die jeweilige Stelle des toTestIndicators umgeschaltet, wodurch der zugehörige verallgemeinerte Kreisteilungsmodul in testAllSubmods nicht mehr berücksichtigt wird. Ist für jeden Kreisteilungsmodul ein vollständiger Erzeuger gefunden werden wie oben beschrieben durch calcSubmoduleElements (Listing 6.20) alle, bis auf den letzten, verarbeitet. Dieser wird abschließend separat in Listing 6.24 betrachtet und liefert die Anzahl der primitiven vollständig normalen Elemente.

6.5.3 | Top-Level-Implementierung in Sage

Eingangs wurde zwar erwähnt, dass Sage nicht ausreichend performant ist, um die hier angestrebten Ziele zu erreichen, doch wollen wir nicht gänzlich auf die hochsprachlichen Funktionen dieses Computeralgebrasystems verzichten. Insbesondere eignet sich Sage hier, die Daten für processFiniteField (Listing 6.25) bereitzustellen.

Anwendung des Zerlegungssatzes

Es ist klar, dass am Anfang der Berechnung von primitiv vollständig normalen Elementen einer Erweiterung endlicher Körper stets die Anwendung des Zerlegungssatzes (Satz 5.9) steht.

Listing 6.26: Aus ../Sage/enumeratePCNs.spyx

```
544 # Application of the Decomposition Theorem (Section 19)
545 # for x^n-1 over F_p^e
546 def decompose(p,e, n):
```

```
pi = largestDiv(p,n)
return decompose_cycl_module(p,e, 1, n/pi, pi)
```

Listing 6.27: Aus ../Sage/enumeratePCNs.spyx

```
571 # internal application of the Decomposition Theorem
     for Phi_k(x^(t*pi)) over F_p^e
   def decompose_cycl_module(p,e, k,t,pi):
       if p.divides(k*t): print "ERROR_{\sqcup}p_{\sqcup}|_{\sqcup}kt"
574
       #test all prime divisors, start with largest one
575
       flag = False
576
       for r,l in reversed(factor(t)):
577
           if not (r**1).divides(ordn(squarefree(k*t),p**e)):
               R = largestDiv(r,t)
               return decompose_cycl_module(p,e, k, t/r, pi) \
580
                       + decompose_cycl_module(p,e, k*R, t/R, pi)
581
       return [(k,t,pi)]
582
```

Beispiel 6.32. Wollen wir einmal den Zerlegungssatz auf $E := \mathbb{F}_{3^{20}}$ über $F := \mathbb{F}_3$ anwenden, so rufen wir decompose (3,1,20) auf und erhalten

```
[(1, 1, 1), (2, 1, 1), (4, 1, 1), (5, 4, 1)].
```

Umformuliert bedeutet das, dass

$$x^{20} - 1 = \Phi_1(x) \Phi_2(x) \Phi_4(x) \Phi_5(x^4) \in \mathbb{F}_3[x],$$

eine verträgliche Zerlegung ist. Oder in Termen der erweiterten Kreisteilungsmoduln ist

$$C_{1,20} = C_{1,1} \oplus C_{2,1} \oplus C_{4,1} \oplus C_{5,4}$$

eine verträgliche Zerlegung über \mathbb{F}_3 .

Die benutzten Funktionen largestDiv, ordn und squarefree sind dabei wie folgt gegeben.

Listing 6.28: Aus ../Sage/enumeratePCNs.spyx

Listing 6.29: Aus ../Sage/enumeratePCNs.spyx

```
538 # computes ordn m(q) = min{ k: q ** k = 1 mod m }
539 def ordn(m,q):
540    if m == 1: return 1
541    for i in range(1,m+1):
542        if (q ** i)%m == 1: return i;
```

Listing 6.30: Aus ../Sage/enumeratePCNs.spyx

```
# computes the quadratic free part of an integer
test def squarefree(n):
return prod(map(lambda x: x[0], factor(Integer(n))))
```

Ausnutzen einfacher Zerlegungen

Zunächst müsste man für jeden erweiterten Kreisteilungsmodul nun alle Teiler des Modulcharakters testen, um vollständige Erzeuger zu finden. Jedoch garantiert Satz 5.3, dass dies in manchen Fällen überflüssig ist, da bei einer einfachen Erweiterung ein Erzeuger eines Kreisteilungsmoduls $\mathcal{C}_{k,t}$ über \mathbb{F}_q bereits ein vollständiger Erzeuger ist. Ist eine Erweiterung nicht einfach, so sollte man die Hoffnung nach einer Vereinfachung der Suche nach vollständigen Erzeugern nicht aufgeben, sondern sich überlegen, dass es einen Teiler $d \mid n$ geben kann, für den die Erweiterung \mathbb{F}_{q^n} über \mathbb{F}_{q^d} einfach ist. Dann müssten keine Teiler von Modulcharaktern getestet werden, die größer oder gleich d wären, da – wie man sich sehr leicht überlegt – falls \mathbb{F}_{q^n} über \mathbb{F}_q einfach ist, auch für alle Teiler $d \mid n$ \mathbb{F}_{q^n} über \mathbb{F}_q^d einfach ist.

Dies wollen wir nutzen in nachstehender Funktion, die gerade zu betrachtenden Teiler einer Erweiterung liefert (und deren Benennung vielleicht etwas kontraintuitiv gewählt wurde).

Listing 6.31: Aus ../Sage/enumeratePCNs.spyx

```
594 # returns the NOT completely basic divisors of an
595 # extension n over GF(p^e)
596 def get_completely_basic_divisors(p,e,n):
      n = Integer(n)
597
       q = Integer(p**e)
598
       divs = []
599
       for d in divisors(n):
600
           isComplBasic = True
601
           for r in prime_divisors(n/d):
               if r.divides(ordn(p_free_part(n/d/r,p),q**d)):
603
                  isComplBasic = False
604
                  break
605
           divs += [d]
           if isComplBasic: return divs
607
       return divs
608
```

p_free_part gibt wie in Satz 5.3 (3) zu sehen ist, gerade den größten Teiler des ersten Arguments an, der nicht mehr durch p, dem zweiten Argument, teilbar ist. Es wird dabei nicht überprüft, ob das zweite Argument eine Primzahl ist.

Listing 6.32: Aus ../Sage/enumeratePCNs.spyx

Ausnutzen regulärer Kreisteilungsmoduln

Sicherlich wollen wir auch Regularität (Definition 5.10) nicht unbeachtet lassen, um uns die Suche nach vollständig normalen Elementen zu erleichtern. Also haben wir auch einen Test auf Regularität nach Sage übersetzt.

Listing 6.33: Aus ../Sage/enumeratePCNs.spyx

```
# tests if cyclotomic module C_k,t is regular over F_p^e
def isRegular(p,e, k,t,pi):
return gcd( ordn( squarefree(k*p_free_part(t,p)), p**e ), k*t*pi) == 1
```

Ist ein Kreisteilungsmodul regulär, so ist ein Test auf vollständige Erzeuger-Eigenschaft durch Satz 5.13 gegeben. Da Regularität lediglich die Anzahl der Teiler des Erweiterungsgrades, deren zugehörige Kreisteilungsmoduln auf vollständige Erzeuger getestet werden müssen, reduziert, wird Satz 5.13 durch Rückgabe der Teiler τ bzw. τ und 2τ (in Notation dieses Satzes) im ausfallenden Fall realisiert, wie die Funktion get_tau_divisors zeigt. Die zu übergebenden Parameter bestehen wieder aus $q = p^e$ und der Daten (k, t, π) des zu betrachtenden Kreisteilungsmoduls $C_{k, tpi}$ über \mathbb{F}_q .

Listing 6.34: Aus ../Sage/enumeratePCNs.spyx

```
436 # returns tau-divisors for complete generator test of
437 # the cyclotomic module C_k, t*pi over F_p \hat{e}
438 def get_tau_divisors(p,e, k,t,pi):
       if t != 1:
439
           print "ERROR_get_tau_divisors:__t__!=_1_for_p=",p,"_e=",e\
440
                   ,"_k=",k,"_t=",t,"_pi=",pi
441
           raise Exception("Error<sub>□</sub>t!=1")
442
       q = p**e
443
       tau = ordn(k,q) / ordn(squarefree(k),q)
444
       tau = prod(map(lambda ra: ra[0]**floor(ra[1]/2), factor(tau)))
445
       if isExceptional(p,e, k):
446
           return [ tau, 2*tau ]
       else:
448
           return [ tau ]
449
```

Wie in ?? gezeigt, ist die kanonische Zerlegung im regulären Fall verträglich. Daher tritt ein Fehler auf, wird obiger Funktion ein Kreisteilungsmodul $C_{l,m}$ übergeben mit $m \neq p^b$ für ein $b \geq 0$.

Es bleibt natürlich noch ein Test anzugeben, der überprüft, ob die Parameter (p, e, k) ausfallend sind (vgl. Definition 5.11).

Listing 6.35: Aus ../Sage/enumeratePCNs.spyx

```
452 # tests if n is exceptional over F_p^e
453 def isExceptional(p,e, n):
       q = p**e
454
       c = 0
455
       nbar = n
456
       while Integer(2).divides(nbar):
457
           c += 1
458
           nbar /= 2
459
       if (q).mod(4) == 3 and c >= 3 and ordn(q, 2**c) == 2:
460
           return True
461
       return False
462
```

Die zentrale Sage-Funktion countCompleteSubmoduleGenerators

Als übergeordnete Funktion, die die Anzahl aller (primitiven) vollständig normale Elemente und aller vollständigen Erzeuger im Sinne des Zerlegungssatzes liefert, stellen wir countCompleteSubmoduleGenerators bereit. Als Argumente sind selbstredend ein endlicher Körper zu übergeben und der Grad der zu betrachtenden Erweiterung. Ferner gibt es die Möglichkeit durch das optionale Argument binaryPowers=False den Test auf Primitivität durch p-adische Exponentiation durchführen zu lassen wie in dem Absatz vor Listing 6.15 erwähnt wurde (vgl. auch Unterabschnitt 6.3.2). Der Test auf Primitivität lässt sich auch vollständig deaktivieren durch die Übergabe von testPrimitivity =False (vgl. Bemerkung 6.31).

Der Rückgabewert der Funktion enthält die Anzahl aller vollsändig normalen Elemente der Erweiterung, die Anzahl aller primitiv vollständig normalen (oder 0, falls der Test auf Primitivität deaktiviert wurde), die Anzahl der jeweiligen vollständigen Erzeuger der Zerlegung in verallgemeinerte Kreisteilungsmodule nach Satz 5.9 und abschließend die Dauer der Berechnung.

Im Gegensatz zu den bisherigen Listings werden wir countCompleteSubmoduleGenerators in mehrere Teile aufspalten, um ein besseres Verständnis zu gewährleisten. Wir beginnen mit den ersten Zeilen, die in offensichtlicher Weise die Datenstrukturen der Zerlegung bereitstellen, wie sie in testAllSubmods (Listing 6.19) bzw. testSubmod (Listing 6.18) benötigt werden.

Listing 6.36: Aus ../Sage/enumeratePCNs.spyx

```
88 def countCompleteSubmoduleGenerators(F,n, binaryPowers=True, \
          testPrimitivity=True):
      TIME = time.time()
90
      p = F.characteristic()
91
       q = F.order();
93
       e = q.log(p)
      E = F.extension(Integer(n), 'a');
94
      P = E.prime_subfield()
95
       #generate factors
       polys = []
97
       polysCount = []
98
       evalToZero = []
99
       frobPowers = []
100
      notComplBasicDivisors = get_completely_basic_divisors(p,e,n)
101
       decomposition = decompose(p,e,n)
102
       for decomp in decomposition:
103
          k,t,pi = decomp
104
          divs = divisors(get_module_character(*decomp))
105
          divs = filter(lambda x: x in notComplBasicDivisors, divs)
106
           countPolysForThisDecomp = 0
107
           for d in divs:
108
              G = F.extension(Integer(d), 'c');
109
              Gx = PolynomialRing(G,'x');
110
              h = Hom(G,E)[0]
              cycl = Gx.cyclotomic_polynomial(squarefree(k))\
112
                      (Gx.gen()**(k*t*pi/squarefree(k)/d))
113
              polys += [map(lambda x: x.polynomial().list(),
114
                  cycl.map_coefficients(h).list())]
115
116
              frobPowers += [d]
              evalToZero += [1]
117
```

```
countPolysForThisDecomp += 1
118
               # add Co-Factors
119
               for f,mult in cycl.factor():
120
                  g = cycl.quo_rem(f)[0]
121
                  gE = g.map coefficients(h)
122
                  polys += [map(lambda x: x.polynomial().list(), gE.list())]
123
                  frobPowers += [d]
                  evalToZero += [0]
125
                  countPolysForThisDecomp +=1
126
          polysCount += [countPolysForThisDecomp]
127
```

Wie man gut erkennen kann, werden einfache Zerlegungen in den Zeilen 101 und 106 ausgenutzt.

Anschließend berechnen wir, falls testPrimitivity=True, die Kofaktoren, wie sie beim Test auf Primitivität in isPrimitive (Listing 6.15) verwendet werden. Dabei ist zu unterscheiden, ob die Faktoren in binärer (ab Zeile 151) oder p-adischer Form (ab Zeile 156) genutzt werden sollen. Bei p-adischer Darstellung muss, wie in dem Absatz vor powerFFElem (Listing 6.13) erwähnt, die Länge des maximal auftretenden 0-Intervalls berechnet werden (ab Zeile 164).

Listing 6.37: countCompleteSubmoduleGenerators Fortsetzung (I)

```
charac = int(E.characteristic())
128
           #mipo
129
       mipo = E.modulus().list()
130
131
       m = len(mipo) - 1
132
       #calc prime factors of order
133
       barFactors = []
134
       primitiveOrder = E.order()-1
135
       if testPrimitivity:
136
          factors = reversed(factor(primitiveOrder))
          for r,k in factors:
              barFactors += [primitiveOrder/r]
139
           countBarFactors = len(barFactors)
140
           commonBarFactor = gcd(barFactors)
141
           commonBiggestBarFactor = max(gcd(barFactors[1:]) / commonBarFactor,1)
142
          barFactors = map(lambda b: b/commonBarFactor, barFactors)
143
          curF = 0
144
          barFactors_tmp = [barFactors[0]]
145
           for b in barFactors[1:]:
146
              barFactors_tmp += [ b/commonBiggestBarFactor - curF]
147
              curF = b/commonBiggestBarFactor
148
          barFactors = barFactors_tmp
149
150
           if binaryPowers:
151
              barFactors = map(lambda b: get_padic_representation(b,2),barFactors)
152
              commonBarFactor = get_padic_representation(commonBarFactor,2)
              commonBiggestBarFactor = \
154
                      get_padic_representation(commonBiggestBarFactor,2)
155
           else:
156
              barFactors = map(lambda b: get_padic_representation(b,p),barFactors)
157
158
              commonBarFactor = get_padic_representation(commonBarFactor,p)
              commonBiggestBarFactor = \
159
```

```
get_padic_representation(commonBiggestBarFactor,p)
160
           lenCommonBarFactor = len(commonBarFactor)
161
           lenCommonBiggestBarFactor = len(commonBiggestBarFactor)
163
           lenBiggestZeroGap = 0
164
           if not binaryPowers:
               #find biggest gap (i.e. zero-interval)
166
               lenCurGap = 0
167
               for b in barFactors+[commonBarFactor]+[commonBiggestBarFactor]:
168
                  i = 0
169
                   while i < len(b):
170
                      lenCurGap = 0
171
                      while i<len(b) and b[i] == 0:</pre>
172
173
                          lenCurGap+= 1
                          i += 1
174
                      lenBiggestZeroGap = max(lenBiggestZeroGap, lenCurGap)
175
                       i += 1
176
       else:
177
           countBarFactors = 0
178
           barFactors = []
179
           commonBarFactor = []
180
           commonBiggestBarFactor = []
182
           lenBiggestZeroGap = 0
```

Im letzten Teil der reinen Sage-Aufbereitung, liften wir die Elemente des Grundkörpers mittels eines injektiven Körperhomomorphismus in den Erweiterungskörper, wie sie in calcSubmoduleElements (Listing 6.20) bzw. processLastSubmoduleAndTestPrimitivity (Listing 6.24) benötigt werden. Ferner stellen wir die Additions- und Multiplikationstabellen nach Unterabschnitt 6.2.2 auf.

Listing 6.38: countCompleteSubmoduleGenerators Fortsetzung (II)

```
#generate F elements in E
183
       elementsF = []
184
       if e == 1:
185
          elementsF = map(lambda e: [e], list(F))
186
       else:
187
          h = Hom(F, E)[0]
189
          for e in itertools.product(xrange(p),repeat=e):
               elementsF += [h( F(list(reversed(e))) ).polynomial().list()]
190
191
           #calculate addition and multiplication tables
192
       ps = range(p)
193
       addTable = ps[P(-2*(p-1)):] + ps*2 + ps[:Integer(P(2*(p-1)))+1]
194
       multTable = ps[P(-(p-1)**2):] + ps*(2*(p-2)) + ps[:Integer(P((p-1)**2))+1]
195
```

Nun sind wir bereit alle Daten nach C zu transferieren. Dies ist ein notwendiges Übel, da die interne Repräsentation von Sage-Objekten nicht mit denen in C vereinbar sind. Beispielsweise sind Listen von Ganzzahlen keineswegs Arrays, jedoch existiert gerade für diesen Fall die Möglichkeit die komfortable Syntax von numpy-Arrays zu nutzen, die direkt auf C-Arrays basieren.²

²Siehe z.B. http://www.sagemath.org/doc/numerical_sage/numpy.html für die Benutzung von numpy-Arrays in Sage.

Andere Datenstrukturen, wie die selbst erstellten **struct** FFElems, müssen händisch übersetzt werden. Da Cython das (etwas merkwürdig wirkende) Mischen von Python und C erlaubt, schieben wir die hierfür erstellten Funktionen der Übersetzung von Python-Listen in die jeweilige C-Datenstruktur kurz ein.

Listing 6.39: Aus ../Sage/enumeratePCNs.spyx

```
55 cdef FFElem *pyList2FFElem(element,int m):
56     cdef FFElem *ff = mallocFFElem(<int>m)
57     initPoly(ff.el,m)
58     for i,e in enumerate(element):
59         ff.el[i] = e
60         updateFFElem(ff,m)
61     return ff
```

Listing 6.40: Aus ../Sage/enumeratePCNs.spyx

```
63 cdef FFElem **pyList2PointFFElem(pyList, int m):
64    lenList = len(pyList)
65    cdef FFElem **ffs = <FFElem**>malloc(lenList*sizeof(FFElem*))
66    for i,e in enumerate(pyList):
67    ffs[i] = pyList2FFElem(e,m)
68    return ffs
```

Listing 6.41: Aus ../Sage/enumeratePCNs.spyx

```
70 cdef FFPoly *pyList2FFPoly(listPoly, int m):
    lenPoly = len(listPoly)
72    cdef FFPoly *poly = <FFPoly*>malloc(sizeof(FFPoly))
73    poly.poly = <FFElem**>malloc(lenPoly*sizeof(FFElem*))
74    poly.lenPoly = lenPoly
75    for i,e in enumerate(listPoly):
76        poly.poly[i] = pyList2FFElem(e,m)
77    return poly
```

Listing 6.42: Aus ../Sage/enumeratePCNs.spyx

Nun können wir die Beschreibung von countCompleteSubmoduleGenerators fortsetzen und erkennen sofort die gerade vorgestellten Funktionen der Übersetznug sowie die Benutzung der numpy-Arrays.

Listing 6.43: countCompleteSubmoduleGenerators Fortsetzung (III)

```
cdef np.ndarray[int,ndim=1,mode="c"] addTableRawC\
201
          = np.array(addTable, dtype=np.int32)
202
      cdef int* multTableC = <int*>multTableRawC.data + <int>((p-1)**2)
203
      cdef int* addTableC = <int*>addTableRawC.data + <int>(2*(p-1))
204
          #setup mipo
205
      cdef FFElem *mipoC = pyList2FFElem(mipo,m+1)
206
         #setup matrices
207
      cdef FFElem **matsC = genFrobMats(mipoC,m,maxMatPower,q,
208
              multTableC, addTableC)
209
          # mat charac
^{210}
      cdef FFElem **matCharacC
211
      if binaryPowers:
212
          matCharacC = <FFElem**>0
213
214
      else:
215
          matCharacC = genFrobMats(mipoC,m,lenBiggestZeroGap+1,
                 p, multTableC, addTableC)
216
      #setup polynomials, polyLength, frobPowers, evaltoZero
217
      decompCount = int(len(polysCount))
218
          #evalToZeroC
219
      cdef np.ndarray[char,ndim=1,mode="c",cast=True] evalToZeroC\
220
              = np.array(evalToZero, dtype=np.uint8)
221
          #frobPowersC
222
      cdef np.ndarray[int,ndim=1,mode="c"] frobPowersC\
223
              = np.array(frobPowers, dtype=np.int32)
224
          #polysCountC
225
      cdef np.ndarray[int,ndim=1,mode="c"] polysCountC\
226
              = np.array(polysCount, dtype=np.int32)
227
      cdef FFPoly **polysC = pyList2PointFFPoly(polys,m)
228
          # bar Factors
229
      cdef np.ndarray[int,ndim=1,mode="c"] barFactorsC \
          = np.array(list(itertools.chain(*barFactors)), dtype=np.int32)
231
      cdef np.ndarray[int,ndim=1,mode="c"] lenBarFactorsC \
232
          = np.array(map(len,barFactors), dtype=np.int32)
233
      cdef np.ndarray[int,ndim=1,mode="c"] commonBarFactorC \
234
          = np.array(commonBarFactor, dtype=np.int32)
235
      cdef np.ndarray[int,ndim=1,mode="c"] commonBiggestBarFactorC \
236
          = np.array(commonBiggestBarFactor, dtype=np.int32)
237
          # F elements in E
238
      cdef FFElem **elementsFC = pyList2PointFFElem(elementsF,m)
239
       #-----
240
```

Es gilt anzumerken, dass die Erzeugung der Darstellungsmatrizen des Frobenius in C durch die Funktion genFrobMats (die in ../Sage/enumeratePCNs.c zu finden ist und hier nicht näher erläutert wird, da sie weder vom mathematischen Standpunkt her besonders spannend ist, noch besonderes programmiertechnisch besondere Aufmerksamkeit verdient) geschieht, wobei die maximal zu berechnende Matrixpotenz gerade durch den Grad des größten auftretenden Polynoms der Zerlegung gegeben ist. Wir wissen jedoch genau, wie der Grad eines verallgemeinerten Kreisteilungspolynoms zu berechnen ist, wie Zeile 197 erkennen lässt.

In einem letzten Schritt können wir (nun endlich) die bereitgestellte C-Funktion processFiniteField (Listing 6.25) aufrufen und die Rückgabewerte verwalten. Hier gilt es anzumerken, dass die Anzahl der vollständigen Erzeuger direkt in das Array genCountsC geschrieben wird und nicht als expliziter Rückgabewert erkennbar ist.

Listing 6.44: countCompleteSubmoduleGenerators Fortsetzung (IV)

```
#setup return values
241
      cdef np.ndarray[int,ndim=1,mode="c"] genCountsC
242
      genCountsC = np.zeros(decompCount, dtype=np.int32)
243
244
      cdef unsigned long long pcn = \
245
             processFiniteField(mipoC, decompCount,
246
                     polysC,<int*>polysCountC.data,
                     <char*>evalToZeroC.data,
248
                     matsC, maxMatPower, <int*>frobPowersC.data,
249
                     <int*>genCountsC.data, m, p, q,
250
                     <int*>barFactorsC.data, <int*>lenBarFactorsC.data,
251
                     countBarFactors,
252
                     <int*>commonBarFactorC.data,lenCommonBarFactor,
253
                     <int*>commonBiggestBarFactorC.data,lenCommonBiggestBarFactor,
                     matCharacC, elementsFC,
                     multTableC,addTableC)
256
257
      genCounts = dict()
258
      for i,d in enumerate(decomposition):
259
          genCounts[d] = Integer(genCountsC[i])
260
       freeFFElem(mipoC)
263
      freeFFElemMatrix(matsC,m*maxMatPower)
264
      for i in range(len(polys)):
265
          freeFFPoly(polysC[i])
266
267
      free(polysC)
      freeFFElemMatrix(matCharacC,m*(lenBiggestZeroGap+1))
268
      freeFFElemMatrix(elementsFC, len(elementsF))
      return prod(genCounts.values()), Integer(pcn), genCounts,\
271
              strfdelta(datetime.timedelta(seconds=(time.time()-TIME)))
272
```

6.5.4 | Ein ausführliches Beispiel

Wir wollen nun einmal das gesamte Verfahren zur Berechnung Anzahl der primitiv vollständig normalen Elemente einer Erweiterung endlicher Körper anhand eines Beispiels nachvollziehen. Dazu wählen wir $F \coloneqq \mathbb{F}_2$ und $n \coloneqq 6$, also $E \coloneqq \mathbb{F}_{2^6}$. Die Wahl des Minimalpolynoms dieser Erweiterung überlassen wir Sage und erhalten

$$E = \mathbb{F}_2[a]/(a^6 + a^4 + a^3 + a + 1).$$

Gehen wir erneut den Code von countCompleteSubmoduleGenerators Zeile für Zeile durch, so beginnen wir mit der Festlegung der grundlegenden Parameter:

$$p \coloneqq 2, \qquad q \coloneqq 2, \qquad e \coloneqq 1, \qquad P \coloneqq \mathbb{F}_2.$$

Berechnung der nicht einfachen Teiler Im nächsten Schritt berechnen wir die nicht einfachen Teiler mithilfe get_completely_basic_divisors (Listing 6.31). Dazu gehen wir alle Teiler von n=6 durch und überprüfen, ob die jeweiligen Erweiterungen einfach sind, d.h. für jeden Teiler $d\mid n$ testen wir für jeden Primteiler $r\mid \frac{n}{d}$, ob $r\nmid \operatorname{ord}_{(\frac{n}{dr})'}(q^d)$ (vgl. Satz 5.3). Wir brechen jeweils ab, falls ein r die Teilbarkeitsbedingung nicht erfüllt.

d	$\frac{n}{d}$	r	$\left(\frac{n}{dr}\right)'$	$\operatorname{ord}_{\left(\frac{n}{dr}\right)'}(q^d)$	$r \nmid \operatorname{ord}_{\left(\frac{n}{dr}\right)'}(q^d)$
1	6	2	3	2	
2	3	3	1	1	✓
					→ einfach

Damit sind alle zu betrachtenden Teiler von n gegeben durch

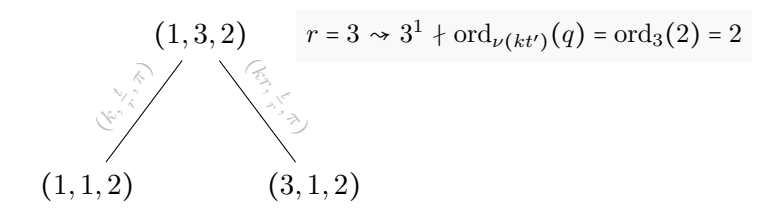
$$notComplBasicDivisors := [1, 2].$$

Wie man erkennt, wollen wir in diesem Beispiel alle auftretenden Listen in der Python/Sage-üblichen Notation [,,...] angeben.

Anwendung des Zerlegungssatzes Anschließend folgt die Berechnung der Zerlegung in Kreisteilungsmoduln durch den Zerlegungssatz. Da wir in der konkreten Implementierung stets drei Parameter für die Angabe von Kreisteilungsmoduln verwenden, d.h. Potenzen der Charakteristik immer "ausklammern", wollen wir dies auch hier so notieren. Der zu $x^n-1=x^6-1$ über \mathbb{F}_2 gehörige Kreisteilungsmodul ist offenbar

$$C_{1,6} = C_{1,3\cdot 2}$$

und wir erhalten damit das Parametertripel $(k, t, \pi) := (1, 3, 2)$. Hier startet der Zerlegungssatz rekursiv und wie in decompose_cycl_module (Listing 6.27) erkennbar, durchlaufen wir die Primteiler von t in der Größe nach absteigend sortierter Reihenfolge.



Da an den beiden Blättern t=1 gilt, endet hier die Möglichkeit einer weiteren Rekursionsstufe und wir fassen zusammen, dass

$$x^6 - 1 = \Phi_1(x)^2 \Phi_3(x)^2$$

die feinste verträgliche Zerlegung des Kreisteilungsmoduls $\mathcal{C}_{1,6}$ über \mathbb{F}_2 ist.

Polynome aufstellen Nun sind wir in der Lage, die Polynome zu berechnen, die wir für den Test von vermeindlichen vollständigen Erzeugen benötigen werden.

(1) Wir starten beim ersten erweiterten Kreisteilungspolynom

$$\Phi_{1,1}^2 = x^2 + 1 \in \mathbb{F}_2[x].$$

Es ist nun (k,t,pi) := (1,1,2) und wir müssten alle Teiler des Modulcharakters $\frac{kt\pi}{\nu(k)} = 2$, betrachten. Wie man an obig berechnetem notComplBasicDivisors erkennt, lässt sich in diesem Fall auch keiner der beiden Teiler $\{1,2\}$ streichen. Ein zweiter Kniff schafft aber eine Reduktion der Teilerzahl, da (1,1,2) regulär über \mathbb{F}_2 ist:

$$\operatorname{ord}_{\nu(kt')}(q) = \operatorname{ord}_1(2) = 1.$$

Da auch (1,1,2) nicht ausfallend über \mathbb{F}_2 ist, reicht es den einzigen Teiler zu berechnen, den wir benötigen:

$$\tau(q,k) = \tau(2,1) = 1$$
,

da $\operatorname{ord}_k(q) = \operatorname{ord}_1(2) = \operatorname{ord}_{\nu(k)}(q)$.

d=1. Nun sind alle Kofaktoren einer vollständigen Faktorisierung von $\Phi_{1,1}(x)^2$ über $\mathbb{F}_{2^d}=\mathbb{F}_2$ zu berechnen:

$$\Phi_{1,1}(x)^2 = (x+1)^2$$

und der einzige Kofaktor ist durch

$$g_{1,1,1}(x) = x+1$$

gegeben.

(2) Nun zum zweiten Kreisteilungsmodul $(k, t, \pi) := (3, 1, 2)$. Der Modulcharakter ist wiederum $\frac{k t \pi}{\nu(k)} = 2$. Auch hier können wir mit notComplBasicDivisors keinen Teiler wegdiskutieren. Anders als in obigem Fall ist dieser Kreisteilungsmodul nicht einmal regulär, da

$$\operatorname{ord}_{\nu(kt')}(q) = \operatorname{ord}_3(2) = 2$$

nicht teilerfremd zu kt = 2 ist. Also bleiben beide Teiler $\{1, 2\}$ übrig.

d = 1. Wir faktorisieren

$$\Phi_{3,1}(x)^2 = (x^2 + x + 1)^2 \in \mathbb{F}_2[x]$$

und erhalten als einzigen Kofaktor dieses Teilers

$$g_{2,1,1}(x) = x^2 + x + 1$$
.

d=2. Blicken wir noch einmal in die Definition eines vollständigen Erzeugers (Definition 5.6), so sehen wir, dass wir nun $\mathcal{C}_{3,1\cdot 2}$ als $\mathbb{F}_{2^2}[x]$ -Modul betrachten müssen. Orientiert man sich an der Definition eines verallgemeinerten Kreisteilungsmoduls (Definition 5.5), so sind wir gezwungen $\Phi_3(x^{\frac{2}{2}})$ über \mathbb{F}_{2^2} zu faktorisieren. Dazu überlassen wir wiederum Sage die Repräsentation des endlichen Körpers

$$\mathbb{F}_{2^2} = \mathbb{F}_2[b]/(b^2 + b + 1)$$

und faktorisieren

$$\Phi_{3,1}(x) = (x+b)(x+b+1).$$

Ergo erhalten wir die beiden Kofaktoren in $\mathbb{F}_{2^2}[x]$:

$$g_{2,2,1}(x) := x + b + 1,$$

 $g_{2,2,2}(x) := x + b.$

Wie aber in der Beschreibung der Implementierung erwähnt, bietet es sich an, diese Polynome mittels eines injektiven Körperhomomorphismus in $E = \mathbb{F}_{2^6}$ zu lesen. Auch die Berechnung eines solchen überlassen wir Sage und wählen

$$h: \mathbb{F}_2[b]/(b^2+b+1) \rightarrow \mathbb{F}_2[a]/(a^6+a^4+a^3+a+1),$$

 $b \mapsto a^2+a^2+a.$

Damit schreiben wir obige Kofaktoren zu

$$g_{2,2,1}(x) := x + a^3 + a^2 + a + 1,$$

 $g_{2,2,2}(x) := x + a^3 + a^2 + a$

um, gelesen als Elemente von $(\mathbb{F}_2[a]/(a^6+a^4+a^3+a+1))[x]$.

Als letzten Schritt des Aufstellens der Polynome fassen wir alle Ergebnisse zusammen und erinnern uns an die Implementierung, wo neben den Polynomen auch die Information, welche Polynome bei Vorliegen eines vollständigen Erzeugers in der Frobenius-Auswertung zu Null ausgewertet werden müssen, und die Angabe der Frobenius-Potenzen benötigt werden. Da alle Polynome in eine einzige Liste geschrieben werden, muss man selbstredend die Anzahl der Polynome des jeweiligen Kreisteilungsmoduls abspeichern. Zusammengefasst erhalten wir folgende Daten:

Wie man sicherlich bemerkt, führen wir das den zweiten Kreisteilungsmodul definierende Polynom $\Phi_{3,2}$ lediglich für den Teiler d=1 auf. Für den Teiler d=2 hätten wir $\Phi_{3,1}$ jedoch mit Frobenius-Potenz 2. Da ein Element $u \in E$ jedoch genau dann $\Phi_{3,2}(\sigma)(u) = 0$ erfüllt, wenn $\Phi_{3,1}(\sigma^2)(u) = 0$, ist dieser Berechnungsschritt obsolet.

Daten für einen Primitivitätstest Für den in Listing 6.15 beschriebenen Primitivitätstest, müssen wir zunächst $q^n - 1 = 2^6 - 1$ faktorisieren:

$$2^6 - 1 = 3^2 \cdot 7$$

Also sind die zu testenden Kofaktoren gerade 9 und 21. Wir erkennen sofort, dass der größte gemeinsame Teiler beider Faktoren 3 ist und setzen daher in Benennung von isPrimitive (Listing 6.15)

commonBarFactor := 3.

Ergo reduzieren sich die Kofaktoren auf 3 und 7. Im nächsten Schritt betrachten wir nur noch alle Kofaktoren, die den größten Primfaktor obiger Faktorisierung enthalten. Hier ist dies nur einer: 7. Wieder berechnen wir den ggT all dieser: 7. Damit haben wir alle restlichen Daten:

$$\label{eq:commonBiggestBarFactor} {\tt commonBiggestBarFactor} \coloneqq 7 \\ {\tt barFactors} \coloneqq [3,1]$$

Benutzen wir binäre Exponentiation so übersetzen wir die erhaltenen Zahlen ins Binärsystem:

$$\begin{aligned} & \text{commonBarFactor} \coloneqq [1,1] \\ & \text{commonBiggestBarFactor} \coloneqq [1,1,1] \\ & \text{barFactors} \coloneqq \big[[1,1,1],\ [1]\big] \end{aligned}$$

In diesem Fall wären die Zahlen in p-adischer Schreibweise identisch, da ja p = 2.

Aufstellen der Frobenius-Matrizen Um den Frobenius von F, also $\bar{F} \to \bar{F}, x \mapsto x^2$, effizient auf Elemente aus E anwenden zu können, müssen wir seine Darstellungsmatrix bezüglich der kanonischen Basis

$$\{1, a, a^2, a^3, a^4, a^5\} \subseteq \mathbb{F}_2[a]/(a^6 + a^4 + a^3 + a + 1)$$

berechnen. Dazu fassen wir selbstredend die Elemente aus E als Vektoren in \mathbb{F}_2^6 auf:

Damit erhalten wir eine Darstellungsmatrix des Frobenius:

$$\Gamma_{\sigma} := \begin{bmatrix} 1 & 0 & 0 & 1 & 1 & 1 \\ 0 & 0 & 0 & 1 & 1 & 0 \\ 0 & 1 & 0 & 0 & 1 & 0 \\ 0 & 0 & 0 & 1 & 0 & 0 \\ 0 & 0 & 1 & 1 & 1 & 1 \\ 0 & 0 & 0 & 0 & 1 & 1 \end{bmatrix}$$

Wie man an den obigen Polynomen in polys erkennen kann, ist die maximale Potenz des Frobenius gerade 4. Daher bleibt noch Γ^2_{σ} , Γ^3_{σ} und Γ^4_{σ} zu berechnen:

$$\Gamma_{\sigma}^{2} = \begin{bmatrix} 1 & 0 & 1 & 1 & 1 & 1 \\ 0 & 0 & 1 & 0 & 1 & 1 \\ 0 & 0 & 1 & 0 & 0 & 1 \\ 0 & 0 & 0 & 1 & 0 & 0 \\ 0 & 1 & 1 & 0 & 1 & 0 \\ 0 & 0 & 1 & 1 & 0 & 0 \end{bmatrix}, \quad \Gamma_{\sigma}^{3} = \begin{bmatrix} 1 & 1 & 1 & 1 & 0 & 1 \\ 0 & 1 & 1 & 1 & 1 & 0 \\ 0 & 1 & 0 & 0 & 0 & 1 \\ 0 & 0 & 0 & 1 & 0 & 0 \\ 0 & 1 & 1 & 0 & 1 & 1 \\ 0 & 1 & 0 & 1 & 1 & 0 \end{bmatrix}, \quad \Gamma_{\sigma}^{4} = \begin{bmatrix} 1 & 1 & 0 & 1 & 0 & 0 \\ 0 & 1 & 1 & 1 & 1 & 1 \\ 0 & 0 & 0 & 1 & 0 & 1 \\ 0 & 0 & 0 & 1 & 0 & 0 \\ 0 & 1 & 1 & 0 & 0 & 0 \\ 0 & 0 & 1 & 1 & 0 & 1 \end{bmatrix}.$$

Wie man in der Implementierung erkennen kann übergeben wir die Frobenius-Matrizen stets als FFElem **mats, d.h. man sollte sich obige vier Matrizen eher als eine (24 × 6)-Matrix vorstellen, deren Zeilen jeweils aus einem FFElem bestehen (vgl. Abschnitt 6.2). Unter dieser Analogie ist dies gerade das Ergebnis der Funktion genFrobMats.

Iteration von E auf der Suche nach vollständigen Erzeugern. Wie in der Beschreibung von processFiniteField (Listing 6.25) angegeben, starten wir die Suche nach vollständig normalen und primitiven Elementen bei einer Iteration des endlichen Körpers E, bis wir für jeden Kreisteilungsmodul der Zerlegung einen vollständigen Erzeuger gefunden haben. Die konkrete Iteration erfolgt dabei lexikographisch in \mathbb{F}_2^6 , wobei wir der besseren Lesbarkeit geschuldet zwischen den verschiedenen Schreibweisen von Vektoren in \mathbb{F}_2^6 und Polynomen in $\mathbb{F}_2[a]/(a^6+a^4+a^3+a+1)$ ohne besondere Kennzeichnung wechseln werden.

 $u := \begin{bmatrix} 0 & 0 & 0 & 0 & 0 \end{bmatrix}$. Hier gibt es nichts zu tun.

 $u \coloneqq \begin{bmatrix} 1 & 0 & 0 & 0 & 0 \end{bmatrix}$. Wir blicken auf polys und berechnen

$$(x^2+1)(\sigma)(1) = 0 \checkmark, \qquad (x+1)(\sigma)(1) = 0 \nleq.$$

Also ist 1 kein Erzeuger von $C_{1,1\cdot 2}$ über \mathbb{F}_2 . Beim zweiten Kreisteilungsmodul scheitern wir bereits beim ersten Polynom:

$$(x^4 + x + 1)(\sigma)(1) = 1 \ \text{f}.$$

... Hier sind weitere Elemente zu denken, die ebenfalls keine vollständigen Erzeuger liefern.

 $u\coloneqq\begin{bmatrix}0&1&1&0&0&0\end{bmatrix}.$ Dieses Element liefert einen vollständigen Erzeuger des zweiten Kreisteilungsmoduls:

$$(x^4 + x^2 + 1)(\sigma)(u) = 0, (x^2 + x + 1)(\sigma)(u) = a^5 + a^4 + a^2 + 1,$$
$$(x + a^3 + a^2 + a^1)(\sigma^2)(u) = a^5 + a^4 + a^3 + a, (x + a^3 + a^2 + a)(\sigma^2)(u) = a^5 + a^4.$$

Die Anwendung des Frobenius ist dabei jeweils durch obige Matrizen zu denken.

. . .

 $u \coloneqq \begin{bmatrix} 0 & 1 & 1 & 0 & 0 \end{bmatrix}$. Hier haben wir einen vollständigen Erzeuger des ersten Kreisteilungsmoduls, wie nachstehende Rechnung zeigt.

$$(x^2+1)(\sigma)(u) = 0,$$
 $(x+1)(\sigma)(u) = 1.$

Die berechneten vollständigen Erzeuger speichern wir in einem Array aus verketteten Listen (vgl. 6.5.1). Die verketteten Listen sowie das Array wollen wir hier jedoch wieder in Python-üblicher Notation angeben. Bisher haben wir also für jeden Kreisteilungsmodul einen Erzeuger gefunden:

roots =
$$[[a^3 + a^2 + a], [a^2 + a]]$$

Die Benennung roots ist hier konsistent mit processFiniteField (Listing 6.25) gewählt. Jedoch sind die Elemente der Listen natürlich wieder als FFElem zu denken.

Enumeration der einzelnen Kreisteilungsmoduln An diesem Punkt haben wir für jeden Kreisteilungsmodul einen Erzeuger gefunden und können anhand diesem den jeweiligen Modul vollständig enumerieren.

 $\Phi_{1,1}^2$. Sei $u := a^3 + a^2 + a$ unser gefundener Erzeuger, so können wir nach Lemma 6.29 den Modul durch Polynome über F, deren Grad kleiner 2 ist, enumerieren:

$$C_{1,1\cdot 2} = \{f(\sigma)(u): f \in F[x]_{\leq 2}, \operatorname{ggT}(f, \Phi_{1,1}^2) = 1\}.$$

Wie im Absatz nach Lemma 6.29 erwähnt, führen wir die Berechnung des ggT nicht durch, sondern testen jedes Element auf vollständige Erzeuger-Eigenschaft für diesen Modul.

$$\begin{array}{c|ccc} f(x) & f(\sigma)(u) & \text{vollst. Erz.} \\ \hline 1 & a^3 + a^2 + a & \checkmark \\ x & a^3 + a^2 + a + 1 & \checkmark \\ x + 1 & 1 & \rlap{\rlap{\rlap{\rlap{\rlap{\rlap{\rlap{\rlap{1}}}}}}}} \\ \end{array}$$

 $\Phi_{3,1}^2$. Sei in diesem Fall $u\coloneqq a^2+a$ der gefundene Erzeuger, so müssen wir Polynome bis zum Grad 3 über F betrachten:

f(x)	$\int f(\sigma)(u)$	vollst. Erz.
1	$a^2 + a$	\checkmark
x	$a^4 + a^2$	√ ‡
x + 1	$a^4 + a$	\$
x^2	$a^5 + a^2 + a + 1$	\checkmark
$x^2 + 1$	$a^5 + 1$	✓
$x^2 + x$	$a^5 + a^4 + a + 1$	4
$x^2 + x + 1$	$a^5 + a^4 + a^2 + 1$	4
x^3	$a^5 + a^2$	✓
$x^3 + 1$	$a^5 + a$	4
$x^3 + x$	$a^5 + a^4$	✓
$x^3 + x + 1$	$a^5 + a^4 + a^2 + a$	4
$x^3 + x^2$	a+1	<i>4</i>
$x^3 + x^2 + 1$	$a^2 + 1$	4
$x^3 + x^2 + x$	$a^4 + a^2 + a + 1$	4
$x^3 + x^2 + x + 1$	$a^4 + 1$	1

In der konkreten Implementierung speichern wir diese Ergebnisse nicht ab, sondern erzeugen die weiteren Erzeuger des letzten Kreisteilungsmoduls dynamisch (vgl. Unterabschnitt 6.5.2), was wir hier zur besseren Übersichtlichkeit nicht tun wollen.

Nun können wir die aktualisierte Liste roots angeben:

$$\mathtt{roots} \ = \ \left[\left[a^3 + a^2 + a, \, a^3 + a^2 + a + 1 \right], \, \left[a^2 + a, \, a^4 + a^2, \, a^5 + a^2 + a + 1, \, a^5 + 1, \, a^5 + a^2, \, a^5 + a^4 \right] \right]$$

An dieser Stelle können wir bereits festhalten, dass in der Erweiterung von Grad 6 über \mathbb{F}_2 genau $6 \cdot 2 = 12$ vollständig normale Elemente existieren.

Primitivitätstest Für einen Primitivitätstest müssen wir die 12 vollständig normalen Elemente natürlich erst einmal "zusammenbauen". Dazu durchlaufen wir das kartesische Produkt aus den Listen in roots und bilden jeweils die Summe der einzelnen Elemente (vgl. Definition 5.8).

 $(a^3 + a^2 + a) + (a^2 + a)$. Wie in der Beschreibung zu isPrimitive (Listing 6.15) erläutert, berechnen wir zunächst $v^{\text{commonBarFactor}} = v^3$, wobei $v := a^3 + a^2 + a + a^2 + a = a^3$ das zu testende Element ist. Dies führen wir mittels binärer Exponentiation durch, wie in powerFFElemSqM (Listing 6.14) beschrieben, geben hier jedoch nur das Ergebnis an. Es ist

$$v^3 = a^5 + a^4 + a^2 + 1 =: w$$
.

Da $w \neq 1$ müssen wir fortfahren mit dem ersten Faktor aus bar
Factors:

$$w^3 = a^5 + a^4 + a^2$$
.

Auch dies ist ungleich 1, also fahren wir fort mit $w^{\text{commonBiggestBarFactor}}$ wie in isPrimitive (Listing 6.15) angegeben:

$$w^7 = 1$$
.

An dieser Stelle können wir abbrechen und wissen, dass v kein primitives Element ist.

 $(a^3 + a^2 + a + 1) + (a^2 + a)$. Auch hier beginnen wir mit $v := a^3 + a^2 + a + 1 + a^2 + a = a^3 + 1$ und berechnen

$$v^3 = a^5 + a^2 + a + 1 =: w$$
.

Wieder ist $w \neq 1$ und wir fahren fort mit dem ersten barFactor.

$$w^3 = a^4 + a^2 + a$$
.

Für den Exponenten biggestCommonBarFactor = 7 erhalten wir:

$$w^7 = a^3 + a^2 + a =: z$$
.

Diesen müssen wir nun mit allen verbleibenden barFactors potenzieren. In unserem Fall lediglich einer:

$$z^1 = a^3 + a^2 + a$$

und somit ist v ein primitives Element in E.

Für alle weiteren Elemente wollen wir nur das Ergebnis der Primitivitätstests in tabellarischer Form angeben.

Gen von $\mathcal{C}_{1,1\cdot 2}$	Gen von $\mathcal{C}_{3,1\cdot 2}$	Element	primitiv
$a^3 + a^2 + a$	$a^4 + a^2$	$a^4 + a^3 + a$	\checkmark
$a^3 + a^2 + a + 1$	$a^4 + a^2$	$a^4 + a^3 + a + 1$	4
$a^3 + a^2 + a$	$a^5 + a^2 + a + 1$	$a^5 + a^3 + 1$	4
$a^3 + a^2 + a + 1$	$a^5 + a^2 + a + 1$	$a^5 + a^3$	\checkmark
$a^3 + a^2 + a$	$a^5 + 1$	$a^5 + a^3 + a^2 + a + 1$	4
$a^3 + a^2 + a + 1$	$a^5 + 1$	$a^5 + a^3 + a^2 + a$	\checkmark
$a^3 + a^2 + a$	$a^5 + a^2$	$a^5 + a^3 + a$	\checkmark
$a^3 + a^2 + a + 1$	$a^5 + a^2$	$a^5 + a^3 + a + 1$	\$
$a^3 + a^2 + a$	$a^5 + a^4$	$a^5 + a^4 + a^3 + a^2 + a$	\checkmark
$a^3 + a^2 + a + 1$	$a^5 + a^4$	$a^5 + a^4 + a^3 + a^2 + a + 1$	4

Zusammenfassend existieren also 6 primitiv vollständig normale Elemente in der Erweiterung von Grad 6 über \mathbb{F}_2 .

Literaturverzeichnis

- [1] I. F. Blake, S. Gao und R. C. Mullin. Specific irreducible polynomials with linearly independent roots over finite fields. *Linear algebra and its applications*, **253**,(1–3): 227–249, 1997.
- [2] D. Blessenohl und K. Johnsen. Eine verschärfung des satzes von der normalbasis. *Journal of algebra*, **103**,(1): 141–159, 1986.
- [3] S. Bosch. Algebra. Der Reihe Springer-Lehrbuch. Springer, 2009.
- [4] S. Gao und G. Mullen. Dickson polynomials and irreducible polynomials over finite fields. Journal of number theory, 49, 118–132, 1994.
- [5] D. Hachenberger. Finite fields: normal bases and completely free elements. Der Reihe Developments in Molecular and Cellular Biochemistry. Kluwer Academic Publishers, 1997. URL: http://books.google.de/books?id=Fv7uAAAAMAAJ.
- [6] D. Hachenberger. Asymptotic existence results for primitive completely normal elements in galois field extensions, 2015.
- [7] D. Hachenberger. Primitive complete normal bases for regular extensions. Glasgow mathematical journal, 43, 383–398, 03, Mai 2001.
- [8] B. Hartley und T. Hawkes. *Rings, modules and linear algebra*. Der Reihe *Chapman and Hall mathematics series*. Chapman und Hall Limited, 1974.
- [9] C. Karpfinger und K. Meyberg. Algebra gruppen ringe korper. Spektrum Akademischer Verlag GmbH, 2010.
- [10] S. Lang. Algebra. Der Reihe Graduate Texts in Mathematics. Springer New York, 2002. URL: http://books.google.de/books?id=Fge-BwqhqIYC.
- [11] H. W. Lenstra, Jr. und R. J. Schoof. Primitive normal bases for finite fields. *Mathematics of computation*, 48,(177): 217–231, Januar 1987.
- [12] R. Lidl und H. Niederreiter. Finite fields. (Bd. 20,Teil 1) der Reihe Encyclopedia of Mathematics and its Applications. Cambridge University Press, 1997. URL: http://books.google.de/books?id=xqMqxQTFUkMC.
- [13] G. Mullen und D. Panario. *Handbook of finite fields*. Der Reihe *Discrete Mathematics and Its Applications*. Taylor & Francis, 2013. URL: http://books.google.de/books?id=CfBBYgEACAAJ.
- [14] Neues buch.
- [15] A. Scheerhorn. Applications of finite fields. In D. Gollmann, Herausgeber, teil Dickson Polynomials and Completely Normal Elements over Finite Fields, Seiten 47–55. Oxford University Press, Inc., New York, NY, USA, 1996.

- [16] A. Scheerhorn. Dickson polynomials, completely normal polynomials and the cyclic module structure of specific extensions of finite fields. *Des. codes cryptography*, **9**,(2): 193–202, 1996.
- [17] I. A. Semaev. Construction of polynomials irreducible over a finite field with linearly independent roots. *Mathematics of the ussr-sbornik*, **63**,(2): 507, 1989.
- [18] Z. Wan. Lectures on finite fields and galois rings. World Scientific, 2003.

Anhang A

Tabellen

Im Folgenden stellen wir die mit Hilfe der vorgestellten Algorithmen berechneten Werte vor. Dabei ist folgende Legende zu beachten:

q, p, r sind die Daten des betrachteten Grundkörpers \mathbb{F}_q , wobei $q = p^r$ gilt.

 $\mathcal{N}(q,n)$ gibt die Anzahl der normalen Elemente der Erweiterung von Grad n über \mathbb{F}_q an.

 $\mathcal{CN}(q,n)$ gibt die Anzahl der vollständig normalen Elemente der Erweiterung von Grad n über \mathbb{F}_q an.

 $\mathcal{PCN}(q,n)$ gibt die Anzahl der primitiv vollständig normalen Elemente der Erweiterung von Grad n über \mathbb{F}_q an.

 $\mathcal{PN}(q,n)$ gibt die Anzahl der primitiv normalen Elemente der Erweiterung von Grad n über \mathbb{F}_q an.

Erzeuger. Hier ist die Anzahl der vollständigen Erzeuger der Zerlegung nach Satz 5.9 gegeben, wobei ein Datum (k, t, π) : N bedeutet, dass für den Kreisteilungsmodul $C_{k,t\pi}$ gerade N vollständige Erzeuger in \mathbb{F}_q existieren.

- (.)* gibt bei Vorhandensein in der Spalte $\mathcal{CN}(q,n)$ an, ob die aktuelle Körpererweiterung einfach (Definition 5.2) ist. Falls ja, so gilt per definitionem $\mathcal{CN}(q,n) = \mathcal{N}(q,n)$ und $\mathcal{PCN}(q,n) = \mathcal{PN}(q,n)$. Daher sind in den Tabellen mit (primitiv) normalen Elementen lediglich diejenigen Erweiterungen gelistet, die nicht einfach sind.
- (.) † gibt bei Vorhandensein hinter einem Erzeuger-Datum an, ob dieser regulär ist (Definition 5.10).

Tabelle A.1: Enumerationen p = 2

q	p	r	n	$\mathcal{CN}(q,n)$	$\mathcal{PCN}(q,n)$	Erzeuger
2	2	1	2	2*	2	$(1,1,2)^{\dagger}$: 2
2	2	1	3	3*	3	$(1,1,1)^{\dagger}$: 1, $(3,1,1)^{\dagger}$: 3
2	2	1	4	8*	4	$(1,1,4)^{\dagger}$: 8
2	2	1	5	15*	15	$(1,1,1)^{\dagger}$: 1, $(5,1,1)^{\dagger}$: 15
2	2	1	6	12	6	$(1,1,2)^{\dagger}$: 2, $(3,1,2)$: 6
2	2	1	7	49*	49	$(1,1,1)^{\dagger}$: 1, $(7,1,1)^{\dagger}$: 49
2	2	1	8	128*	56	$(1,1,8)^{\dagger}$: 128
2	2	1	9	189*	171	$(1,1,1)^{\dagger}$: 1, $(3,1,1)^{\dagger}$: 3, $(9,1,1)^{\dagger}$: 63

Tabelle A.1: Enumerationen p=2

a	m	m	m		$\mathcal{PCN}(q,n)$	Erzeuger
$\frac{q}{2}$	$\frac{p}{2}$	$\frac{r}{1}$	<u>n</u>	$\mathcal{CN}(q,n)$, ,	=
			10	420	250	$(1,1,2)^{\dagger}$: 2, $(5,1,2)$: 210
2	2	1	11	1023*	957	$(1,1,1)^{\dagger}$: 1, $(11,1,1)^{\dagger}$: 1023
2	2	1	12	768	360	$(1,1,4)^{\dagger}$: 8, $(3,1,4)$: 96
2	2	1	13	4095*	4095	$(1,1,1)^{\dagger}$: 1, $(13,1,1)^{\dagger}$: 4095
2	2	1	14	6272*	4074	$(1,1,2)^{\dagger}$: 2, $(7,1,2)^{\dagger}$: 3136
2	2	1	15	10125*	8430	$(1,1,1)^{\dagger}$: 1, $(3,1,1)^{\dagger}$: 3, $(5,1,1)^{\dagger}$: 15, $(15,1,1)^{\dagger}$: 225
2	2	1	16	32768*	16272	$(1,1,16)^{\dagger}$: 32768
2	2	1	17	65025*	65025	$(1,1,1)^{\dagger}$: 1, $(17,1,1)^{\dagger}$: 65025
2	2	1	18	46872	24948	$(1,1,2)^{\dagger}$: 2, $(3,1,2)$: 6, $(9,1,2)$: 3906
2	2	1	19	262143*	262143	$(1,1,1)^{\dagger}$: 1, $(19,1,1)^{\dagger}$: 262143
2	2	1	20	329280	150320	$(1,1,4)^{\dagger}$: 8, $(5,1,4)$: 41160
2	2	1	21	259308	220374	$(1,1,1)^{\dagger}$: 1, $(3,1,1)^{\dagger}$: 3, $(7,3,1)$: 86436
2	2	1	22	2091012	1317250	$(1,1,2)^{\dagger}$: 2, $(11,1,2)$: 1045506
2	2	1	23	4190209*	4099957	$(1,1,1)^{\dagger}$: 1, $(23,1,1)^{\dagger}$: 4190209
2	2	1	24	3145728	1246752	$(1,1,8)^{\dagger}$: 128, $(3,1,8)$: 24576
2	2	1	25	15728625*	15188050	$(1,1,1)^{\dagger}$: 1, $(5,1,1)^{\dagger}$: 15, $(25,1,1)^{\dagger}$: 1048575
2	2	1	26	33529860	22345232	$(1,1,2)^{\dagger}$: 2, $(13,1,2)$: 16764930
2	$\frac{2}{2}$	1	27	47258883	39950874	$(1,1,2)^{\dagger}$: 2, $(13,1,2)$: 131043350 $(1,1,1)^{\dagger}$: 1, $(3,1,1)^{\dagger}$: 3, $(9,1,1)^{\dagger}$: 63,
						$(27,1,1)^{\dagger}$: 250047
2	2	1	28	102760448*	50821260	$(1,1,4)^{\dagger}$: 8, $(7,1,4)^{\dagger}$: 12845056
2	2	1	29	268435455*	266908663	$(1,1,1)^{\dagger}$: 1, $(29,1,1)^{\dagger}$: 268435455
2	2	1	30	111132000	55308540	$(1,1,2)^{\dagger}$: 2, $(3,1,2)$: 6, $(5,1,2)$: 210, $(15,1,2)$: 44100
2	2	1	31	887503681*	887503681	$(1,1,1)^{\dagger}$: 1, $(31,1,1)^{\dagger}$: 887503681
4	2	2	2	12*	8	$(1,1,2)^{\dagger}$: 12
4	2	2	3	27*	18	$(1,1,1)^{\dagger}$: 3, $(3,1,1)^{\dagger}$: 9
4	2	2	4	192*	96	$(1,1,4)^{\dagger}$: 192
4	2	2	5	675*	400	$(1,1,1)^{\dagger}$: 3, $(5,1,1)^{\dagger}$: 225
$\overline{4}$	$\overline{2}$	$\overline{2}$	6	1728*	792	$(1,1,2)^{\dagger}$: 12, $(3,1,2)^{\dagger}$: 144
$\overline{4}$	$\overline{2}$	$\overline{2}$	7	11907^*	7784	$(1,1,1)^{\dagger}$: 3, $(7,1,1)^{\dagger}$: 3969
4	2	2	8	49152*	24448	$(1,1,8)^{\dagger}$: 49152
4	2	2	9	107163*	57186	$(1,1,0)^{\dagger}$: 3, $(3,1,1)^{\dagger}$: 9, $(9,1,1)^{\dagger}$: 3969
4	2	2	10	529200	241400	$(1,1,2)^{\dagger}$: 12, $(5,1,2)$: 44100
4	2	2	11	3139587*	1978020	$(1,1,1)^{\dagger}$: 3, $(11,1,1)^{\dagger}$: 1046529
4	2	2	12	7077888*	2803392	$(1,1,4)^{\dagger}$: 192, $(3,1,4)^{\dagger}$: 36864
4	2	2	13	50307075*	33525908	$(1,1,1)^{\dagger}$: 32, $(3,1,1)^{\dagger}$: 16769025
4	$\frac{2}{2}$	2	14	195084288*	96481224	$(1,1,1)^{\dagger}$: 3, $(13,1,1)^{\dagger}$: 10703023 $(1,1,2)^{\dagger}$: 12, $(7,1,2)^{\dagger}$: 16257024
8	$\frac{2}{2}$	3	2	56*	36	$(1,1,2)^{\dagger}$: 12, $(7,1,2)^{\dagger}$: 10257024 $(1,1,2)^{\dagger}$: 56
8	$\frac{2}{2}$	3	3	441*	378	$(1,1,2)^{\dagger}$: 30 $(1,1,1)^{\dagger}$: 7, $(3,1,1)^{\dagger}$: 63
8	$\frac{2}{2}$	3	3 4	3584*	1512	$(1,1,1)^{\dagger}$: $1, (3,1,1)^{\dagger}$: 03 $(1,1,4)^{\dagger}$: 3584
8	$\frac{2}{2}$	3	4 5	28665*	23760	$(1,1,4)^{\dagger}$: 3364 $(1,1,1)^{\dagger}$: 7, $(5,1,1)^{\dagger}$: 4095
8	$\frac{2}{2}$					
ð	4	3	6	218736	117288	$(1,1,2)^{\dagger}$: 56, $(3,1,2)$: 3906

Tabelle A.1: Enumerationen p=2

q	p	r	n	$\mathcal{CN}(q,n)$	$\mathcal{PCN}(q,n)$	Erzeuger
8	2	3	7	823543*	698544	$(1,1,1)^{\dagger}$: 7, $(7,1,1)^{\dagger}$: 117649
8	2	3	8	14680064^*	5804640	$(1,1,8)^{\dagger}$: 14680064
8	2	3	9	110270727^*	93223872	$(1,1,1)^{\dagger}$: 7, $(3,1,1)^{\dagger}$: 63, $(9,1,1)^{\dagger}$: 250047

Tabelle A.2: Enumerationen $p = 2\,$

q	p	r	n	$\mathcal{N}(q,n)$	$\mathcal{PN}(q,n)$	Erzeuger
2	2	1	6	24	18	$(1,1,2)^{\dagger}$: 2, $(3,1,2)$: 12
2	2	1	10	480	290	$(1,1,2)^{\dagger}$: 2, $(5,1,2)$: 240
2	2	1	12	1536	624	$(1,1,4)^{\dagger}$: 8, $(3,1,4)$: 192
2	2	1	18	96768	51660	$(1,1,2)^{\dagger}$: 2, $(3,1,2)$: 12, $(9,1,2)$: 4032
2	2	1	20	491520	225100	$(1,1,4)^{\dagger}$: 8, $(5,1,4)$: 61440
2	2	1	21	583443	495159	$(1,1,1)^{\dagger}$: 1, $(3,1,1)^{\dagger}$: 3, $(7,3,1)$: 194481
2	2	1	22	2095104	1319692	$(1,1,2)^{\dagger}$: 2, $(11,1,2)$: 1047552
2	2	1	24	6291456	2488320	$(1,1,8)^{\dagger}$: 128, $(3,1,8)$: 49152
2	2	1	26	33546240	22356074	$(1,1,2)^{\dagger}$: 2, $(13,1,2)$: 16773120
2	2	1	27	49545027	41883129	$(1,1,1)^{\dagger}$: 1, $(3,1,1)^{\dagger}$: 3, $(9,1,1)^{\dagger}$: 63,
						$(27,1,1)^{\dagger}$: 262143

Tabelle A.3: Enumerationen p=3

q	p	r	n	$\mathcal{CN}(q,n)$	$\mathcal{PCN}(q,n)$	Erzeuger
3	3	1	2	4*	4	$(1,1,1)^{\dagger}$: 2, $(2,1,1)^{\dagger}$: 2
3	3	1	3	18*	9	$(1,1,3)^{\dagger}$: 18
3	3	1	4	32^*	16	$(1,1,1)^{\dagger}$: 2, $(2,1,1)^{\dagger}$: 2, $(4,1,1)^{\dagger}$: 8
3	3	1	5	160*	75	$(1,1,1)^{\dagger}$: 2, $(5,1,1)^{\dagger}$: 80
3	3	1	6	324*	144	$(1,1,3)^{\dagger}$: 18, $(2,1,3)^{\dagger}$: 18
3	3	1	7	1456*	728	$(1,1,1)^{\dagger}$: 2, $(7,1,1)^{\dagger}$: 728
3	3	1	8	1536	576	$(1,1,1)^{\dagger}$: 2, $(2,1,1)^{\dagger}$: 2, $(4,1,1)^{\dagger}$: 8,
						$(8,1,1)^{\dagger}$: 48
3	3	1	9	13122^*	6075	$(1,1,9)^{\dagger}$: 13122
3	3	1	10	24960	11160	$(1,1,1)^{\dagger}$: 2, $(2,1,1)^{\dagger}$: 2, $(5,2,1)$: 6240
3	3	1	11	117128*	55979	$(1,1,1)^{\dagger}$: 2, $(11,1,1)^{\dagger}$: 58564
3	3	1	12	209952*	65424	$(1,1,3)^{\dagger}$: 18, $(2,1,3)^{\dagger}$: 18, $(4,1,3)^{\dagger}$: 648
3	3	1	13	913952*	456976	$(1,1,1)^{\dagger}$: 2, $(13,1,1)^{\dagger}$: 456976
3	3	1	14	2114112	1054368	$(1,1,1)^{\dagger}$: 2, $(2,1,1)^{\dagger}$: 2, $(7,2,1)$: 528528
3	3	1	15	9447840*	3962700	$(1,1,3)^{\dagger}$: 18, $(5,1,3)^{\dagger}$: 524880
3	3	1	16	6291456	2289984	$(1,1,1)^{\dagger}$: 2, $(2,1,1)^{\dagger}$: 2, $(4,1,1)^{\dagger}$: 8,
						$(8,1,1)^{\dagger}$: 48, $(16,1,1)^{\dagger}$: 4096
3	3	1	17	86093440*	43022053	$(1,1,1)^{\dagger}$: 2, $(17,1,1)^{\dagger}$: 43046720
3	3	1	18	172186884^*	62696736	$(1,1,9)^{\dagger}$: 13122, $(2,1,9)^{\dagger}$: 13122
3	3	1	19	774840976*	387177364	$(1,1,1)^{\dagger}$: 2, $(19,1,1)^{\dagger}$: 387420488
3	3	1	20	1184481280	423266160	$(1,1,1)^{\dagger}$: 2, $(2,1,1)^{\dagger}$: 2, $(4,1,1)^{\dagger}$: 8,
						(5,4,1): 37015040

9	3	2	2	64*	32	$(1,1,1)^{\dagger}$: 8, $(2,1,1)^{\dagger}$: 8
9	3	2	3	648*	264	$(1,1,3)^{\dagger}$: 648
9	3	2	4	4096*	1536	$(1,1,1)^{\dagger}$: 8, $(2,1,1)^{\dagger}$: 8, $(4,1,1)^{\dagger}$: 64
9	3	2	5	51200*	23000	$(1,1,1)^{\dagger}$: 8, $(5,1,1)^{\dagger}$: 6400
9	3	2	6	419904*	130848	$(1,1,3)^{\dagger}$: 648, $(2,1,3)^{\dagger}$: 648
9	3	2	7	4239872*	2115008	$(1,1,1)^{\dagger}$: 8, $(7,1,1)^{\dagger}$: 529984
9	3	2	8	16777216*	6117376	$(1,1,1)^{\dagger}$: 8, $(2,1,1)^{\dagger}$: 8, $(4,1,1)^{\dagger}$: 64,
						$(8,1,1)^{\dagger}$: 4096
9	3	2	9	344373768*	125421768	$(1,1,9)^{\dagger}$: 344373768

Tabelle A.4: Enumerationen p=3

q	p	r	n	$\mathcal{N}(q,n)$	$\mathcal{PN}(q,n)$	Erzeuger
3	3	1	8	2048	832	$(1,1,1)^{\dagger}$: 2, $(2,1,1)^{\dagger}$: 2, $(4,1,1)^{\dagger}$: 8,
						$(8,1,1)^{\dagger}$: 64
3	3	1	10	25600	11520	$(1,1,1)^{\dagger}$: 2, $(2,1,1)^{\dagger}$: 2, $(5,2,1)$: 6400
3	3	1	14	2119936	1057392	$(1,1,1)^{\dagger}$: 2, $(2,1,1)^{\dagger}$: 2, $(7,2,1)$: 529984
3	3	1	16	13107200	4790656	$(1,1,1)^{\dagger}$: 2, $(2,1,1)^{\dagger}$: 2, $(4,1,1)^{\dagger}$: 8,
						$(8,1,1)^{\dagger}$: 64, $(16,1,1)^{\dagger}$: 6400
3	3	1	20	1310720000	468392880	$(1,1,1)^{\dagger}$: 2, $(2,1,1)^{\dagger}$: 2, $(4,1,1)^{\dagger}$: 8,
						(5,4,1): 40960000

Tabelle A.5: Enumerationen p=5

q	p	r	n	$\mathcal{CN}(q,n)$	$\mathcal{PCN}(q,n)$	Erzeuger
5	5	1	2	16*	8	$(1,1,1)^{\dagger}$: 4, $(2,1,1)^{\dagger}$: 4
5	5	1	3	96*	48	$(1,1,1)^{\dagger}$: 4, $(3,1,1)^{\dagger}$: 24
5	5	1	4	256^{*}	64	$(1,1,1)^{\dagger}$: 4, $(2,1,1)^{\dagger}$: 4, $(4,1,1)^{\dagger}$: 16
5	5	1	5	2500*	1130	$(1,1,5)^{\dagger}$: 2500
5	5	1	6	8448	2376	$(1,1,1)^{\dagger}$: 4, $(2,1,1)^{\dagger}$: 4, $(3,2,1)$: 528
5	5	1	7	62496*	31248	$(1,1,1)^{\dagger}$: 4, $(7,1,1)^{\dagger}$: 15624
5	5	1	8	147456*	44928	$(1,1,1)^{\dagger}$: 4, $(2,1,1)^{\dagger}$: 4, $(4,1,1)^{\dagger}$: 16,
						$(8,1,1)^{\dagger} \colon 576$
5	5	1	9	1499904*	687132	$(1,1,1)^{\dagger}$: 4, $(3,1,1)^{\dagger}$: 24, $(9,1,1)^{\dagger}$: 15624
5	5	1	10	6250000*	1862760	$(1,1,5)^{\dagger}$: 2500, $(2,1,5)^{\dagger}$: 2500
5	5	1	11	39037504*	19518752	$(1,1,1)^{\dagger}$: 4, $(11,1,1)^{\dagger}$: 9759376
5	5	1	12	71368704	18178944	$(1,1,1)^{\dagger}$: 4, $(2,1,1)^{\dagger}$: 4, $(3,2,1)$: 528,
						$(4,1,1)^{\dagger}$: 16, $(12,1,1)$: 528

Tabelle A.6: Enumerationen p=7

q	p	r	n	$\mathcal{CN}(q,n)$	$\mathcal{PCN}(q,n)$	Erzeuger
7	7	1	2	36*	16	$(1,1,1)^{\dagger}$: 6, $(2,1,1)^{\dagger}$: 6
7	7	1	3	216*	72	$(1,1,1)^{\dagger}$: 6, $(3,1,1)^{\dagger}$: 36
7	7	1	4	1728*	480	$(1,1,1)^{\dagger}$: 6, $(2,1,1)^{\dagger}$: 6, $(4,1,1)^{\dagger}$: 48
7	7	1	5	14400*	4800	$(1,1,1)^{\dagger}$: 6, $(5,1,1)^{\dagger}$: 2400

Tabelle A.6: Enumerationen $p = 7\,$

q	p	r	n	$\mathcal{CN}(q,n)$	$\mathcal{PCN}(q,n)$	Erzeuger
7	7	1	6	46656*	14832	$(1,1,1)^{\dagger}$: 6, $(2,1,1)^{\dagger}$: 6, $(3,1,1)^{\dagger}$: 36,
						$(6,1,1)^{\dagger}$: 36
7	7	1	7	705894*	227010	$(1,1,7)^{\dagger}$: 705894
7	7	1	8	3815424	1016320	$(1,1,1)^{\dagger}$: 6, $(2,1,1)^{\dagger}$: 6, $(4,1,1)^{\dagger}$: 48,
						$(8,1,1)^{\dagger}$: 2208
7	7	1	9	25264224^*	7753806	$(1,1,1)^{\dagger}$: 6, $(3,1,1)^{\dagger}$: 36, $(9,1,1)^{\dagger}$: 116964
7	7	1	10	207187200	62435920	$(1,1,1)^{\dagger}$: 6, $(2,1,1)^{\dagger}$: 6, $(5,2,1)$: 5755200
7	7	1	11	1694851488^*	564443264	$(1,1,1)^{\dagger}$: 6, $(11,1,1)^{\dagger}$: 282475248

Tabelle A.7: Enumerationen n = 3

a	p	r	n	$\mathcal{CN}(q,n)$	$\mathcal{PCN}(q,n)$	Erzeuger
$\frac{q}{2}$	$\frac{r}{2}$	1	3	3*	3	$(1,1,1)^{\dagger}$: 1, $(3,1,1)^{\dagger}$: 3
3	3	1	3	18*	9	$(1,1,3)^{\dagger}$: 18
4	2	2	3	27*	18	$(1,1,1)^{\dagger}$: 3, $(3,1,1)^{\dagger}$: 9
5	5	1	3	96*	48	$(1,1,1)^{\dagger}$: 4, $(3,1,1)^{\dagger}$: 24
7	7	1	3	216*	72	$(1,1,1)^{\dagger}$: 6, $(3,1,1)^{\dagger}$: 36
8	2	3	3	441*	378	$(1,1,1)^{\dagger}$: 7, $(3,1,1)^{\dagger}$: 63
9	3	2	3	648*	264	$(1,1,3)^{\dagger}$: 648
11	11	1	3	1200*	384	$(1,1,1)^{\dagger}$: 10, $(3,1,1)^{\dagger}$: 120
13	13	1	3	1728*	576	$(1,1,1)^{\dagger}$: 12, $(3,1,1)^{\dagger}$: 144
16	2	4	3	3375*	1440	$(1,1,1)^{\dagger}$: 15, $(3,1,1)^{\dagger}$: 225
17	17	1	3	4608*	2304	$(1,1,1)^{\dagger}$: 16, $(3,1,1)^{\dagger}$: 288
19	19	1	3	5832*	1944	$(1,1,1)^{\dagger}$: 18, $(3,1,1)^{\dagger}$: 324
23	23	1	3	11616*	4440	$(1,1,1)^{\dagger}$: 22, $(3,1,1)^{\dagger}$: 528
25	5	2	3	13824*	3888	$(1,1,1)^{\dagger}$: 24, $(3,1,1)^{\dagger}$: 576
27	3	3	3	18954*	8748	$(1,1,3)^{\dagger}$: 18954
29	29	1	3	23520*	9180	$(1,1,1)^{\dagger}$: 28, $(3,1,1)^{\dagger}$: 840
31	31	1	3	27000*	7200	$(1,1,1)^{\dagger}$: 30, $(3,1,1)^{\dagger}$: 900
32	2	5	3	31713*	26100	$(1,1,1)^{\dagger}$: 31, $(3,1,1)^{\dagger}$: 1023
37	37	1	3	46656*	13176	$(1,1,1)^{\dagger}$: 36, $(3,1,1)^{\dagger}$: 1296
41	41	1	3	67200*	26880	$(1,1,1)^{\dagger}$: 40, $(3,1,1)^{\dagger}$: 1680
43	43	1	3	74088*	21168	$(1,1,1)^{\dagger}$: 42, $(3,1,1)^{\dagger}$: 1764
47	47	1	3	101568*	46596	$(1,1,1)^{\dagger}$: 46, $(3,1,1)^{\dagger}$: 2208
49	7	2	3	110592*	34272	$(1,1,1)^{\dagger}$: 48, $(3,1,1)^{\dagger}$: 2304
53	53	1	3	146016*	57744	$(1,1,1)^{\dagger}$: 52, $(3,1,1)^{\dagger}$: 2808
59	59	1	3	201840*	97440	$(1,1,1)^{\dagger}$: 58, $(3,1,1)^{\dagger}$: 3480
61	61	1	3	216000^*	52848	$(1,1,1)^{\dagger}$: 60, $(3,1,1)^{\dagger}$: 3600
64	2	6	3	250047^*	134136	$(1,1,1)^{\dagger}$: 63, $(3,1,1)^{\dagger}$: 3969
67	67	1	3	287496*	72000	$(1,1,1)^{\dagger}$: 66, $(3,1,1)^{\dagger}$: 4356
71	71	1	3	352800^*	120960	$(1,1,1)^{\dagger}$: 70, $(3,1,1)^{\dagger}$: 5040
73	73	1	3	373248*	124416	$(1,1,1)^{\dagger}$: 72, $(3,1,1)^{\dagger}$: 5184
79	79	1	3	474552*	122040	$(1,1,1)^{\dagger}$: 78, $(3,1,1)^{\dagger}$: 6084
81	3	4	3	524880*	163584	$(1,1,3)^{\dagger}$: 524880

Tabelle A.7: Enumerationen n=3

q	p	r	n	$\mathcal{CN}(q,n)$	$\mathcal{PCN}(q,n)$	Erzeuger
83	83	1	3	564816*	260280	$(1,1,1)^{\dagger}$: 82, $(3,1,1)^{\dagger}$: 6888
89	89	1	3	696960*	316800	$(1,1,1)^{\dagger}$: 88, $(3,1,1)^{\dagger}$: 7920
97	97	1	3	884736*	294912	$(1,1,1)^{\dagger}$: 96, $(3,1,1)^{\dagger}$: 9216
121	11	2	3	1728000*	364608	$(1,1,1)^{\dagger}$: 120, $(3,1,1)^{\dagger}$: 14400
125	5	3	3	1937376*	887220	$(1,1,1)^{\dagger}$: 124, $(3,1,1)^{\dagger}$: 15624
128	2	7	3	2080641*	1764882	$(1,1,1)^{\dagger}$: 127, $(3,1,1)^{\dagger}$: 16383
169	13	2	3	4741632*	1325376	$(1,1,1)^{\dagger}$: 168, $(3,1,1)^{\dagger}$: 28224
243	3	5	3	14289858*	5994450	$(1,1,3)^{\dagger}$: 14289858
256	2	8	3	16581375*	6561792	$(1,1,1)^{\dagger}$: 255, $(3,1,1)^{\dagger}$: 65025
289	17	2	3	23887872^*	6283008	$(1,1,1)^{\dagger}$: 288, $(3,1,1)^{\dagger}$: 82944
343	7	3	3	40001688*	12279276	$(1,1,1)^{\dagger}$: 342, $(3,1,1)^{\dagger}$: 116964
361	19	2	3	46656000*	10584000	$(1,1,1)^{\dagger}$: 360, $(3,1,1)^{\dagger}$: 129600
512	2	9	3	133955073*	113245776	$(1,1,1)^{\dagger}$: 511, $(3,1,1)^{\dagger}$: 262143
529	23	2	3	147197952*	34848000	$(1,1,1)^{\dagger}$: 528, $(3,1,1)^{\dagger}$: 278784
625	5	4	3	242970624*	61910784	$(1,1,1)^{\dagger}$: 624, $(3,1,1)^{\dagger}$: 389376
729	3	6	3	386889048*	140901120	$(1,1,3)^{\dagger}$: 386889048
841	29	2	3	592704000*	122760576	$(1,1,1)^{\dagger}$: 840, $(3,1,1)^{\dagger}$: 705600
961	31	2	3	884736000*	191020032	$(1,1,1)^{\dagger}$: 960, $(3,1,1)^{\dagger}$: 921600

Tabelle A.8: Enumerationen n=4

q	p	r	n	$\mathcal{CN}(q,n)$	$\mathcal{PCN}(q,n)$	Erzeuger
2	2	1	4	8*	4	$(1,1,4)^{\dagger}$: 8
3	3	1	4	32^*	16	$(1,1,1)^{\dagger}$: 2, $(2,1,1)^{\dagger}$: 2, $(4,1,1)^{\dagger}$: 8
4	2	2	4	192*	96	$(1,1,4)^{\dagger}$: 192
5	5	1	4	256*	64	$(1,1,1)^{\dagger}$: 4, $(2,1,1)^{\dagger}$: 4, $(4,1,1)^{\dagger}$: 16
7	7	1	4	1728*	480	$(1,1,1)^{\dagger}$: 6, $(2,1,1)^{\dagger}$: 6, $(4,1,1)^{\dagger}$: 48
8	2	3	4	3584*	1512	$(1,1,4)^{\dagger}$: 3584
9	3	2	4	4096*	1536	$(1,1,1)^{\dagger}$: 8, $(2,1,1)^{\dagger}$: 8, $(4,1,1)^{\dagger}$: 64
11	11	1	4	12000*	3200	$(1,1,1)^{\dagger}$: 10, $(2,1,1)^{\dagger}$: 10, $(4,1,1)^{\dagger}$: 120
13	13	1	4	20736*	4352	$(1,1,1)^{\dagger}$: 12, $(2,1,1)^{\dagger}$: 12, $(4,1,1)^{\dagger}$: 144
16	2	4	4	61440*	30720	$(1,1,4)^{\dagger}$: 61440
17	17	1	4	65536*	16896	$(1,1,1)^{\dagger}$: 16, $(2,1,1)^{\dagger}$: 16, $(4,1,1)^{\dagger}$: 256
19	19	1	4	116640*	31104	$(1,1,1)^{\dagger}$: 18, $(2,1,1)^{\dagger}$: 18, $(4,1,1)^{\dagger}$: 360
23	23	1	4	255552*	60640	$(1,1,1)^{\dagger}$: 22, $(2,1,1)^{\dagger}$: 22, $(4,1,1)^{\dagger}$: 528
25	5	2	4	331776*	101376	$(1,1,1)^{\dagger}$: 24, $(2,1,1)^{\dagger}$: 24, $(4,1,1)^{\dagger}$: 576
27	3	3	4	492128*	154368	$(1,1,1)^{\dagger}$: 26, $(2,1,1)^{\dagger}$: 26, $(4,1,1)^{\dagger}$: 728
29	29	1	4	614656*	139776	$(1,1,1)^{\dagger}$: 28, $(2,1,1)^{\dagger}$: 28, $(4,1,1)^{\dagger}$: 784
31	31	1	4	864000*	207360	$(1,1,1)^{\dagger}$: 30, $(2,1,1)^{\dagger}$: 30, $(4,1,1)^{\dagger}$: 960
32	2	5	4	1015808*	465000	$(1,1,4)^{\dagger}$: 1015808
37	37	1	4	1679616*	420864	$(1,1,1)^{\dagger}$: 36, $(2,1,1)^{\dagger}$: 36, $(4,1,1)^{\dagger}$: 1296
41	41	1	4	2560000*	564224	$(1,1,1)^{\dagger}$: 40, $(2,1,1)^{\dagger}$: 40, $(4,1,1)^{\dagger}$: 1600
43	43	1	4	3259872*	659712	$(1,1,1)^{\dagger}$: 42, $(2,1,1)^{\dagger}$: 42, $(4,1,1)^{\dagger}$: 1848
47	47	1	4	4672128*	1036288	$(1,1,1)^{\dagger}$: 46, $(2,1,1)^{\dagger}$: 46, $(4,1,1)^{\dagger}$: 2208

Tabelle A.8: Enumerationen n = 4

q	p	r	n	$\mathcal{CN}(q,n)$	$\mathcal{PCN}(q,n)$	Erzeuger
49	7	2	4	5308416*	1413120	$(1,1,1)^{\dagger}$: 48, $(2,1,1)^{\dagger}$: 48, $(4,1,1)^{\dagger}$: 2304
53	53	1	4	7311616^*	1794816	$(1,1,1)^{\dagger}$: 52, $(2,1,1)^{\dagger}$: 52, $(4,1,1)^{\dagger}$: 2704
59	59	1	4	11706720*	3014144	$(1,1,1)^{\dagger}$: 58, $(2,1,1)^{\dagger}$: 58, $(4,1,1)^{\dagger}$: 3480
61	61	1	4	12960000^*	3340800	$(1,1,1)^{\dagger}$: 60, $(2,1,1)^{\dagger}$: 60, $(4,1,1)^{\dagger}$: 3600
64	2	6	4	16515072*	6531840	$(1,1,4)^{\dagger}$: 16515072
67	67	1	4	19549728*	4453760	$(1,1,1)^{\dagger}$: 66, $(2,1,1)^{\dagger}$: 66, $(4,1,1)^{\dagger}$: 4488
71	71	1	4	24696000*	5644800	$(1,1,1)^{\dagger}$: 70, $(2,1,1)^{\dagger}$: 70, $(4,1,1)^{\dagger}$: 5040
73	73	1	4	26873856*	6279168	$(1,1,1)^{\dagger}$: 72, $(2,1,1)^{\dagger}$: 72, $(4,1,1)^{\dagger}$: 5184
79	79	1	4	37964160*	9345024	$(1,1,1)^{\dagger}$: 78, $(2,1,1)^{\dagger}$: 78, $(4,1,1)^{\dagger}$: 6240
81	3	4	4	40960000*	14962688	$(1,1,1)^{\dagger}$: 80, $(2,1,1)^{\dagger}$: 80, $(4,1,1)^{\dagger}$: 6400
83	83	1	4	46314912^*	9351040	$(1,1,1)^{\dagger}$: 82, $(2,1,1)^{\dagger}$: 82, $(4,1,1)^{\dagger}$: 6888
89	89	1	4	59969536*	13620480	$(1,1,1)^{\dagger}$: 88, $(2,1,1)^{\dagger}$: 88, $(4,1,1)^{\dagger}$: 7744
97	97	1	4	84934656*	19390976	$(1,1,1)^{\dagger}$: 96, $(2,1,1)^{\dagger}$: 96, $(4,1,1)^{\dagger}$: 9216
121	11	2	4	207360000^*	54374400	$(1,1,1)^{\dagger}$: 120, $(2,1,1)^{\dagger}$: 120, $(4,1,1)^{\dagger}$:
						14400
125	5	3	4	236421376*	60235200	$(1,1,1)^{\dagger}$: 124, $(2,1,1)^{\dagger}$: 124, $(4,1,1)^{\dagger}$:
						15376
128	2	7	4	266338304*	131721408	$(1,1,4)^{\dagger}$: 266338304
169	13	2	4	796594176*	171343872	$(1,1,1)^{\dagger}$: 168, $(2,1,1)^{\dagger}$: 168, $(4,1,1)^{\dagger}$:
						28224
243	3	5	4	3458087072*	1235872000	$(1,1,1)^{\dagger}$: 242, $(2,1,1)^{\dagger}$: 242, $(4,1,1)^{\dagger}$:
						59048

Tabelle A.9: Enumerationen n=6

q	p	r	n	$\mathcal{CN}(q,n)$	$\mathcal{PCN}(q,n)$	Erzeuger
2	2	1	6	12	6	$(1,1,2)^{\dagger}$: 2, $(3,1,2)$: 6
3	3	1	6	324*	144	$(1,1,3)^{\dagger}$: 18, $(2,1,3)^{\dagger}$: 18
4	2	2	6	1728*	792	$(1,1,2)^{\dagger}$: 12, $(3,1,2)^{\dagger}$: 144
5	5	1	6	8448	2376	$(1,1,1)^{\dagger}$: 4, $(2,1,1)^{\dagger}$: 4, $(3,2,1)$: 528
7	7	1	6	46656^{*}	14832	$(1,1,1)^{\dagger}$: 6, $(2,1,1)^{\dagger}$: 6, $(3,1,1)^{\dagger}$: 36,
						$(6,1,1)^{\dagger}$: 36
8	2	3	6	218736	117288	$(1,1,2)^{\dagger}$: 56, $(3,1,2)$: 3906
9	3	2	6	419904*	130848	$(1,1,3)^{\dagger}$: 648, $(2,1,3)^{\dagger}$: 648
11	11	1	6	1416000	298848	$(1,1,1)^{\dagger}$: 10, $(2,1,1)^{\dagger}$: 10, $(3,2,1)$: 14160
13	13	1	6	2985984*	834048	$(1,1,1)^{\dagger}$: 12, $(2,1,1)^{\dagger}$: 12, $(3,1,1)^{\dagger}$: 144,
						$(6,1,1)^{\dagger}$: 144
16	2	4	6	13824000^*	5469696	$(1,1,2)^{\dagger}$: 240, $(3,1,2)^{\dagger}$: 57600
17	17	1	6	21086208	5546304	$(1,1,1)^{\dagger}$: 16, $(2,1,1)^{\dagger}$: 16, $(3,2,1)$: 82368
19	19	1	6	34012224*	7711200	$(1,1,1)^{\dagger}$: 18, $(2,1,1)^{\dagger}$: 18, $(3,1,1)^{\dagger}$: 324,
						$(6,1,1)^{\dagger}$: 324
23	23	1	6	134420352	31821840	$(1,1,1)^{\dagger}$: 22, $(2,1,1)^{\dagger}$: 22, $(3,2,1)$: 277728
25	5	2	6	191102976*	48691008	$(1,1,1)^{\dagger}$: 24, $(2,1,1)^{\dagger}$: 24, $(3,1,1)^{\dagger}$: 576,
						$(6,1,1)^{\dagger}$: 576

Tabelle A.9: Enumerationen n=6

q	p	r	n	$\mathcal{CN}(q,n)$	$\mathcal{PCN}(q,n)$	Erzeuger
27	3	3	6	359254116*	130838112	$(1,1,3)^{\dagger}$: 18954, $(2,1,3)^{\dagger}$: 18954
29	29	1	6	551873280	114307056	$(1,1,1)^{\dagger}$: 28, $(2,1,1)^{\dagger}$: 28, $(3,2,1)$: 703920
31	31	1	6	7290000000^*	157394880	$(1,1,1)^{\dagger}$: 30, $(2,1,1)^{\dagger}$: 30, $(3,1,1)^{\dagger}$: 900,
						$(6,1,1)^{\dagger}$: 900
32	2	5	6	1037141952	516358800	$(1,1,2)^{\dagger}$: 992, $(3,1,2)$: 1045506
37	37	1	6	2176782336*	548654688	$(1,1,1)^{\dagger}$: 36, $(2,1,1)^{\dagger}$: 36, $(3,1,1)^{\dagger}$: 1296,
						$(6,1,1)^{\dagger}$: 1296
41	41	1	6	4510464000	1028522880	$(1,1,1)^{\dagger}$: 40, $(2,1,1)^{\dagger}$: 40, $(3,2,1)$:
						2819040
43	43	1	6	5489031744*	1304511264	$(1,1,1)^{\dagger}$: 42, $(2,1,1)^{\dagger}$: 42, $(3,1,1)^{\dagger}$: 1764,
						$(6,1,1)^{\dagger}$: 1764